



Вестник

Уральского
государственного
университета
путей сообщения

Научный журнал

Herald
of the Ural State University
of Railway Transport

Scientific journal



Научный журнал
Вестник Уральского государственного
университета путей сообщения
(Вестник УрГУПС)
№ 4 (52), 2021 год

Главный редактор
Василий Михайлович Сай
Научный редактор
Василий Федорович Лапшин

Литературный и выпускающий редактор
Людмила Станиславовна Барышникова

Техническое редактирование и верстка
Светлана Николаевна Наймушина

Учредитель и издатель:
Федеральное государственное
бюджетное образовательное учрежде-
ние высшего образования «Уральский
государственный университет путей
сообщения» (ФГБОУ ВО УрГУПС)

Адрес учредителя, издателя и редакции:
620034, Екатеринбург,
ул. Колмогорова, 66

Телефон редакции: (343) 221-25-60.
Веб-сайт: www.usurt.ru/vestnik;
e-mail: vestnik@usurt.ru.

Вестник УрГУПС включен ВАКом
в перечень периодических, научных
и научно-технических изданий,
выпускаемых в Российской Федерации,
в которых рекомендуется публикация
основных результатов диссертаций.

DOI:10.20291/2079-0392

Свидетельство о регистрации
средства массовой информации
Роскомнадзора ПИ № ФС77–38188
от 30 ноября 2009 г.

Подписной индекс журнала
в общероссийском
каталоге «Пресса России» – 70070

Отпечатано в издательстве
Уральского государственного
университета путей сообщения,
620034, Екатеринбург,
ул. Колмогорова, 66.

Подписано в печать 22.12.2021
Дата выхода в свет 27.12.2021.
Цена 373 руб.

Тираж 300 экз. 1-й з-д: 1–60.
Формат 70×100/16.
Заказ 35

Уральский государственный
университет путей сообщения
(ФГБОУ ВО УрГУПС), 2021 ©

Scientific journal «Herald of the
Ural State University
of Railway Transport»
(Herald of the USURT)
№ 4 (52), 2021

Editor-in-chief,
Vasily M. Say
Science editor
Vasily F. Lapshin

Script and copy editor
Lyudmila S. Baryshnikova

Technical editing and make-up
Svetlana N. Naimushina

Founder and publisher:
Federal state-funded educational
institution of the higher education
«Ural State University of Railway Transport»
(FGBOU VO URGUPS)

Address of the founder, publisher and edition:
66 Kolmogorov Street,
620034, Ekaterinburg

Telephone: +7 (343) 221-25-60.
Web-site: www.usurt.ru/vestnik;
e-mail: vestnik@usurt.ru.

DOI:10.20291/2079-0392

Certificate of registration of mass media
by the Federal Service for Supervision
in the sphere of communications,
information technology and mass communications
(Roskomnadzor) PI № FS77–38188
of November 30, 2009.

Subscription reference number
of the issue in the All Russia Catalogue
«Pressa Rossii» – 70070

Printed in the Publishing house
of the Ural State University of
Railway Transport
66 Kolmogorov Street,
620034, Ekaterinburg.

Passed for printing 22.12.2021
Data of issue 27.12.2021.
The price 373 rub.

Circulation 300. The 1st pr.: 1–60.
Format 70×100/16.
Order 35

The Ural State University
of Railway Transport
(FGBOU VO URGUPS), 2021 ©

МЕЖДУНАРОДНЫЙ РЕДАКЦИОННЫЙ СОВЕТ

Кейт Бурнхам, профессор, Университет г. Ковентри, факультет машиностроения и вычислительной техники, Великобритания

Петер Копачек, заслуженный профессор, Венский технологический университет, Институт механики и мехатроники, Вена, Австрия

Владимир Цыганов, д-р техн. наук, профессор, Институт проблем управления Российской академии наук, Москва, Россия

Сергей Герман-Галкин, д-р техн. наук, профессор, Морская академия, Институт судовой автоматики и электротехники, Щецин, Польша

Клаус Беккер, профессор, Университет прикладных наук г. Кельна, Институт автомобильной техники, лаборатория NVH, Германия

Василий Сай, д-р техн. наук, профессор, Уральский государственный университет путей сообщения, Екатеринбург, Россия

РЕДКОЛЛЕГИЯ

Аккерман Геннадий Львович, д-р техн. наук, профессор, УрГУПС, Екатеринбург

Ашпиз Евгений Самуилович, д-р техн. наук, профессор, РУТ, Москва

Булаев Владимир Григорьевич, д-р техн. наук, профессор, УрГУПС, Екатеринбург

Воскресенская Тамара Петровна, д-р техн. наук, профессор, СибГИУ, Новокузнецк

Корнилов Сергей Николаевич, д-р техн. наук, профессор, МГТУ, Магнитогорск

Кузнецов Константин Борисович, д-р техн. наук, профессор, УрГУПС, Екатеринбург

Курганов Валерий Максимович, д-р техн. наук, ТГУ, г. Тверь

Лапшин Василий Федорович, д-р техн. наук, профессор, УрГУПС, Екатеринбург

Сапожников Валерий Владимирович, д-р техн. наук, профессор, ПГУПС, Санкт-Петербург

Сизый Сергей Викторович, д-р техн. наук, профессор, УрФУ, Екатеринбург

Тимофеева Галина Адольфовна, д-р физ.-мат. наук, профессор, УрГУПС, Екатеринбург

Щурин Константин Владимирович, д-р техн. наук, профессор, ОГУ, Оренбург

INTERNATIONAL EDITORIAL BOARD

Keith Burnham, professor, Coventry University, Faculty of Engineering and Computing, Great Britain

Peter Kopachek, Professor Emeritus, TU Wien, Institute for Mechanics and Mechatronics, Vienna, Austria

Vladimir Tsyganov, DSc, professor, Russian Academy of Sciences, Institute of Control Sciences, Moscow, Russia

Sergey German-Galkin, DSc, professor Maritime Academy, Institute of naval automation and electric engineering, Szczecin, Poland

Klaus Becker, professor, Cologne University of Applied Sciences, Institute of Automotive Engineering, NVH Laboratory, Germany

Vasily Say, DSc, professor, The Ural State University of Railway Transport, Ekaterinburg, Russia

EDITORIAL BOARD

Akkerman Gennadiy Lvovich, DSc, Professor, Ural State University of Railway Transport, Yekaterinburg

Ashpiz Evgeniy Samuilovich, DSc, Professor, Russian University of Transport, Moscow

Bulaev Vladimir Grigorievich, DSc, Professor, Ural State University of Railway Transport, Yekaterinburg

Voskresenskaya Tamara Petrovna, DSc, professor, Siberian State Industrial University, Novokuznetsk

Kornilov Sergey Nikolaevich, DSc, professor, Magnitogorsk State Technical University, Magnitogorsk

Kuznetsov Konstantin Borisovich, DSc, professor, The Ural State University of Railway Transport, Ekaterinburg

Kurganov Valeriy Maximovich, DSc, Professor, Tver State University, Tver city

Lapshin Vasily Fedorovich, DSc, Professor, Ural State University of Railway Transport, Yekaterinburg

Sapozhnikov Valery Vladimirovich, DSc, professor, Petersburg State University of Railway Transport, Saint-Petersburg

Sizyi Sergey Viktorovich, D. Sc. in engineering, professor, Ural Federal University, Ekaterinburg

Timofeeva Galina Adolfovna, DSc, professor, The Ural State University of Railway Transport, Ekaterinburg

Shchurin Konstantin Vladimirovich, DSc, professor, Orenburg State University, Orenburg

Содержание

Математические модели технологических процессов

- 4 А. В. Мартыненко, А. А. Шевцов. Оценка матрицы пассажирских корреспонденций с использованием метода наименьших квадратов для калибровки гравитационной модели

- 14 М. Е. Корягин, А. С. Чистяков. Математическая модель расщепления спроса на рынке междугородных пассажирских перевозок

Механика машин и роботов

- 26 А. А. Воробьев, Д. С. Шутов, М. В. Николашин. Расчет и анализ показателей долговечности колесных пар электропоездов Московского метрополитена

Управление в технических системах

- 35 Р. В. Гучинский, С. В. Петин. Неопределенности в оценке усталости конструкций при проектировании и эксплуатации

- 45 А. Н. Опацких. Расчет вертикальных колебаний рельса при учете анизотропии модуля упругости подрельсового основания

- 50 М. Б. Петров, Л. А. Серков, К. Б. Кожов. Имитационная модель обоснования приоритетов развития железнодорожных связей между Уралом и Западной Сибирью

- 59 А. Ф. Колос, Е. А. Лебедева, В. Г. Гладий. Метод оценки формы зерен щебня, применяемого в балластном слое железнодорожного пути

Организация и логистика

- 68 А. Я. Бутыркин, В. А. Гелис, Е. Б. Куликова. Особенности применения прогрессивных методов предиктивного моделирования для решения задач на транспорте

- 79 А. А. Зенкин, А. Ю. Сондырева. Использование методики выбора маршрута доставки грузов в смешанном сообщении на основе сетевого графика при транспортировке в цепях поставок

- 88 В. С. Паршина. Методическое обеспечение управления логистическими бизнес-процессами в производственной сфере

Аспирантская тетрадь

- 97 Т. В. Волчек. Повышение коммутационной устойчивости коллекторных тяговых электродвигателей электропоездов за счет снижения пульсации тока возбуждения

- 103 Д. Ж. Сайфутдинов. Влияние переноса Южного автовокзала Екатеринбурга на изменение существующего пассажиропотока

- 111 Чан Хао. Моделирование продолжительности грузовых операций на станциях маршрута движения сборного маршрутного контейнерного поезда

Contents

Mathematic models of technological processes

- 4 A. V. Martynenko, A. A. Shevtsov. Estimation of the passenger correspondence matrix using the least squares method to calibrate the gravity model

- 14 M. E. Koryagin, A. S. Chistyakov. Mathematical model of splitting of demand in the market of intercity passenger transportation

Mechanics of machines and robots

- 26 A. A. Vorobyov, D. S. Shutov, M. V. Nikolashin. Calculation and analysis of wheel sets durability indicators of Moscow metro electric trains

Control in engineering systems

- 35 R. V. Guchinsky, S. V. Petinov. Uncertainties in fatigue assessment of structures in design and in service

- 45 A. N. Opatskikh. Calculation of vertical vibrations of the rail taking into account the anisotropy of the elastic modulus of the sub-rail base

- 50 M. B. Petrov, L. A. Serkov, K. B. Kozhov. Simulation model of substantiation of priorities for the development of railway links between the Urals and Western Siberia

- 59 A. F. Kolos, E. A. Lebedeva, V. G. Gladii. Method for estimation of shape coefficient of crushed stone grains used by ballast layer of railway track

Organization and logistics

- 68 A. Ya. Butyrkin, V. A. Gelis, E. B. Kulikova. Features of application of progressive methods of predictive modeling for solving problems on transport

- 79 A. A. Zenkin, A. Y. Sondyreva. Using the methodology of choosing the route of cargo delivery in intermodal traffic based on the network schedule during transportation in supply chains

- 88 V. S. Parshina. Methodological support of logistics business process management in the manufacturing sector

Research of young scientists

- 97 T. V. Volchek. Increasing the switching stability of collector traction electric motors of electric locomotives by reducing pulsation of current excitation

- 103 D. Zh. Saifutdinov. The impact of the transfer of the Southern bus station of Yekaterinburg on the change of the existing passenger traffic

- 111 Chan Hao. Simulation of the duration of cargo operations at the stations on the route Groupaged block container train

Математические модели технологических процессов

УДК 656.021

А. В. Мартыненко, А. А. Шевцов

Оценка матрицы пассажирских корреспонденций с использованием метода наименьших квадратов для калибровки гравитационной модели

UDC 656.021

A. V. Martynenko, A. A. Shevtsov

Estimation of the passenger correspondence matrix using the least squares method to calibrate the gravity model

Аннотация

Во многих вопросах планирования и прогнозирования развития транспортной системы ключевую роль играет матрица пассажирских корреспонденций. Обычно для оценки матрицы корреспонденций используют гравитационную модель. Спецификация и метод калибровки гравитационной

модели зависит от того, какие данные известны из наблюдений. В частности, если известны объемы отправок и прибытий по каждому пункту и средняя стоимость (продолжительность) поездки, то используют гравитационную модель с показательной функцией тяготения, а для ее калибровки применяют метод Хаймана.

Если частично известна матрица корреспонденций, то в качестве функции тяготения можно взять кусочно-постоянную функцию и для калибровки использовать метод Пуассона.

В настоящей работе исследуется возможность применения метода наименьших квадратов для калибровки гравитационной модели

Статья рекомендована к опубликованию Л. А. Серковым, канд. физ.-мат. наук, доцентом, с.н.с. Института экономики УрО РАН. E-mail: dsge2012@mail.ru.

Александр Валериевич Мартыненко, канд. физ.-мат. наук; кафедра «Естественнонаучные дисциплины» Уральского государственного университета путей сообщения; с.н.с. Центра развития и размещения производительных сил Института экономики УрО РАН; Екатеринбург, Россия. E-mail: amartynenko@rambler.ru. ORCID 0000-0002-4701-639.

Александр Александрович Шевцов, аспирант; кафедра «Естественнонаучные дисциплины» Уральского государственного университета путей сообщения; Екатеринбург, Россия. E-mail: aleksandrsevov561@gmail.com. ORCID 0000-0001-6985-8345

Статья подготовлена в соответствии с планом НИР УрГУПС (НИР, выполняемая в рамках госзадания «Оптимизация транспортно-логистической системы на основе моделирования развития транспортной инфраструктуры и моделей потребительских предпочтений» № 121050500050-5).

The article is recommended for publication by L. A. Serkov, candidate, physical. of sciences, associate professor, S.N. Institute of economics, Ural branch of the Russian academy of sciences. E-mail: dsge2012@mail.ru.

Alexander Valerievich Martynenko, Candidate of Physical and Mathematical Sciences; Chair «Natural Sciences» of the Ural State University of Railway Transport; Senior Researcher of the Center for the Development and Placement of Productive Forces of the Institute of Economics of the Ural Branch of the Russian Academy of Sciences; Yekaterinburg, Russia. E-mail: amartynenko@rambler.ru. ORCID 0000-0002-4701-639.

Alexander Aleksandrovich Shevtsov, Postgraduate student; Chair «Natural Sciences» of the Ural State University of Railway Transport; Yekaterinburg, Russia. E-mail: aleksandrsevov561@gmail.com. ORCID 0000-0001-6985-8345.

с показательной функцией тяготения по наблюдаемой матрице корреспонденций, полученной на основе автоматизированного сбора данных на онлайн-сервисе объявлений о совместных поездках (карпулинг). Для такой наблюдаемой матрицы корреспонденций рассчитана модельная матрица корреспонденций по методу Хаймана и методу наименьших квадратов. В результате установлено, что оба метода дают модели, которые одинаково хорошо аппроксимируют наблюдаемые данные.

Ключевые слова: моделирование пассажиропотоков, матрица корреспонденций, гравитационная модель, метод Хаймана, метод наименьших квадратов, карпулинг.

DOI: 10.20291/2079-0392-2021-4-4-13

Abstract

The matrix of passenger correspondence plays a key role in many issues of planning and forecasting the development of the transport system. Usually, a gravitational model is used to evaluate the correspondence matrix. The specification and calibration method of the gravity model depends on what data is known from observations. In particular, if the volumes of departures and arrivals for each point and the average cost (duration) of the trip are known, then a gravitational model with an exponential gravity function is used, and the Hyman method is used to calibrate it. If the correspondence matrix is partially known, then a piecewise constant function can be taken as the gravity function and the Poisson method can be used for calibration.

In this paper, we investigate the possibility of using the least squares method to calibrate a gravitational model with an exponential gravity function based on the observed correspondence matrix obtained on the basis of automated data collection on the online service of announcements about joint trips (carpooling). For such an observed correspondence matrix, a model correspondence matrix is calculated using the Huffman method and the least squares method. As a result, it was found that both methods produce models that approximate the observed data equally well.

Keywords: passenger traffic modeling, correspondence matrix, gravity model, Hyman's method, least squares method, carpooling.

DOI: 10.20291/2079-0392-2021-4-4-13

Пространственное распределение пассажиропотоков описывается матрицей транспортных корреспонденций (МК), содержащей количество перемещающихся пассажиров для каждой пары пунктов отправления и прибытия. МК содержит исчерпывающую информацию о пассажиропотоках и позволяет проводить расчеты для оценки потребностей в инфраструктуре и транспортных средствах для обслуживания пассажирских перевозок. Хотя получение точной МК требует существенных затрат, но в настоящий момент это может быть успешно реализовано на основе данных камер видеонаблюдения, компаний мобильной связи, банков, платежных систем и т.п. [1–3].

Для планирования развития транспортной системы необходимо иметь оценку для будущей МК, для этого нужно выявить закономерности, связывающие элементы МК с различными социально-экономическими показателями пунктов отправления и назначения,

а затем, опираясь на прогнозы этих показателей и выявленные закономерности, спрогнозировать МК.

В рамках классической четырехшаговой транспортной модели на первом шаге находят зависимости между характеристиками каждого пункта отправления (прибытия) и количеством отправляющихся/прибывающих пассажиров. На втором шаге с помощью гравитационной модели находят для каждого пункта отправления/прибытия распределение полученных на первом шаге отправляющихся/прибывающих пассажиров по всем остальным пунктам прибытия/отправления, т.е. пытаются смоделировать МК [4, 5].

Гравитационная модель основывается на наблюдении «большие и близкие объекты взаимодействуют сильнее, чем слабые и далекие», справедливом для многих явлений и, в частности, для пассажиропотоков (между двумя большими городами, находящимися на не-большом расстоянии, пассажиропоток

больше, чем между двумя маленькими и удаленными друг от друга). Простейшая математическая форма, в которую можно облечь данное наблюдение, имеет вид [5]

$$T_{ij} = Q_i \cdot X_j \cdot F_{ij}, \quad (1)$$

где T_{ij} – пассажиропоток из пункта i в пункт j ; F_{ij} – величина, характеризующая «привлекательность» пункта j для осуществления поездки в него из пункта i ; Q_i и X_j – показатели, характеризующие размеры пунктов отправления и назначения соответственно.

Если обозначить через P_i количество всех пассажиров, выехавших из пункта i , а через A_j – количество всех пассажиров, прибывших в пункт j (эти величины определяются из наблюдений или прогнозируются на основе прогнозов для социально-экономических показателей), то пассажиропоток T_{ij} должен удовлетворять системе ограничений

$$\begin{cases} \sum_j T_{ij} = P_i \\ \sum_i T_{ij} = A_j \end{cases}. \quad (2)$$

При выполнении условия

$$\sum_i P_i = \sum_j A_j$$

система уравнений (2) имеет единственное решение, т.е. позволяет однозначно определить Q_i и X_j по заданным P_i , A_j и F_{ij} [6]. Явно решить эту систему уравнений нельзя, но для приближенного решения есть простой метод Фратара, называемый также методом Фернеса, или бипропорциональным алгоритмом [5]. Поэтому для расчета модельных значений необходимо значение величины F_{ij} для каждой пары пунктов отправления и прибытия. Понятно, что эта величина должна находиться в обратной зависимости от обобщенной стоимости поездки*. Достаточно часто в качестве

такой зависимости используют показательную функцию

$$F_{ij} = e^{-\beta C_{ij}}, \quad (3)$$

где C_{ij} – обобщенная стоимость поездки из пункта i в пункт j .

Гравитационная модель в виде (1)–(3) использовалась во многих исследованиях по моделированию пространственных пассажиропотоков для конкретных транспортных сетей, например, для описания автомобильных потоков в Иркутской области [7]. Модификацию (1)–(3), учитывающую расщепление по видам транспорта, для моделирования различных маршрутов общественного транспорта Екатеринбурга использовали в [8]. Другие подобные примеры расчета МК внутригородских пассажиропотоков можно найти в работах [9–12] и др.

Модель (1)–(3) при заданных P_i , A_j содержит один свободный параметр β , для калибровки которого необходима некоторая дополнительная информация о наблюдаемых пассажиропотоках. В классических работах предложен и обоснован так называемый метод Хаймана, который в качестве дополнительной информации для калибровки β использует среднюю обобщенную стоимость поездки \bar{C} [13, 14]. При известной МК (T_{ij}) средняя величина \bar{C} определяется как

$$\bar{C} = \frac{\sum_j C_{ij} T_{ij}}{\sum_j T_{ij}}. \quad (4)$$

В большинстве случаев наблюдаемая МК неизвестна, поэтому для метода Хаймана используют оценку величины \bar{C} , получаемую в результате опроса пассажиров об обобщенной стоимости совершаемых ими поездок.

Метод Хаймана был использован в работе [14] для калибровки гравита-

* Под обобщенной стоимостью поездки понимают стоимость поездки, учитывающую все затраты времени и денег на саму поездку, ожидание на остановке, парковку и т.п.

ционной модели, описывающей пространственное распределение совместных автомобильных поездок между городами Свердловской области (данные собраны на онлайн-сервисе карпулинга Едем.рф). В этой работе наблюдаемая матрица карпулинговых корреспонденций использована для калибровки модели (1)–(3) и расчета модельной МК. В соответствии с методом Хаймана для калибровки параметра β использовалась средняя стоимость \bar{C} , вычисленная по наблюдаемой МК. Фактически, в этом методе β подбирается так, чтобы модельная средняя стоимость была близка к наблюдаемой средней стоимости. Такой подход обоснован в [6] (при выполнении некоторых предположений), он очень полезен с практической точки зрения, поскольку для калибровки требуется только наблюдаемое значение \bar{C} . Кроме того, сравнение модельной и наблюдаемой МК показало, что модель (1)–(3) хорошо соответствует наблюдаемым данным. Однако возникает вопрос: если нам известна вся наблюдаемая МК (а не только наблюдаемое значение \bar{C}), то можно ли улучшить соответствие между модельной и наблюдаемой МК, используя какой-либо другой подход для калибровки β ?

В частности, насколько эффективной будет калибровка β на основе метода наименьших квадратов (МНК), т.е. на основе минимизации суммы квадратов отклонений всех компонентов модельной МК от наблюдаемой МК (при выполнении условий (2)).

В настоящей работе предпринята попытка получить ответы на поставленные вопросы на примере наблюдаемой матрицы карпулинговых корреспонденций между городами Свердловской области. Для этого выполняем калибровку модели (1)–(3) с помощью метода наименьших квадратов (МНК) и анализируем, на сколько полученная в этом случае модельная МК будет ближе к наблюдаемой МК, чем модельная МК, полученная по методу Хаймана в работе [14].

Наблюдаемая МК

Данные получены в результате формирования ежедневных автоматизированных онлайн-запросов Едем.рф с 1.02.2021 по 30.06.2021. Получены все предложения о совместных поездках между каждой парой из 32 городов Свердловской области с населением более 20 000 чел. (рис. 1, таблица 1).

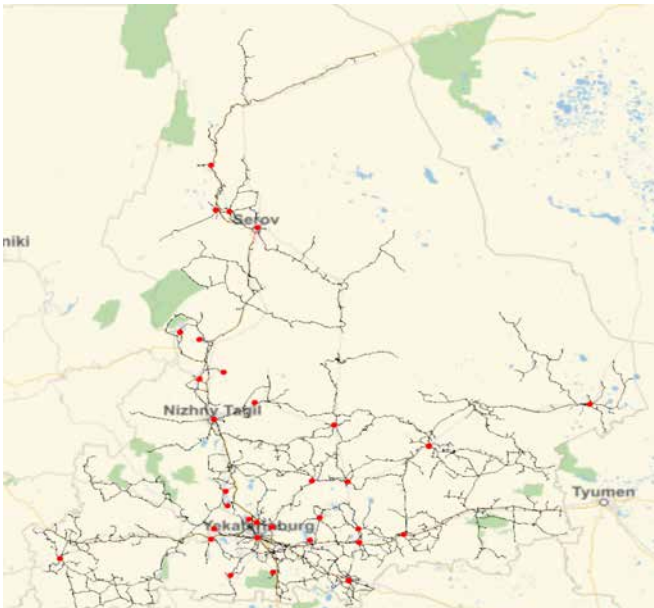


Рис. 1. Города Свердловской области с населением более 20 тыс. чел.

Таблица 1

Основные характеристики наблюдаемой МК	
Корреспонденции, кол-во	992
Поездки, кол-во	19683
Корреспонденции, по которым не было поездок, кол-во	769
Корреспонденции, по которым была хотя бы одна поездка, кол-во	223
Корреспонденции, по которым было менее 10 поездок, кол-во	856
Поездки по одной корреспонденции, тах, кол-во	4460
Поездки по корреспонденции, в среднем, кол-во	19,2

В нашей работе в обобщенной стоимости поездки будем учитывать только расстояние между пунктами отправления и прибытия, в качестве источника данных о которых мы использовали геоинформационный сервис 2GIS.

Методы калибровки гравитационной модели

Модель (1)–(3) удобно переписать в виде:

$$T_{ij} = a_i b_j P_i A_j e^{-\beta C_{ij}} \quad \forall i, j; \quad (4)$$

$$a_i = \frac{1}{\sum_j b_j A_j e^{-\beta C_{ij}}} \quad \forall i; \quad (5)$$

$$b_j = \frac{1}{\sum_i a_i P_i e^{-\beta C_{ij}}} \quad \forall j. \quad (6)$$

Соотношения (5)–(6) представляют собой систему уравнений для калибровочных коэффициентов a_i и b_j , причем данная система не решается в явном виде, ее можно решить только приближенно. Существуют различные методы решения системы (5)–(6), самый распространенный – метод Фратара (итерационный метод, основанный на двойном применении линейного преобразования на каждой итерации; его также называют бипропорциональным алгоритмом).

В соответствии с методом Фратара для отыскания калибровочных коэффициентов a_i и b_j , удовлетворяющих (приближенно) уравнениям (5)–(6), необходимо:

1) положить все $b_j = 1$ и найти a_i из уравнений (5);

2) для найденного a_i найти b_j из уравнений (6);

3) для найденного на предыдущем шаге значение b_j найти новое значение a_i из уравнений (5);

4) повторять пункты 2 и 3 до тех пор, пока различия между вычисляемыми на каждом из пунктов 2 и 3 значениями $\sum_j T_{ij}$, $\sum_i T_{ij}$ и заданными значениями P_i , A_j не будут достаточно малы.

Метод Хаймана для калибровки параметра β , который использовался в работе [14], заключается в следующем: на нулевом шаге выбирается значение $\beta = \beta_0$, затем для него с помощью вышеописанного алгоритма Фратара вычисляются калибровочные коэффициенты a_i и b_j , по которым определяются все корреспонденции T_{ij} . Для этих корреспонденций рассчитывается средняя обобщенная стоимость поездки \bar{C}_0 . Если найденное значение совпало с наблюдаемым (с заданной точностью), то значение β найдено. В противном случае необходимо перейти к новому значению β по формулам

$$\beta_1 = \frac{\beta_0 \cdot \bar{C}_0}{\bar{C}},$$

$$\beta_n = \frac{(\bar{C} - \bar{C}_{n-2}) \cdot \beta_{n-1} - (\bar{C} - \bar{C}_{n-1}) \cdot \beta_{n-2}}{\bar{C}_{n-1} - \bar{C}_{n-2}}$$

и продолжать процесс до тех пор, пока не будет достигнуто совпадение наблюдаемого и модельного значений средней обобщенной стоимости с заданной точностью.

Если из наблюдений известна матрица корреспонденций, то для отыскания

параметра β можно использовать различные критерии близости наблюдаемой и модельной матриц корреспонденций.

В настоящей работе в качестве таких критериев использована сумма квадратов разностей для компонентов наблюдаемой и модельной матриц, а также для их логарифмов. Для удобства обозначим

$$\Phi(T^{\text{наб}}, T^{\text{мод}}) = \sum_{i,j} (T_{i,j}^{\text{наб}} - T_{i,j}^{\text{мод}})^2,$$

$$\Psi(T^{\text{наб}}, T^{\text{мод}}) = \sum_{i,j} (\ln(T_{i,j}^{\text{наб}}) - \ln(T_{i,j}^{\text{мод}}))^2,$$

где $T^{\text{наб}} = \{T_{i,j}^{\text{наб}}\}$, $T^{\text{мод}} = \{T_{i,j}^{\text{мод}}\}$ – наблюдаемая и модельная матрицы корреспонденций.

Для каждого значения β в соответствии с методом Фратара могут быть найдены калибровочные коэффициенты a_i и b_j . Тем самым для каждого значения β может быть найдена модельная матрица корреспонденций $T_{i,j}^{\text{мод}}(\beta)$. В настоящей работе мы определяем β как решение задачи

$$\Phi(T^{\text{наб}}, T^{\text{мод}}(\beta)) \rightarrow \min \quad (7)$$

или задачи

$$\Psi(T^{\text{наб}}, T^{\text{мод}}(\beta)) \rightarrow \min. \quad (8)$$

Результаты моделирования

Расчеты и моделирование проводились в среде разработки «Вольфрам Математика». Время на выполнение алгоритма Фратара при известном значении β составило 0,9 с.

Поскольку в данном случае алгоритм Фратара выполняется достаточно быстро, а в задачах оптимизации (7), (8)

присутствует только один параметр β , то для решения задач (7), (8) использован метод перебора. Перебор значений β осуществлялся на интервале $[0; 0,03]$ с шагом 0,001 ($T_{i,j} = a_i b_j P_i A_j e^{-\beta C_{ij}}$ является машинным нулем при $\beta > 0,03$). Общие затраты времени на решение задач оптимизации (поиск параметра β) для функции Φ – 26,18 с, для функции Ψ – 30 с.

Результаты калибровки параметра β с помощью минимизации функций $\Phi(\beta)$ и $\Psi(\beta)$, а также с помощью метода Хаймана [14] представлены в таблице 2.

Как видно из таблицы 2, функция Φ достигает своего минимального значения при $\beta = 0,0071$, а функция Ψ – при $\beta = 0,0047$. В таблице 2 также приведены значения каждой из функций Φ и Ψ для всех значений β , полученных в результате применения каждого из методов калибровки. Отметим, что значения $\Psi(\beta)$ при разных β достаточно близки друг к другу, а $\Phi(0,0047)$ значительно превосходит $\Phi(0,0071)$ и $\Phi(0,0066)$.

Графики функций $\Phi(\beta)$ и $\Psi(\beta)$ представлены на рис. 2.

Анализ рис. 2 показывает, что задача минимизации функции $\Phi(\beta)$ значительно лучше обусловлена, чем задача минимизации функции $\Psi(\beta)$.

В таблице 3 представлены значения коэффициента детерминации

$$R^2 = 1 - \frac{\sum |T_{ij}^{\text{наб}} - T_{ij}^{\text{мод}}|^2}{\sum |T_{ij}^{\text{наб}} - \overline{T_{ij}^{\text{наб}}}|^2}$$

для модельных матриц, соответствующих различным значениям параметра β .

Таблица 2

Результаты калибровки параметра β

Метод калибровки	Оптимальное значение β	$\Phi(\beta)$	$\Psi(\beta)$
Минимизация Φ	0,0071	363232	675,9
Минимизация Ψ	0,0047	714242	637,8
Метод Хаймана	0,0066	378581	655,0

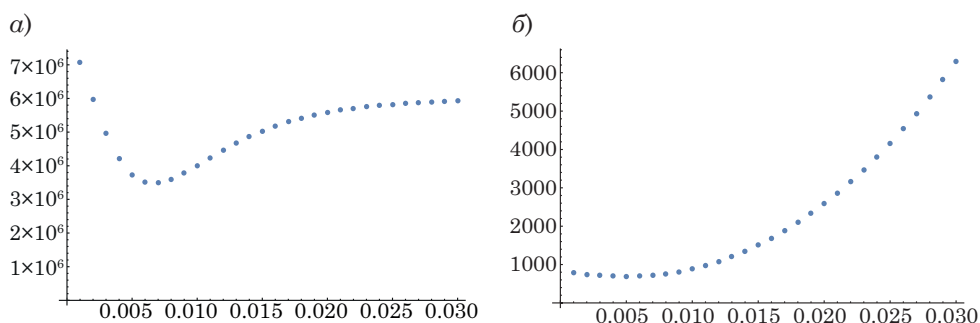


Рис. 2. Графики функций $\Phi(\beta)$ (а) и $\Psi(\beta)$ (б)

Как видно из таблицы 3, все модели имеют очень высокий коэффициент детерминации.

Для оценки качества полученных результатов сравним наблюдаемое и модельное распределение длины поездки.

Графики распределения длины поездки для значений $\beta = 0,0071$ и $\beta = 0,005$ представлены на рис. 3.

Анализ графиков (рис. 3) показывает, что модельное распределение при $\beta = 0,0047$ отклоняется от наблюдаемого

Таблица 3

Коэффициент детерминации для различных моделей, %

Показатель качества	Минимизация Φ	Минимизация Ψ	Метод Хаймана
Коэффициент детерминации, R^2	98,9	97,9	98,8

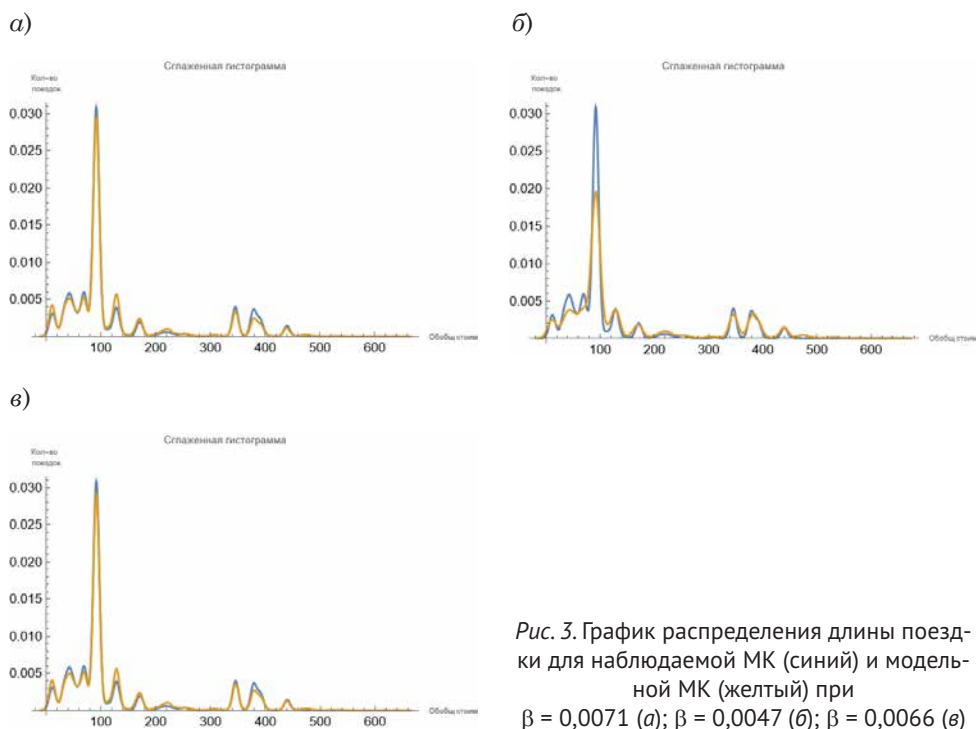


Рис. 3. График распределения длины поездки для наблюдаемой МК (синий) и модельной МК (желтый) при $\beta = 0,0071$ (а); $\beta = 0,0047$ (б); $\beta = 0,0066$ (в)

Таблица 4

Наблюдаемое и модельные значения средней длины поездки

Наблюдаемая средняя длина поездки, км	Модельная средняя длина поездки при, км		
	$\beta = 0,0071$	$\beta = 0,0047$	$\beta = 0,0066$
132,7	127,9	153,8	132,7

распределения значительно сильнее, чем модельные распределения при $\beta = 0,0071$ и $\beta = 0,0066$. Причем два последних распределения одинаково хорошо совпадают с наблюдаемым распределением. Дополнительно отметим, что график наблюдаемого распределения длины поездки показывает, что основная часть поездок совершается на расстоянии до 150 км и от 350 до 400 км.

Графики (рис. 3) можно дополнить сравнением модельных значений для средней длины поездки с наблюдаемым значением (таблица 4).

Модельные значения средней длины поездки, полученные методом Хаймана, совпадают с наблюдаемым значением, и это вполне естественно, поскольку этот метод подразумевает проведение итераций до тех пор, пока эти значения не будут совпадать. Однако модельная средняя длина поездки, полученная минимизацией функции $\Phi(\beta)$, также очень близка к наблюдаемому значению (разница составляет менее 4 %). В то же время для случая $\Psi(\beta)$ модельное значение отличается от наблюдаемого на 16 %.

Выводы

Полученные результаты калибровки гравитационной модели с показа-

тельной функцией тяготения методами Хаймана и МНК (для логарифмированных и нелогарифмированных данных) позволяют сделать следующие выводы.

1. Все модели, полученные рассмотренными методами, имеют очень высокий коэффициент детерминации (более 97 %). Однако калибровка с помощью МНК для логарифмированных МК дает модель, которая, по сравнению с двумя другими моделями, значительно отличается от наблюдаемых данных по распределению длины поездки и значению средней длины поездки (на 16 %).

2. Модели, полученные по методам Хаймана и МНК для нелогарифмированных данных, одинаково хорошо аппроксимируют наблюдаемую МК. Метод Хаймана дает более точную среднюю длину поездки, а МНК немного большее значение коэффициента детерминации.

3. Сравнение разных методов калибровки матрицы карпулинговых корреспонденций между городами Свердловской области показывает, что, несмотря на более полное использование информации, содержащейся в наблюдаемой МК, калибровка гравитационной модели с помощью МНК не дает каких-либо ощутимых преимуществ по сравнению с методом Хаймана. ■

Литература

1. Yonghong Y. A traffic-flow parameters evaluation approach based on urban road video // International Journal of Intelligent Engineering and Systems. 2009. Vol. 2. № 1. Pages 33–39. ISSN 2185-3118.
2. Belle L. T. Real-time Video Surveillance for Traffic Monitoring using Virtual Line Analysis // IEEE International Conference on Multimedia and Expo. 2002. Vol. 2. Pages 541–544. ISBN 0-7803-7304-9.
3. Теселкин А. А., Теселкина К. В. Оценка параметров модели транспортных корреспонденций по данным сотовых операторов // Интеллектуальные технологии на транспорте. 2015. № 4. С. 10–14. ISSN 2413-2527.
4. Гасников А. В., Кленов С. Л., Нурминский Е. А., Холодов Я. А., Шамрай Н. Б. Введение в математическое моделирование транспортных потоков. М. : МФТИ. 2010. 362 с. ISBN 978-5-7417-0334-2.

5. Ortúzar J. D., Willumsen G. L. Modelling transport. New Delhi. 2011. P. 608. ISBN 9781119993537.
6. Evans A. W. Some properties of trip distribution models // *Transportation Research*. 1970. Vol. 4. № 1. Pages 19–36.
7. Нурминский Е. А., Пугачев И. Н., Шамрай Н. Б., Седюкевич В. Н. Определение пассажиропотоков в региональной транспортной системе на основе модифицированных гравитационных моделей // *Наука и техника*. 2015. № 5. С. 39–45. ISSN 2227-1031.
8. Тимофеева Г. А., Ие О. Н. Применение синтетической гравитационной модели с показательно-степенной функцией тяготения для расчета расщепления пассажиропотока по разным видам общественного транспорта // *Инновационный транспорт*. 2021. № 4 (67). С. 9–14. ISSN 1815-9400.
9. Боровиков А. В., Каширский Д. Ю., Ульрих С. А., Ведяшкин В. И. Разработка эффективной матрицы корреспонденции транспортной сети г. Барнаула // *Ползуновский вестник*. 2013. № 4 (3). С. 185–189. ISSN 2072-8921.
10. Алиев А. С., Стрельников А. И., Швецов В. И., Шершевский Ю. З. Моделирование транспортных потоков в крупном городе с применением к московской агломерации // *Автоматика и телемеханика*. 2005. № 11. С. 113–125. ISSN 0005-1179.
11. Abdel-Aal M. M. M. Calibrating a trip distribution gravity model stratified by the trip purposes for the city of Alexandria // *Alexandria Engineering Journal, Alexandria*. 2014. № 53 (3). ISSN 1110-0168.
12. Ekowicaksono I, Bukhari F. Aman A Estimating Origin-Destination Matrix of Bogor City Using Gravity Model // *IOP Publishing*. 2016. № 31 (1). ISSN 1755-1307.
13. Hyman G. M. The calibration of trip distribution models // *Environment and Planning*. 1969. Vol. 1. P. 105–112.
14. Мартыненко А. В., Филиппова Е. Г. Моделирование пространственного распределения междугородных автомобильных поездок на основе данных сервисов карпулинг // *Транспорт Урала*. 2021. № 3 (70). С. 33–38. ISSN 1815-9400.

List of references

1. Yonghong Y. A traffic-flow parameters evaluation approach based on urban road video // *International Journal of Intelligent Engineering and Systems*. 2009. Vol. 2. № 1. Pp. 33–39. ISSN 2185-3118.
2. Belle L. T. Real-time Video Surveillance for Traffic Monitoring using Virtual Line Analysis // *IEEE International Conference on Multimedia and Expo*. 2002. Vol. 2. Pp. 541–544. ISBN 0-7803-7304-9.
3. Teselkin A. A., Teselkina K. V. Estimation of parameters of the model of transport correspondence according to data of cellular operators // *Intelligent technologies in transport. [Otsenka parametrov modeli transportnykh korrespondentsij po dannym sotovykh operatorov // Intellektual'nye tekhnologii na transporte.]* 2015. № 4. Pp. 10–14. ISSN 2413-2527.
4. Gasnikov A. V., Klenov S. L., Nurminsky E. A., Kholodov Ya. A., Shamray N. B. Introduction to mathematical modeling of transport flows. M. : MIPT. [Vvedenie v matematicheskoe modelirovanie transportnykh potokov. M. : MFTI.] 2010. 362 p. ISBN 978-5-7417-0334-2.
5. Ortúzar J. D., Willumsen G. L. Modelling transport. New Delhi. 2011. Pages 608. ISBN 9781119993537.
6. Evans A. W. Some properties of trip distribution models // *Transportation Research*. 1970. Vol. 4. № 1. Pages 19–36.
7. Nurminsky E. A., Pugachev I. N., Shamray N. B., Sedyukevich V. N. Determination of passenger flows in the regional transport system based on modified gravity models // *Science and Technology. [Opredelenie passazhiropotokov v regional'noj transportnoj sisteme na osnove modifitsirovannykh gravitatsionnykh modelej // Nauka i tekhnika. 2015.]* 2015. № 5. Pp. 39–45. ISSN 2227-1031.
8. Timofeeva G. A., and Ye O. N. Application of a synthetic gravity model with exponential gravity function for calculating the splitting of passenger traffic by different types of public transport // *Innovative transport. [Primenenie sinteticheskoy gravitatsionnoj modeli s pokazatel'no-stepennoj funktsiej tyagoteniya dlya rascheta rasshhepleniya passazhiropotoka po raznym vidam obshhestvennogo transporta // Innovatsionnyj transport.]* 2021. № 4 (67). Pp. 9–14. ISSN 1815-9400.

9. Borovikov A. V., Kashirsky D. Yu., Ulrich S. A., Vedyashkin V. I. Development of an effective correspondence matrix of the transport network of Barnaul // Polzunovsky bulletin. [Razrabotka ehffektivnoj matritsy korrespondentsii transportnoj seti g. Barnaula // Polzunovskij vestnik.] 2013. № 4 (3). Pp. 185–189. ISSN 2072-8921.
10. Aliev A. S., Strelnikov A. I., Shvetsov V. I., Shershevsky Yu. Z. Modeling of traffic flows in a large city with application to the Moscow agglomeration // Automation and telemechanics. [Modelirovanie transportnykh potokov v krupnom gorode s primeneniem k moskovskoj aglomeratsii // Avtomatika i telemekhanika.] 2005. № 11. Pp. 113–125. ISSN 0005-1179.
11. Abdel-Aal M. M. M. Calibrating a trip distribution gravity model stratified by the trip purposes for the city of Alexandria // Alexandria Engineering Journal, Alexandria. 2014. № 53 (3). ISSN 1110-0168.
12. Ekowicaksono I, Bukhari F, Aman A Estimating Origin-Destination Matrix of Bogor City Using Gravity Model // IOP Publishing. 2016. № 31 (1). ISSN 1755-1307.
13. Hyman G. M. The calibration of trip distribution models // Environment and Planning. 1969. V. 1. Pages 105–112.
14. Martynenko A. V., Filippova E. G. Modeling of spatial distribution of long-distance car trips based on data from carpooling services // Transport of the Urals. [Modelirovanie prostranstvennogo raspredeleniya mezhdugorodnykh avtomobil'nykh poezdok na osnove dannykh servisov karpuling // Transport Urala.] 2021. № 3 (70). Pp. 33–38. ISSN 1815-9400.

Статья сдана в редакцию 30 октября 2021 года

УДК 656.078.81.87

М. Е. Корягин, А. С. Чистяков

Математическая модель расщепления спроса на рынке междугородных пассажирских перевозок

UDC 656.078.81.87

M. E. Koryagin, A. S. Chistyakov

Mathematical model of splitting of demand in the market of intercity passenger transportation

Аннотация

В статье рассмотрены междугородные пассажирские перевозки. Проанализированы современные направления исследований в области пассажирского транспорта. Взаимодействие большого числа участников рынка транспортных услуг между собой при определенных социально-экономических условиях доказывает сложность происходящих на рынке конкурентных процессов.

Проведен краткий анализ рынка междугородных пассажирских перевозок. Сложившееся положение транспортных компаний и потребителей характеризуется как рынок покупателя. Представлена транспортная характеристика юго-западной части Сибирского региона.

Наличие альтернативных способов передвижения приводит к необходимо-

сти разрабатывать математические модели расщепления пассажирских потоков по видам транспорта. Собрана информация о поездках пассажиров железнодорожным, автобусным и автомобильным транспортом в прямом и обратном следовании на направлениях Новосибирск – Кемерово и Новосибирск – Томск. Разработан алгоритм разбиения населения на группы по равнозначным предпочтениям видов транспорта, который позволяет оценить величину спроса на рынке пассажирских перевозок. На основе предложенного алгоритма поставлена задача оптимизации интенсивности движения транспорта. Показано, как интенсивность движения влияет на пассажиропоток на железнодорожном транспорте. Определены и проанализированы суммарные доли населения по

общему предпочтению видов транспорта на рассматриваемых направлениях.

Ключевые слова: выбор способа передвижения, конкуренция, междугородные пассажирские перевозки, модель расщепления спроса, оптимизация, пассажиропотоки.

DOI: 10.20291/2079-0392-2021-4-14-25

Abstract

The article deals with international passenger transportation. The modern directions of research in the field of passenger transport are analyzed. The interaction of a large number of participants in the transport services market with each other under certain socio-economic conditions increases the complexity of competitive processes taking place in the market.

A brief analysis of the intercity passenger transport

Статья рекомендована к опубликованию д-ром техн. наук, профессором Уральского государственного университета путей сообщения В. М. Самуйловым. E-mail: samuilov-sv@convex.ru.

Марк Евгеньевич Корягин, д-р техн. наук, доцент; кафедра «Высшая математика» Сибирского государственного университета путей сообщения; г. Новосибирск, Россия. E-mail: Markkoryagin@yandex.ru. ORCID 0000-0002-1976-7418.

Александр Сергеевич Чистяков, аспирант; ведущий инженер НИЛ «Физические методы контроля качества» Сибирского государственного университета путей сообщения; г. Новосибирск, Россия. E-mail: Himmel312@mail.ru. ORCID 0000-0003-0836-539X.

The article is recommended for publishing Doctor of Technical Sciences, V.M. Samuilov, Professor, Ural state University of Railway transport. E-mail: samuilov-sv@convex.ru.

Mark E. Koryagin, Doctor of Technical Sciences, Associate Professor; Chair of Higher Mathematics of the Siberian State University of Railway Transport; Novosibirsk, Russia. E-mail: Markkoryagin@yandex.ru. ORCID 0000-0002-1976-7418.

Alexander Sergeyevich Chistyakov, Postgraduate Student; Leading Engineer of the Research Institute «Physical Methods of Quality Control» of the Siberian State University of Railway Transport; Novosibirsk, Russia. E-mail: Him-mel312@mail.ru. ORCID 0000-0003-0836-539X.

tation market is carried out. The current situation of transport companies and consumers is characterized as a buyer's market. The transport characteristics of the southwestern part of the Siberian region are presented.

The availability of alternative means of transportation leads to the need to develop mathematical models of splitting of passenger flows by means of transport. Information has been collected about the trips of passengers

by rail, bus and road transport in direct and reverse directions on the Novosibirsk – Kemerovo and Novosibirsk – Tomsk routes. An algorithm has been developed for dividing the population into groups according to equivalent preferences of modes of transport, which allows us to estimate the amount of demand in the passenger transportation market. Based on the proposed algorithm, the task of optimizing the traffic intensity is set. It is shown

how traffic intensity affects passenger traffic on railway transport. The total shares of the population according to the general preference of modes of transport in the considered directions are determined and analyzed.

Keywords: choice of transportation mode, competition, intercity passenger transportation, demand splitting model, optimization, passenger flows.

DOI: 10.20291/2079-0392-2021-4-14-25

В исследовании пассажирских перевозок очень важно моделирование рыночного взаимодействия различных видов транспорта, пассажиров и государства. Такой метод позволяет понять сущность происходящих на рынке конкурентных процессов и определить влияющие на них внешние и внутренние факторы. Теоретико-игровая модель рынка городского пассажирского транспорта, в которой каждый участник рынка пассажирских перевозок действует в соответствии с выбранной стратегией, представлена в [1].

Современным методом исследований городских и междугородных передвижений пассажиров является анализ данных операторов мобильной связи [2]. Здесь гипотеза о типе модели, описывающей принадлежность абонента к определенному слою населения, проверяется на основе прокси-факторов в виде дерева решений и проводится стратификация абонентов. Предложена методика формирования матриц пассажиропотоков с применением регрессионного анализа.

Сложность моделирования системы междугородного пассажирского транспорта, обусловленная взаимосвязанностью поведения основных участников рынка, отмечена в работе [3]*.

В настоящее время рынки товаров и услуг преимущественно характеризуются высоким уровнем конкуренции. Большое число производителей и продавцов приводит к существенному превышению предложения над спросом. Потребители получают возможность выбирать товары и услуги, наиболее удовлетворяющие предъявляемым требованиям. Такой тип рыночных отношений называется рынком покупателя [5]. В условиях рынка покупателя предприятиям недостаточно производить товары или оказывать услуги в расчете на реализацию, гарантированную высоким уровнем спроса, – необходимо вести жесткую конкурентную борьбу за потребителя, в противном случае компания рискует потерять свою долю на рынке, перестать получать прибыль и может прекратить свою хозяйственную деятельность.

* В [3] указано, что для усиления экономического роста правительство Тайваня первоначально делало ставку на развитие легкового автотранспорта. По мере роста благосостояния населения увеличивалось количество автомобилей, а общественный транспорт был вынужден либо увеличить стоимость проезда, либо сократить частоту отправок. Такие меры послужили очередным толчком к развитию автомобильного транспорта. Парадокс Доунса – Томсона проявил себя в полной мере [4]. В результате автомобильный транспорт перестал приносить необходимую пользу из-за высокой загруженности автомобильных трасс, а общественный транспорт стал менее предпочтительным из-за высокой стоимости и неудобства расписания. Авторы [3] видят решение в развитии общественных видов пассажирского транспорта, наиболее перспективным среди которых является высокоскоростной железнодорожный транспорт.

Рынок междугородных пассажирских транспортных услуг соответствует критериям рынка покупателя: предложение выше спроса, сильная конкуренция, высокие требования потребителей к услуге перевозки. Пассажир при выборе способа передвижения ориентируется не только на стоимость услуги, но и на время в пути, удобство расписания, комфорт и безопасность транспортного средства [6]. В сложившейся ситуации с целью ведения эффективной производственной и коммерческой деятельности предприятия транспорта вынуждены проводить маркетинговые исследования рынка междугородных пассажирских перевозок. Однако для формирования экономической стратегии компаниям необходимо изучать не только потребности пассажиров, но и поведение основных игроков рынка – пассажиров, фирм-конкурентов и государства. Следует учитывать, что все основные игроки непрерывно взаимодействуют между собой, а рыночное взаимодействие происходит в определенной социально-экономической среде. Таким образом, можно заключить, что рынок междугородных пассажирских перевозок является сложной социально-экономической системой.

С помощью моделирования сложных социально-экономических систем можно провести анализ текущего состояния системы, выявить влияющие на это состояние факторы, рассмотреть параметры элементов системы и установить характерные зависимости. Подробный анализ позволяет не только понять, как поведет себя система под влиянием разных факторов, но и управлять в процессе моделирования ее состоянием, целенаправленно изменяя параметры отдельных элементов [7].

Региональные пассажирские перевозки осуществляют следующие виды транспорта: авиационный, железнодорожный, автобусный и автомобильный. Железнодорожный транспорт

подразделяется на поезда дальнего следования и электропоезда. Автомобильный транспорт может быть как собственным, так и нанятым при помощи интернет-сервисов, из которых самый крупный и популярный сервис BlaBlaCar. Следует отметить, что не все из перечисленных видов транспорта занимают пассажирскими перевозками на конкретных направлениях. Основным фактором, влияющим на участие вида транспорта в перевозочной деятельности, является инфраструктура. Однако даже при наличии необходимой инфраструктуры на выбранном направлении определенный вид пассажирского транспорта может осуществлять минимальное число рейсов или не функционировать вовсе.

Большинство исследований междугородных пассажиропотоков проведено на базе густонаселенных стран Европы, Китая, Индии и прибрежных агломераций США [8, 9].

В странах Европы и прибрежных агломерациях США средняя плотность населения превышает 100 человек на квадратный километр. В Китае этот показатель приблизительно равен 147, а в Индии доходит до 422 человек на квадратный километр. В данной работе рассматриваются пассажиропотоки между городами юго-западной части Сибирского региона (рис. 1)*. Распределение городов по численности населения в каждом субъекте РФ юго-западной части Сибирского региона представлено в таблице 1.

В рассматриваемом регионе очень много маленьких городов, инфраструктура между ними и соседними городами развита плохо, железной дороги через них преимущественно нет, может отсутствовать и асфальтированная автодорога. Города с населением более 500 тыс. чел. – это региональные центры субъектов Федерации (исключение – г. Новокузнецк в Кемеровской обл.). Крупные города расположены далеко друг

* Площадь ≈ 900 тыс. км², проживает 10,6 млн чел., средняя плотность населения – 12 чел./км².

Таблица 1

Распределение городов по численности населения, кол-во

Субъект РФ	От 10 000 до 50 000 чел.	От 50 000 до 100 000 чел.	От 100 000 до 500 000 чел.	Более 500 000 чел.
Томская область	3	0	1	1
Омская область	10	0	0	1
Новосибирская область	18	1	1	1
Кемеровская область	10	6	1	2
Алтайский край	19	1	2	1
Итого	60	8	5	6



Рис. 1. Юго-западная часть Сибирского региона

1 – Томская область; 2 – Омская область; 3 – Новосибирская область;
4 – Кемеровская область; 5 – Алтайский край

от друга; в каждом из них есть аэропорт и проведена железная дорога; города связаны между собой федеральными автотрассами.

В юго-западной части Сибирского региона действует множество междугородных направлений, различающихся по длине маршрутов, мощности пассажиропотока и набору видов пассажирского транспорта. Наиболее подходящие для сравнительного анализа – это направления Новосибирск – Томск (дальность поездки по автомобильной трассе Р-255 «Байкал» составляет 267 км, а по железной дороге – 308 км) и Новосибирск – Кемерово (автомобильные трассы Р-384 и Р-255 «Байкал»; расстояния поездок по ним – 270 км и 265 км. Длина железной дороги между Новосибирском

и Кемерово составляет 292 км). Во всех трех городах расположены аэропорты международного класса.

При выборе способа передвижения наибольшее значение для пассажиров представляют время в пути и частота отправок [10]. Если время в пути следования одинаково, то пассажиры обращают внимание только на частоту отправок. Однако пассажиры, выбирающие меньшее время в пути следования, субъективно оценивают личное время дороже, чем пассажиры, выбирающие более долгие способы передвижения.

В краткосрочном периоде без существенных инвестиций у компаний отсутствует возможность улучшить такие параметры перевозки, как время в пути,

комфорт и безопасность. Помимо того, государство осуществляет надзор за тарифной политикой предприятий транспорта. В таких условиях добиться прироста пассажиропотока можно только за счет увеличения числа рейсов, т.е. формирования более удобного расписания. Поэтому была разработана математическая модель расщепления спроса на рынке междугородных пассажирских перевозок, в которой единственным изменяющимся параметром является частота отправок.

Предположим, что между двумя городами в регионе А и Б перевозками пассажиров занимается K видов транспорта. Допустим, что существуют такие группы пассажиров, для которых субъективно совершенно равнозначно использование определенного числа (от 1 до K) видов транспорта для перемещения между городами А и Б. Например, некоторая группа населения одинаково оценивает для себя стоимость билета, время в пути, комфорт и безопасность автобусного и железнодорожного видов транспорта на заданном направлении, считая приемлемым совершить поездку обоими видами. Может существовать и другая группа населения, которая предпочитает передвигаться только на личном автомобиле, совершенно не рассматривая иные виды транспорта.

Количество людей каждой группы зависит от ряда неэкономических факторов: погода, день недели, праздник, время года, форс-мажорные обстоятельства и др. Однако предполагается, что доля каждой группы населения от общей численности пассажиров варьируется вокруг определенного значения. Размер каждой группы населения по равнозначному предпочтению видов транспорта можно установить опросом пассажиров.

Число возможных групп населения N , принимающих для себя равнозначными от 1 до K видов транспорта, соответственно равно:

$$N = 2^K - 1.$$

Единственным критерием выбора для n -й группы населения между равнозначно предпочтительными видами транспорта является удобство расписания (частота отправок).

Пусть a_{nk} – булевый коэффициент, соответствующий предпочтению n -й группы населения k -го вида транспорта (где 0 – не предпочитает, 1 – предпочитает). Пусть μ_k – частота отправления k -го вида транспорта. Тогда вероятность выбора n -й группы населения k -го вида транспорта:

$$P_{nk} = \frac{a_{nk} \cdot \mu_k}{\sum_{k=1}^K a_{nk} \cdot \mu_k}.$$

Пусть λ_n – общее число пассажиров n -й группы населения. Тогда усредненное общее число пассажиров k -го вида транспорта λ_n за определенный промежуток времени:

$$\lambda_k = \sum_{n=1}^N \frac{\lambda_n \cdot a_{nk} \cdot \mu_k}{\sum_{k=1}^K a_{nk} \cdot \mu_k}.$$

Таким образом, можно определить количество пассажиров каждого вида транспорта в зависимости от частоты их отправок.

Полагая за основу стратегию максимизации прибыли предприятий и сравнивая предельную выручку с предельными расходами на организацию рейса, можно установить оптимальную частоту отправок для выбранного вида транспорта.

Из-за значительной сложности первоначального определения групп населения по равнозначному предпочтению видов транспорта интересно решение обратной задачи, т.е. определение величин групп населения от общего числа пассажиров при помощи существующих пассажиропотоков и частот отправления видов транспорта. Вычисленные таким образом соотношения групп населения интересны для маркетинговых исследований предприятий транспорта и могут быть положены

в основу дальнейшего моделирования пассажиропотоков.

Приведем пример решения обратной задачи для направления Новосибирск – Томск. Предположим, что пассажиры для совершения поездки могут выбирать между автобусами, поездами и сервисом BlaBlaCar. Из рассматриваемой исходной группы населения исключены люди, использующие для перемещения между городами личный

автотранспорт. Это объясняется вложенной логит-моделью [11], в соответствии с которой самостоятельное управление транспортным средством относится к другой группе способов передвижения.

Данные по частоте отправок и количеству пассажиров каждого вида транспорта за март 2021 г. представлены в таблице 2. Поскольку не представляется возможным определить точное

Таблица 2

Частота отправок и пассажиропоток видов транспорта

Число месяца	Рейсы поездов, кол-во	Пассажиры поездов, кол-во чел.	Рейсы автобусов, кол-во	Пассажиры автобусов, кол-во чел.	Рейсы сервиса BlaBlaCar, кол-во	Пассажиры сервиса BlaBlaCar, предполагаемое кол-во чел.
1	0	0	18	236	21	42
2	2	91	17	122	33	66
3	0	0	16	186	29	58
4	1	66	17	164	31	62
5	1	20	18	282	18	36
6	2	224	18	365	23	46
7	1	19	18	282	20	40
8	2	150	18	468	5	10
9	1	20	15	258	14	28
10	2	104	18	222	28	56
11	0	0	19	193	35	70
12	2	126	19	322	43	86
13	1	28	17	215	32	64
14	2	112	20	368	35	70
15	1	10	20	247	34	68
16	2	84	16	175	41	82
17	1	13	14	123	37	74
18	1	96	16	220	34	68
19	1	25	17	207	28	56
20	2	133	16	201	19	38
21	1	19	17	362	35	70
22	2	188	16	280	12	24
23	1	26	16	261	14	28
24	2	140	17	200	23	46
25	0	0	17	192	14	28
26	2	197	18	270	15	30
27	1	19	17	260	8	16
28	2	194	18	337	8	16
29	1	28	18	268	8	16
30	2	141	18	196	16	32
31	1	45	19	240	10	20
Итого	40	2318	538	7722	723	2169

количество пассажиров, воспользовавшихся интернет-сервисом BlaBlaCar, то среднее число пассажиров принимает-ся равным двум.

На основании данных таблицы 2 можно наблюдать, что в отдельные дни поезда не отправлялись. Но это не значит, что в этот день пассажиры делали выбор между двумя способами передвижения. Предпочитающие железнодорожный транспорт пассажиры покупают билеты заранее либо проводят сутки в ожидании отправления поезда. Для возможности механического решения задачи необходимо произвести преобразования строк в таблице, переместив половину рейсов и пассажиров железнодорожного транспорта со следующих суток на предыдущие сутки.

Формально задача заключается в том, чтобы подобрать такие значения P_{nk} , чтобы суммарный квадрат отклонения ежедневных пассажиропотоков по видам транспорта был наименьшим [12]. При этом в процессе подбора значений необходимо соблюдать ряд условий: вероятность P_{nk} строго положительна, а сумма всех P_{nk} равна единице. В результате расчетов мы получаем вероятности, приведенные в таблице 3.

На основании полученных результатов для направления Новосибирск – Томск можно сделать вывод, что нет таких групп населения, которые предпочитают пользоваться только автобусами, только сервисом BlaBlaCar, автобусами

и сервисом BlaBlaCar, поездами и сервисом BlaBlaCar. Таким образом, 16 % пассажиров предпочитают железнодорожный транспорт другим видам; 60 % пассажиров при выборе равнозначно воспринимают автобусы и поезда. Оставшиеся 24 % пассажиров настолько желают совершить поездку, что не имеют приоритетов при выборе между видами транспорта. Иными словами, каждый пассажир рассматривает для себя возможность путешествия железнодорожным транспортом. Немного меньше число пассажиров, желающих совершить поездку на автобусе. В свою очередь, группа пассажиров, которая готова использовать сервис BlaBlaCar, наименьшая по численности.

Направление Томск – Новосибирск характеризуется меньшим предпочтением населением железнодорожного транспорта, автобусов и сервиса BlaBlaCar в отдельности, т.е. существуют группы населения, которые точно не воспользуются поездами или автобусами. Графически предпочтения пассажиров представлены в виде диаграммы Венна [13] (рис. 2).

Следует обратить внимание на высокое предпочтение населением железнодорожного транспорта. Однако количество перемещающихся на поездах пассажиров достаточно мало. Данный факт указывает на высокий потенциал привлечения пассажиропотока с других видов транспорта.

Таблица 3

Распределение населения по группам равнозначного предпочтения видов транспорта на направлениях Новосибирск – Томск и Томск – Новосибирск

Группы населения по равнозначному предпочтению видов транспорта (П – поезда, А – автобусы, ВВ – сервис BlaBlaCar)	Доля от общего числа пассажиров направления	
	Новосибирск – Томск	Томск – Новосибирск
П	0,16	0,26
А	0	0,26
ВВ	0	0
П-А	0,60	0,25
А-ВВ	0	0,11
П-ВВ	0	0
П-А-ВВ	0,24	0,12

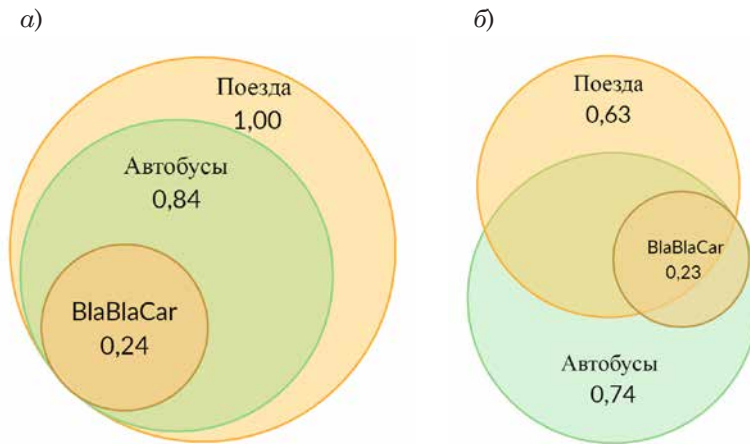


Рис. 2. Равнозначность предпочтений пассажиров на направлениях Новосибирск – Томск (а) и Томск – Новосибирск (б)

Воспользуемся описанной моделью перераспределения пассажиропотоков между равнозначными по предпочтению видами транспорта по прямому варианту. На основании данных, полученных из предыдущего этапа моделирования, построим диаграмму пассажиропотока железнодорожного транспорта в зависимости от изменения частоты отправляемых поездов на направлении Новосибирск – Томск (рис. 3).

Рис. 3 отражает нелинейный характер перераспределения пассажиропотоков между видами транспорта. Однако перераспределяемый пассажиропоток не является полным, так как модель не учитывает прирост пассажиров за счет отказа населения от личного автотранспорта.

Между Новосибирском и Кемерово перевозкой пассажиров занимаются четыре вида транспорта, поэтому количество групп населения по равнозначному предпочтению видов транспорта будет равно 15. Определим доли населения по равнозначному предпочтению видов транспорта для направлений Новосибирск – Кемерово и Кемерово – Новосибирск (таблица 4). Диаграмма Вена для указанных направлений не будет показательной из-за сложности ее построения.

Определим суммарные доли населения по общему предпочтению видов транспорта на выбранных направлениях (таблица 5).

На основании представленных данных можно заключить, что население

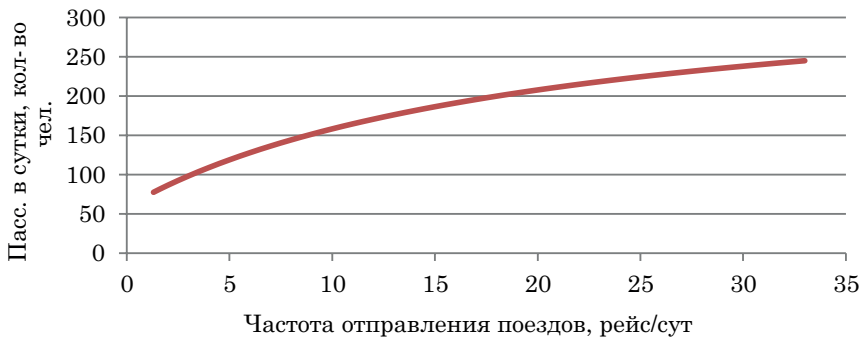


Рис. 3. Пассажиропоток железнодорожного транспорта

Таблица 4

Распределение населения по группам равнозначного предпочтения видов транспорта на направлениях Новосибирск – Кемерово и Кемерово – Новосибирск

Группы населения по равнозначному предпочтению видов транспорта (П – поезда, А – автобусы, ВВ – сервис BlaBlaCar, С – самолеты)	Доля от общего числа пассажиров направления	
	Новосибирск – Кемерово	Кемерово – Новосибирск
П	0,10	0
А	0,16	0,39
ВВ	0	0
С	0,02	0,04
П-А	0,15	0
П-ВВ	0	0
П-С	0,02	0,07
А-ВВ	0,06	0,01
А-С	0,16	0,23
ВВ-С	0	0
П-А-ВВ	0,06	0,02
П-А-С	0,15	0,08
П-ВВ-С	0	0
А-ВВ-С	0,06	0,08
П-А-ВВ-С	0,06	0,08

Таблица 5

Предпочтения населения по видам транспорта

Направление	Доля от общего числа пассажиров по общему предпочтению видов транспорта			
	П	А	ВВ	С
Новосибирск – Томск	1,00	0,84	0,24	–
Томск – Новосибирск	0,63	0,74	0,23	–
Новосибирск – Кемерово	0,54	0,86	0,24	0,47
Кемерово – Новосибирск	0,25	0,89	0,19	0,58

с высокой предпочтительностью относится к авиатранспорту, несмотря на высокую стоимость билетов на перелет. Данный тезис подтверждается периодическим отсутствием свободных мест на рейсах. Автобусы и сервис BlaBlaCar обладают практически постоянной предпочтительностью на каждом направлении, что связано с высокой частотой отправления рейсов. В свою очередь, предпочтительность железнодорожного транспорта распределена неравномерно, что указывает на неудобство расписания для населения, а также напрямую связано с целями совершения

поездки. Из Кемерово в Новосибирск население преимущественно перемещается по работе либо на учебу, ему необходимо прибывать в пункт назначения строго в определенное время, поэтому очень важно расписание движения транспортных средств. Из Новосибирска в Кемерово население совершает обратные рейсы, и точность расписания становится менее важным параметром, пассажиры готовы уехать первым рейсом наиболее предпочтительного вида транспорта.

В заключение следует отметить, что математическая модель расщепления

спроса на рынке междугородных пассажирских перевозок является одним из множества способов исследования рынка междугородных транспортных услуг. Важную роль при данных исследованиях играют точность исходных данных и вычислительные мощности программного комплекса. Определенные предложенным методом группы населения по равнозначному предпочтению могут быть соотнесены с данными, полученными на основе анкетирования, и использованы для дальнейших исследований пассажиропотоков.

Выводы

Описана взаимосвязь основных участников рынка междугородных пассажирских перевозок. Обосновано, что данный рынок относится к сложным социально-экономическим системам.

Разработана модель выбора междугородного способа передвижения на основе частот отправок и равнозначных предпочтений пассажиров по видам транспорта, в которой единственным изменяющимся параметром является частота отправок.

Предложено решение обратной задачи по определению величин групп населения от общего числа пассажиров при помощи существующих пассажиропотоков и частот отправления видов транспорта. Произведены расчеты и определены группы населения от общего числа пассажиров на направлениях Новосибирск – Томск и Новосибирск – Кемерово в прямом и обратном сообщении. Построены диаграммы Венна для направления Новосибирск – Томск. Решение данной задачи представляет особый интерес для маркетинговых исследований.

На основании полученных величин групп населения от общего числа пассажиров по предпочтению видов транспорта проведено моделирование перераспределения пассажиропотоков для направления Новосибирск – Томск.

Определены и представлены суммарные доли населения по общему предпочтению видов транспорта на направлениях Новосибирск – Томск и Новосибирск – Кемерово в прямом и обратном сообщении. Проведен анализ предпочтений видов транспорта на рассматриваемых направлениях. ■

Литература

1. Корягин М. Е. Равновесные модели систем городского пассажирского транспорта в условиях конфликта интересов : монография. – Новосибирск : Наука, 2011. 140 с. ISBN 978-5-02-032236-3.
2. Tesselkin A. A., Tesselkina K. V., Khabarov V. I. Elements of data mining for the development of mathematical transport models // 2016 13th International Scientific-Technical Conference on Actual Problems of Electronics Instrument Engineering (APEIE). – IEEE, 2016. T. 2. C. 354–357. ISBN 978-1-5090-4070-4.
3. Chiou Y. C., Lan L. W., Chang K. L. Sustainable consumption, production and infrastructure construction for operating and planning intercity passenger transport systems // *Journal of cleaner production*. 2013. T. 40. C. 13–21. ISSN 0959-6526.
4. Егоров П. И., Санатов Д. В. Методологический подход к формированию транспортной системы урбанизированной территории // *Менеджмент и бизнес-администрирование*. 2014. №. 3. С. 62–71. ISSN 2075-1826.
5. Матушкин М. А. Развитие системного мышления в менеджменте предприятий / М-лы Международн. (очно-заочной) научн.-практ. конф. «Современный взгляд на проблемы качества и управления конкурентоспособностью в условиях внешних вызовов» / Ред. колл. : А. В. Гугелев, Н. С. Яшин, И. П. Степанова, П. В. Старцев. – Саратов : Саратовский социально-экономический институт (филиал) федерального государственного бюджетного образовательного учреждения высшего образования «Российский экономический университет им. Г.В. Плеханова». – 2015. – С. 32–35.
6. Horowitz J. L., Koppelman F. S., Lerman S. R. A Self-instructing Course in Disaggregate Mode Choice Modeling. Final Report. 1986. №. UMTA-IA-11-0006-86-1. 184 p.

7. Корягин М. Е., Чистяков А. С. База данных для описания рынка междугородних пассажирских перевозок // Вестник Сибирского государственного университета путей сообщения. 2021. № 1 (56). С. 38-45. ISSN 1815-9265.
8. Román C., Espino R., Martin J. C. Competition of high-speed train with air transport: The case of Madrid – Barcelona // Journal of Air Transport Management. 2007. Т. 13. № 5. С. 277–284. ISSN 0969-6997.
9. Raturi V., Verma A. Analyzing competition between High Speed Rail and Bus mode using market entry game analysis //Transportation research procedia. 2017. Т. 25. С. 2373–2384. ISSN 2352-1465.
10. Mancuso P. An analysis of the competition that impinges on the Milan –Rome intercity passenger transport link // Transport Policy. 2014. Т. 32. С. 42–52. ISSN 0967-070X.
11. Ben-Akiva M., Lerman S.R. Discrete choice analysis: theory and application to travel demand. – Transportation Studies, 2018.
12. Зоркальцев В. И., Анциферов Е. Г., Булатов В. П. Метод наименьших квадратов. 1995. ISBN 5-02-030676-2.
13. Кузичев А. С. Диаграммы Венна: история и применение. – Наука, 1968. 254 с.

List of references

1. Koryagin M. E. Equilibrium models of urban passenger transport systems in conditions of conflict of interests : monograph. [Ravnovesnye modeli sistem gorodskogo passazhirskogo transporta v usloviyakh konflikta interesov : monografiya.] – Novosibirsk : Nauka, 2011. 140 p. ISBN 978-5-02-032236-3.
2. Tesselkin A. A., Tesselkina K. V., Khabarov V. I. Elements of data mining for the development of mathematical transport models // 2016 13th International Scientific-Technical Conference on Actual Problems of Electronics Instrument Engineering (APEIE). – IEEE, 2016. Т. 2. С. 354–357. ISBN 978-1-5090-4070-4.
3. Chiou Y. C., Lan L. W., Chang K. L. Sustainable consumption, production and infrastructure construction for operating and planning intercity passenger transport systems //Journal of cleaner production. 2013. Т. 40. С. 13–21. ISSN 0959-6526.
4. Egorov P. I., Sanatov D. V. Methodological approach to the formation of the urbanized territory transport system // Management and business administration. [Metodologicheskij podkhod k formirovaniyu transportnoj sistemy urbanizirovannoj territorii // Menedzhment i biznes-administrirovanie.] 2014. № 3. Pp. 62–71. ISSN 2075-1826.
5. Matushkin M. A. Development of system thinking in enterprise management / Moscow International. (scientific.-practical conf. with face-to-face and virtual participation «A modern view on the problems of quality and competitiveness management in the conditions of external challenges» / Ed. call.: A. V. Gumilev, N. S. Yashin, I. P. Stepanova, P. V. Startsev. – Saratov : Saratov Socio-Economic Institute (branch) of the Federal State Budgetary Educational Institution of Higher Education «Plekhanov Russian University of Economics». [Razvitie sistemnogo myshleniya v menedzhmente predpriyatij / M-ly Mezhdunarodn. (очно-zaочноj) nauchn.-prakt. konf. «Sovremennyy vzglyad na problemy kachestva i upravleniya konkurentosposobnost'yu v usloviyakh vneshnikh vyzovov» / Red. koll. : A. V. Gugelev, N. S. Yashin, I. P. Stepanova, P. V. Startsev. – Saratov : Saratovskij sotsial'no-ehkonomicheskij institut (filial) federal'nogo gosudarstvennogo byudzhethnogo obrazovatel'nogo uchrezhdeniya vysshego obrazovaniya «Rossijskij ehkonomicheskij universitet im. G. V. Plekhanova».] – 2015. – Pp. 32–35.
6. Horowitz J. L., Koppelman F. S., Lerman S. R. Tutorial on modeling the choice of a disaggregated mode. Final report. 1986. № UMTA-IA-11-0006-86-1. 184 p.
7. Koryagin M. E., Chistyakov A. S. Database for describing the market of intercity passenger transportation // Bulletin of the Siberian State University of Railway Transport. [Baza dannykh dlya opisaniya rynka mezhdugorodnikh passazhirskikh perevozok // Vestnik Sibirskogo gosudarstvennogo universiteta putej soobshheniya.] 2021. № 1 (56). Pp. 38–45. ISSN 1815-9265.
8. Román C., Espino R., Martin J. C. Competition of high-speed train with air transport: The case of Madrid – Barcelona // Journal of Air Transport Management. 2007. Т. 13. № 5. С. 277–284. ISSN 0969-6997.
9. Raturi V., Verma A. Analyzing competition between High Speed Rail and Bus mode using market entry game analysis // Transportation research procedia. 2017. Т. 25. С. 2373–2384. ISSN 2352-1465.

10. Mancuso P. An analysis of the competition that impinges on the Milan –Rome intercity passenger transport link // Transport Policy. 2014. T. 32. С. 42–52. ISSN 0967-070X.
11. Ben-Akiva M., Lerman S. R. Discrete choice analysis: theory and application to travel demand. – Transportation Studies, 2018.
12. Zorkaltsev V. I., Antsiferov E. G., Bulatov V. P. The method of least squares. [Metod naimen'shikh kvadratov.] 1995. ISBN 5-02-030676-2.
13. Kuzichev A. S. Venn diagrams: history and application. – Nauka [Diagrammy Venna: istoriya i primeneniye. – Nauka], 1968. 254 p.

Статья сдана в редакцию 27 сентября 2021 года

Механика машин и роботов

УДК 629.423.2

А. А. Воробьев, Д. С. Шутов, М. В. Николашин

Расчет и анализ показателей долговечности колесных пар электропоездов Московского метрополитена

UDC 629.423.2

A. A. Vorobyov, D. S. Shutov, M. V. Nikolashin

Calculation and analysis of wheel sets durability indicators of Moscow metro electric trains

Аннотация

Дан анализ долговечности колесных пар электропоездов моделей 81-765/766/767 «Москва» и 81-740/741 «Русич», эксплуатируемых на линиях Московского метрополитена. При проведении анализа рассмотрены и проанализированы данные, полученные из журналов учета колесных пар, хранящихся в производственно-технических отделах электродепо и ведущимися инженерами-технологами по колесному хозяйству. Для анализа данных использована методика расчета показателей долговечности. На основании проведенного анализа построены зависимости от наработки среднего значения и среднеквадратического отклонения, функции распределения ресурса и функции

плотности распределения диаметров колес.

Данные узлы оказывают наибольшее влияние на безопасность движения поездов и поэтому крайне важна постоянная оценка состояния данных узлов.

Знание этих данных способствует совершенствованию технологии ремонта и правильной организации системы планово-предупредительной системы ремонта.

Такое исследование позволяет повысить безопасность перевозочного процесса путем тщательного мониторинга наиболее уязвимых мест подвижного состава.

Этим выявляется предотказное состояние до его возникновения. Результаты исследования можно взять за основу при корректиров-

ке действующей структуры ремонтного цикла в части изменения межремонтных пробегов.

Имея представление об изменении ресурса детали или узла, можно заранее выявить возможные возникающие проблемы, связанные с эксплуатацией подвижного состава, обеспечить необходимый запас деталей и оборудования для проведения предстоящего планового ремонта [1].

Ключевые слова: анализ долговечности, электропоезда Московского метрополитена, отказы оборудования, критерии, методы и инструменты оценки, определение ресурса колесных пар, долговечность колесных пар.

DOI: 10.20291/2079-0392-2021-4-26-34

Статья рекомендована к опубликованию д-ром техн. наук, профессором Российского университета транспорта О. Е. Пудовиковым. E-mail: olegper@mail.ru.

Денис Сергеевич Шутов, аспирант; кафедра «Электропоезда и локомотивы», Российский университет транспорта РУТ (МИИТ); Москва, Россия. E-mail: denshutoff@mail.ru. ORCID 0000-0003-2841-9746.

Максим Владимирович Николашин, аспирант; кафедра «Электропоезда и локомотивы», Российский университет транспорта РУТ (МИИТ); Москва, Россия. E-mail: max.nikolashin@mail.ru. ORCID 0000-0002-4101-739X.

The article is recommended for publishing by O. E. Pudovikov, Doctor of Technical Sciences, Professor of the Russian University of Transport. E-mail: olegper@mail.ru.

Denis Sergeyevich Shutov, Postgraduate Student; Chair «Electric Trains and Locomotives», Russian University of Transport RUT (MIIT); Moscow, Russia. E-mail: denshutoff@mail.ru. ORCID 0000-0003-2841-9746.

Maxim Vladimirovich Nikolashin, Postgraduate student; Chair «Electric Trains and Locomotives», Russian University of Transport RUT (MIIT); Moscow, Russia. E-mail: max.nikolashin@mail.ru. ORCID 0000-0002-4101-739X.

Abstract

The analysis of durability of wheel sets of 81-765/766/767 «Moscow» and 81-740/741 «Rusich» series of electric trains, operated on the lines of the Moscow metro is given.

During the analysis, the data obtained from the wheel-set registers stored at production and technical departments of the electric depot and kept by engineers-technologists in wheel economy were considered and analyzed. To analyze the data, methodology for calculating durability indicators was used. On the basis of the analysis, the dependences on the operating time of the average value and standard deviation, the resource distribution function and the wheel diameter

distribution density function are constructed.

These units have the greatest impact on the safety of train traffic and therefore it is extremely important to constantly assess the condition of these components.

The knowledge of these data contributes to improvement of repair technology and correct organization of the planned preventive repair system.

Such a study makes it possible to improve the safety of the transportation process by carefully monitoring the most vulnerable spots of the rolling stock.

This reveals the pre-failure condition before its occurrence. The results of the study can be used as the

basis for adjusting the current structure of the repair cycle in terms of changing the repair runs.

Having the idea of changes in the stock of parts or components, it is possible to identify in advance possible problems associated with operation of the rolling stock, to provide the necessary stock of parts and equipment necessary for the upcoming scheduled repairs [1].

Keywords: durability analysis, electric trains of the Moscow metro, equipment failures, criteria, methods and evaluation tools, determination of the resource of wheelsets, durability of wheelsets.

DOI: 10.20291/2079-0392-2021-4-26-34

Электропоезда из вагонов метрополитена 81-740/741 «Русич» и модели 81-765/766/767 «Москва» предназначены для работы на открытых участках и в тоннелях с возможностью эксплуатации на действующих линиях метрополитена колеи 1520 или 1435 мм с питанием от бокового нижнего контактного рельса, электрифицированного напряжением 750 В постоянного тока.

Минимальная конфигурация состава из вагонов 81-740/741 «Русич» – два головных вагона с кабинами управления, максимальная – пять вагонов: два головных и три промежуточных без кабин управления. Крайние тележки являются моторными, средняя тележка – безмоторная, поддерживающая.

Поезд из вагонов 81-765/766/767 «Москва» – это восьми- или семивагонный состав постоянного формирования со сквозным проходом; конфигурация: МГ (вагон головной моторный модели 81-765), МП (промежуточный моторный модели 81-766), НП (промежуточный (прицепной) немоторный модели 81-767).

Колесные пары, применяемые на тележках этих моделей вагонов, предназначены для направления движения вагона по рельсовому пути и восприятия нагрузок от вагона на рельсы (рис. 1) [2].

Тележки электропоездов «Москва» и «Русич» имеют цельнокатанные колеса с диаметром 862 мм. Однако в процессе эксплуатации диаметр колеса по кругу катания уменьшается (предельное значение – 810 мм).

Для анализа процесса изнашивания колес взяты значения диаметров колес, полученные при фиксированных наработках, из карт учета состояния колесных пар после их обточки для головных вагонов моделей 81-740, 81-765 и промежуточных вагонов моделей 81-741, 81-766/767.

Для прогнозирования процесса изнашивания колесных пар [3] вагонов моделей 81-740/741 и 81-765/766/767, а также определения показателей долговечности колесных пар был проведен расчет зависимостей среднего значения $m_x(t)$ и среднеквадратического отклонения

а)



б)



Рис. 1. Колесная пара
а – электропоезда «Москва»; б – электропоезда «Русич»

$\sigma_x(t)$ контролируемого параметра [4] (диаметра колес) от наработки:

$$m_x = \frac{1}{n} \sum_{i=1}^n x_i,$$

где n – число точек при определенной наработке; x_i – значения контролируемого параметра.

$$\sigma_x = \sqrt{\frac{1}{n-1} \sum_{i=1}^n (m_x - x_i)^2},$$

где m_x – среднее значение контролируемого параметра при фиксированной наработке.

По полученным числовым значениям при помощи программного обеспечения построены соответствующие характеристики и подобраны линейные описывающие их функции.

Далее, после расчета интервала наработки и используя таблицу со значениями нормальной функции распределения (функции Лапласа), проведен расчет значений функции распределения ресурса $F(t)$:

$$z = \frac{x_{\text{доп}} - m_x(t)}{\sigma_x(t)},$$

где $x_{\text{доп}}$ – допустимое значение контролируемого параметра; $m_x(t)$ – зависимость среднего значения от наработки; $\sigma_x(t)$ – зависимость среднеквадратического отклонения от наработки.

Для определения ресурса [5] колесных пар использованы полученные данные об изменении диаметра колес

вагонов модели 81-765/766/767 в процессе эксплуатации на Калужско-Рижской линии Московского метро и колес вагонов модели 81-740/741 в процессе эксплуатации на Кольцевой линии (таблицы 1, 2).

Далее построены зависимости от наработки среднего значения и среднеквадратического отклонения диаметров колес вагонов модели 81-765 (рис. 2), 81-766/767 (рис. 3) и 81-740/741 (рис. 4).

Далее построены функции распределения ресурса диаметра колес вагонов модели 81-765 (рис. 5), 81-766/767 (рис. 6) и 81-740/741 (рис. 7).

На основании построенных зависимостей для вагонов 81-765/766/767 электропоезда «Москва» определен 90%-ный ресурс колес: $t_{y=90\%} = 758$ тыс. км. – для колесных пар вагонов модели 81-765, $t_{y=90\%} = 1148$ тыс. км. – для колесных пар вагонов модели 81-766/767.

На основании построенных зависимостей для вагонов 81-740/741 электропоезда «Русич» определен 90%-ный ресурс выработки колес: $t_{y=90\%} = 1650$ тыс. км – для колесных пар вагонов моделей 81-740/41.

На рис. 8 представлена функция плотности распределения диаметра колесных пар электропоезда «Русич» из вагонов моделей 81-740/741.

На рис. 9 представлена функция плотности распределения диаметра колесных пар вагонов моделей 81-765 электропоезда «Москва».

Таблица 1

Расчет функции распределения ресурса колесных пар вагонов
моделей 81-765/766/767

81-765								
t , тыс. км	678	708	738	757	...	888	918	947
$m_x(t)$, мм	818,97	817,18	815,38	814,23	...	806,41	804,62	802,82
$\sigma_x(t)$, мм	2,99	3,11	3,23	3,31	...	3,83	3,95	4,07
z	-3,00	-2,31	-1,67	-1,28	...	0,94	1,36	1,76
$F(z) = F(t)$	0,001	0,010	0,047	0,100	...	0,826	0,913	0,960
$P(t)$	0,999	0,990	0,953	0,900	...	0,174	0,087	0,040

81-766/767								
t , тыс. км	1039	1079	1120	1148	...	1322	1362	1402
$m_x(t)$, мм	818,08	816,47	814,85	813,73	...	806,77	805,15	803,53
$\sigma_x(t)$, мм	2,69	2,77	2,86	2,91	...	3,26	3,34	3,42
z	-3,00	-2,33	-1,70	-1,28	...	0,99	1,45	1,89
$F(z) = F(t)$	0,001	0,009	0,044	0,100	...	0,838	0,926	0,970
$P(t)$	0,999	0,991	0,956	0,900	...	0,162	0,074	0,030

Таблица 2

Расчет функции распределения ресурса колесных пар вагонов
моделей 81-740/741

81-740/741								
t , тыс. км	939	1341	1650	...	3354	3756	4159	4562
$m_x(t)$, мм	842,00	835,60	830,70	...	803,60	797,20	790,80	784,40
$\sigma_x(t)$, мм	10,48	13,70	16,17	...	29,80	33,02	36,24	39,46
z	-3,05	-1,87	-1,28	...	0,21	0,39	0,53	0,65
$F(z) = F(t)$	0,001	0,031	0,100	...	0,583	0,652	0,702	0,742
$P(t)$	0,999	0,969	0,900	...	0,417	0,348	0,298	0,258

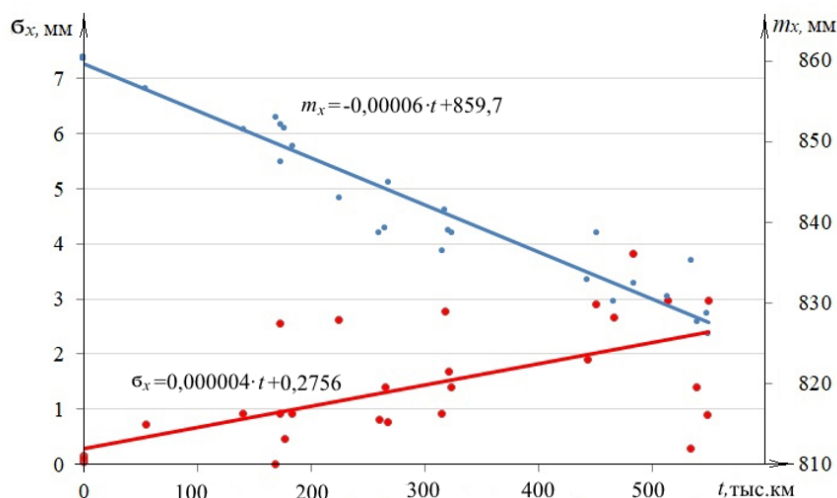


Рис. 2. Зависимости от наработки среднего значения и среднеквадратического отклонения диаметров колес вагонов модели 81-765

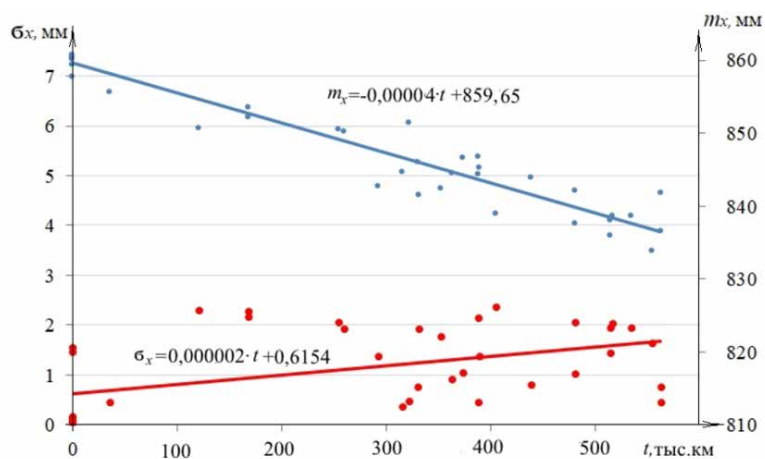


Рис. 3. Зависимости от наработки среднего значения и среднеквадратического отклонения диаметров колес вагонов моделей 81-766/767

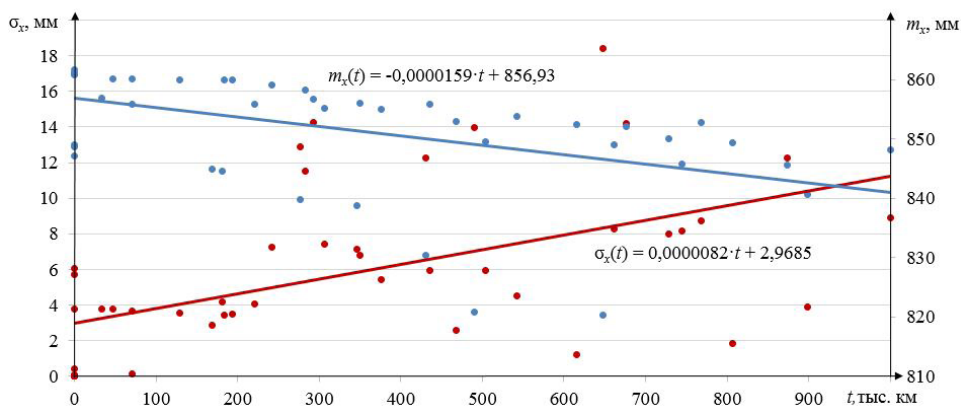


Рис. 4. Зависимости от наработки среднего значения и среднеквадратического отклонения диаметров колес вагонов моделей 81-740/741

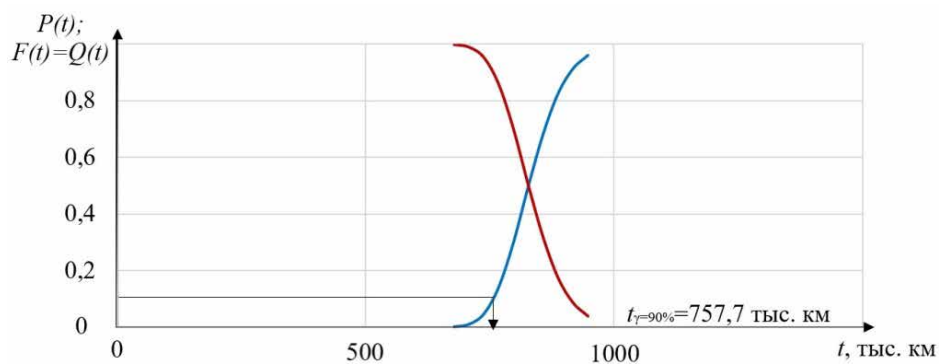


Рис. 5. Функция распределения ресурса диаметра колес вагонов модели 81-765

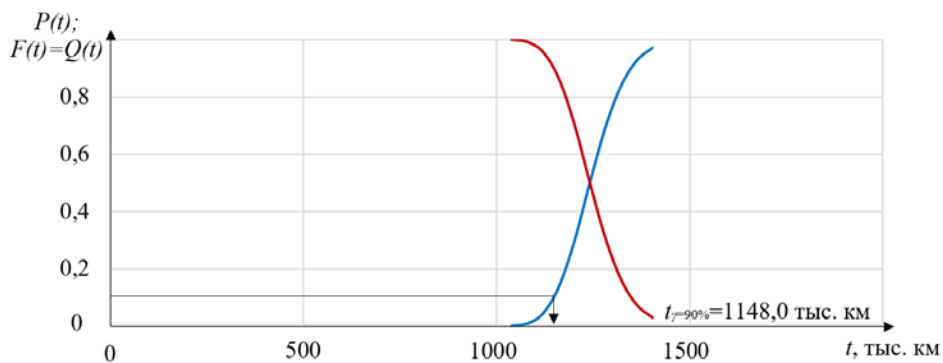


Рис. 6. Функция распределения ресурса диаметра колес вагонов модели 81-766/767

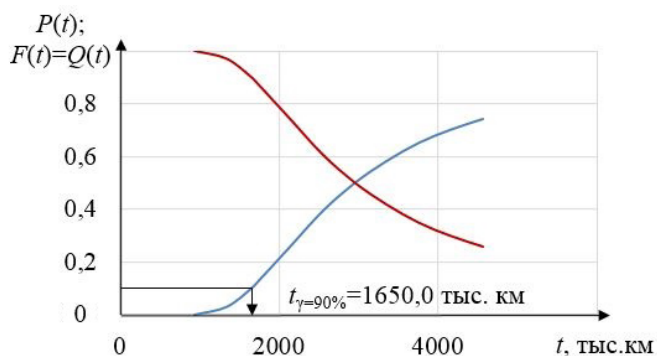


Рис. 7. Функция распределения ресурса колес вагонов модели 81-740/741

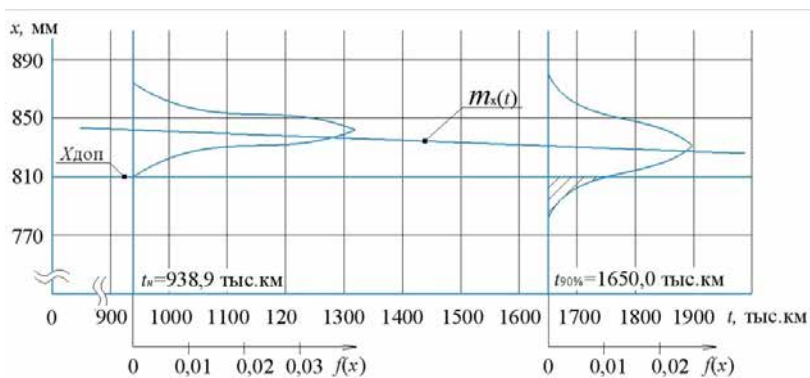


Рис. 8. Функции плотности распределения $f_x(t)$ диаметра колесных пар электропоезда «Русич» модели 81-740/741 при разных наработках

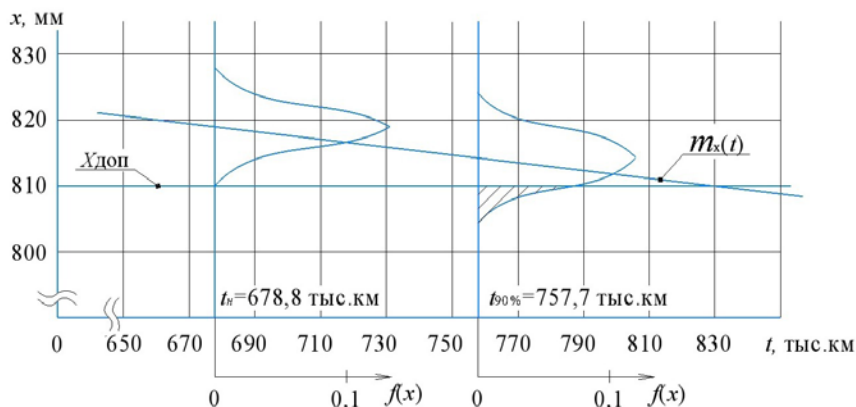


Рис. 9. Функции плотности распределения $f_x(t)$ диаметра колесных пар электропоезда «Москва» модели 81-765 при разных наработках

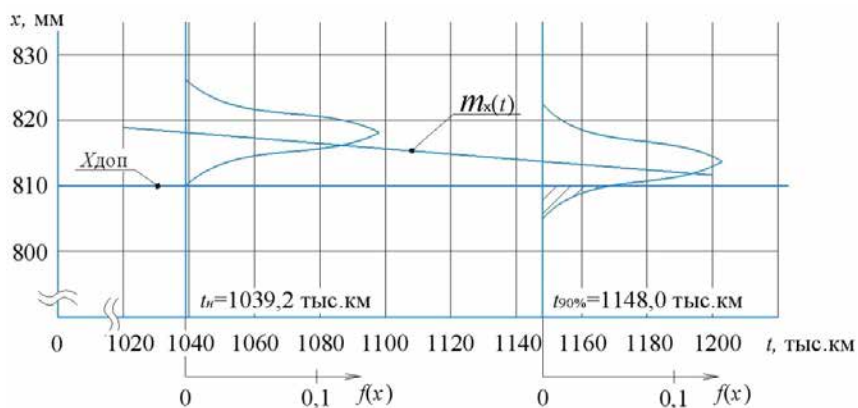


Рис. 10. Функции плотности распределения $f_x(t)$ диаметра колесных пар электропоезда «Москва» модели 81-766/767 при разных наработках

На рис. 10 представлена функция плотности распределения диаметра колесных пар вагонов моделей 81-766/767 электропоезда «Москва».

Полученные расчеты помогают прогнозировать процессы изнашивания контролируемых параметров, дают представление об изменении ресурса детали или узла, что позволит заранее выявить возможные проблемы, связанные с эксплуатацией подвижного состава, а также обеспечить необходимый запас деталей и оборудования для проведения предстоящего планового ремонта [6].

Выводы

Анализ износа колесных пар в процессе эксплуатации электропоездов серии 81-765/766/767 «Москва» показал, что 90%-ный ресурс обода колес вагонов модели 81-766/767 составляет 1148 тыс. км, что по пробегу соответствует второму подъемочному ремонту (ПДР-2 1120 ± 60 тыс. км). Смену колесных пар для вагонов данного типа целесообразно производить при проведении второго подъемочного ремонта.

Для вагонов модели 81-765 (головные вагоны) 90%-ный ресурс обода колес

составляет 758 тыс. км. Однако при существующей структуре ремонтного цикла первый подъемочный ремонт (ПДР-1) проводится на пробеге 560 ± 30 тыс. км от начала эксплуатации, а следующий подъемочный ремонт (ПДР-2) проводится на пробеге 1120 ± 60 тыс. км, что по километражу превышает 90%-ный ресурс обода колесных пар; смену колесных пар головных вагонов целесообразно производить при ПДР-1, а демонтированные колесные пары с остаточным ресурсом использовать в качестве неснижаемого запаса для случайного ремонта электропоездов «Москва».

Для вагонов 81-740/741 «Русич» 90%-ный ресурс обода колес (все ваго-

ны моторные) составляет 1650 тыс. км. Ресурс колесных пар по диаметру обода лимитирует межремонтный пробег до проведения первого подъемочного ремонта (ТР-3 480 ± 20 тыс. км) и среднего ремонта (960 ± 40 тыс. км). Следует скорректировать структуру ремонтного цикла электропоездов «Русич».

Таким образом, расчет и анализ показателей долговечности колесных пар электропоездов позволяют повысить безопасность движения и скорректировать систему ремонта с целью преждевременного выявления дефектов колесных пар. ■

Литература

1. Шутов Д. С., Воробьев А. А. Анализ надежности колесных пар электропоездов в серии 81-740/741 «Русич». Электрооборудование: эксплуатация и ремонт № 1. 2021. – 2021. – № 1 – С. 14–20. ISSN 2074-9635.
2. Бирюков И. В., Савоскин А. Н., Бурчак Г. П. Механическая часть подвижного состава : учебник для вузов ж.-д. трансп. / под ред. И. В. Бирюкова. – М. : Транспорт. – 1992. – 177 с. ISBN 5-277-01136-6.
3. Горский А. В., Воробьев А. А., Лакин И. К., Володин С. В. Анализ процесса изнашивания и определение ресурса узлов электроподвижного состава : Учебное пособие по дисциплине «Эксплуатация и ремонт ЭПС». – М. : МИИТ, 2001. – 35 с.
4. Просветов Г. И. Теория вероятностей и математическая статистика: задачи и решения. – М. : Альфа-Пресс, 2009. – С. 203–216. ISBN 978-5-94280-418-3.
5. Воробьев А. А., Горский А. В., Скребков А. В., Шутов Д. С. Расчет показателей надежности тягового подвижного состава : Учебное пособие. – М. : РУТ (МИИТ), 2019. – 111 с.
6. Горский А. В., Воробьев А. А., Скребков А. В. Расчет параметров системы ремонта тягового подвижного состава : Методические указания к выполнению курсовой работы по дисциплине «Эксплуатация и техническое обслуживание подвижного состава». – М. : МИИТ, 2014. – 31 с.

List of references

1. Shutov D. S., Vorob'yov A. A. Reliability analysis of wheel sets of electric trains in the series 81-740/741 «Rusich». Electrical equipment: operation and repair. № 1. 2021. [Analiz nadezhnosti kolesnykh par ehlektropoezdov v serii 81-740/741 «Rusich». Ehlektrooborudovanie: ehkspluatatsiya i remont № 1. 2021.] – 2021. – № 1 – Pp. 14–20. ISSN 2074-9635.
2. Biryukov I. V., Savoskin A. N., Burchak G. P. Mechanical part of rolling stock : textbook for universities of railway transport / edited by I. V. Biryukov. [Mekhanicheskaya chast' podvizhnogo sostava : uchebnik dlya vuzov zh.-d. transp. / pod red. I. V. Biryukova.] – M. : Transport. – 1992. – 177 p. ISBN 5-277-01136-6.
3. Gorsky A. V., Vorobyov A. A., Lakin I. K., Volodin S. V. Analysis of the wear process and determination of the resource of electric rolling stock units : Textbook on the discipline «Operation and repair of ERS». [Analiz protsesssa iznashivaniya i opredelenie resursa uzlov ehlektropodvizhnogo sostava : Uchebnoe posobie po distsipline «Ehkspluatatsiya i remont EhPS». – M. : MIIT] – M. : MIIT, 2001. – 35 p.
4. Prosvetov G. I. Probability theory and mathematical statistics: problems and solutions. [Teoriya veroyatnostej i matematicheskaya statistika: zadachi i resheniya.] – M. : Alfa-Press, 2009. – Pp. 203–216. ISBN 978-5-94280-418-3.

5. Vorobyov A. A., Gorsky A. V., Skrebkov A. V., Shutov D. S. Calculation of reliability indicators of traction rolling stock : Textbook. [Raschet pokazatelej nadezhnosti tyagovogo podvizhnogo sostava : Uchebnoe posobie.] – M. : RUT (MIIT), 2019. – 111 p.
6. Gorsky A. V., Vorobyov A. A., Skrebkov A. V. Calculation of parameters of the traction rolling stock repair system : Methodological guidelines for the course work on the discipline «Operation and maintenance of rolling stock». [Raschet parametrov sistemy remonta tyagovogo podvizhnogo sostava : Metodicheskie ukazaniya k vypolneniyu kursovoj raboty po distsipline «Ehkspluatatsiya i tekhnicheskoe obsluzhivanie podvizhnogo sostava».] – M. : MIIT, 2014. – 31 p.

Статья сдана в редакцию 29 августа 2021 года

Управление в технических системах

УДК 539.43:620.178.3

Р. В. Гучинский, С. В. Петинов

Неопределенности в оценке усталости конструкций при проектировании и эксплуатации

UDC 539.43:620.178.3

R. V. Guchinsky, S. V. Petinov

Uncertainties in fatigue assessment of structures in design and in service

Аннотация

Правила расчета усталости конструкций мостов, судов, транспортных и других сооружений, подвергающихся значительным переменным нагрузкам во время эксплуатации, сопровождаются рядом неопределенностей. При расчетах на усталость конструкций на этапе оценки эксплуатационной нагрузки вносятся существенные погрешности. Нагрузки на сооружения могут зависеть от экономической ситуации, например, движения по мостам в течение назначенного срока службы, изменений пассажиропотока, которые влияют на загруженность городского транспорта и т. д. Эти неопределенности сопровождают процесс проектирования, поскольку условия нагружения в сроке службы конструкции прогнозируются приблизительно, в основном с учетом накопленного опыта эксплуатации.

Помимо этого, имеются неопределенности в существующей методологии оценки усталости конструкций, заложенные в специфике S-N критериев для усталости и подходов к применению критериев при оценке усталостных повреждений. Несмотря на то, что ряд неопределенностей в текущих процедурах оценки усталости конструкций обсуждается в течение многих лет, подходы к расчету существенно не меняются.

Среди силовых подходов, основанных на применении S-N кривых, выделяют три основных типа. Во-первых, подход номинальных напряжений, представляющий набор S-N кривых для типовых сварных соединений и деталей конструкций, в которых усталостная долговечность зависит от номинального напряжения, соответствующего критической области. Во-вторых, подход напряжений в горячей точке, где выбраны S-N кривые приведены для основного материала и материала сварного шва, в этом случае напряжение в горячей точке ассоциируется с геометрическими особенностями соединения

The article is recommended for publishing V. S. Kolokolnikov, Candidate Techn. sciences, assistant professor of Ural State University of Railways. E-mail: VKolokolnikov@usurt.ru.

Руслан Валерьевич Гучинский, канд. техн. наук, эксперт бюро кузовов ООО «ТМХ Инжиниринг»; с.н.с. лаборатории прикладных исследований, ИПМаш РАН. E-mail: ruslan239@mail.ru.

Сергей Владимирович Петинов, д-р техн. наук, проф., зав. лабораторией численных моделей механики материалов и конструкций, ИПМаш РАН. E-mail: spetinov@mail.ru.

The article is recommended for publishing V. S. Kolokolnikov, Candidate Techn. sciences, assistant professor of Ural State University of Railways. E-mail: VKolokolnikov@usurt.ru.

Ruslan Valeryevich Guchinsky, Candidate of technical sciences, Expert of the Bureau of Bodies, TMH Engineering LLC; Senior Researcher, Laboratory of Applied Research, IPMash RAS. E-mail: ruslan239@mail.ru.

Sergey Vladimirovich Petinov, Doctor of technical sciences, Prof., Head of Laboratory of Numerical models of Mechanics of materials and structures, IPMash RAS. E-mail: spetinov@mail.ru.

и определяется с применением метода конечных элементов. В-третьих, подход пиковых напряжений, в котором также используются S-N кривые для материалов основного и наплавленного металла, но локальное напряжение рассчитывается с учетом формы детали и рассматриваемого сварного шва с подробным моделированием геометрии критической области, подошвы сварного шва.

Подходы напряжения в горячей точке и пиковых напряжениях предполагают линейное преобразование номинального напряжения, линейно-упругое поведение материала в области концентрации напряжений. При этом локальное циклическое упругопластическое деформирование материала не учитывается. Однако неучет циклической пластичности материала даже при умеренной концентрации напряжений приводит к некоторому занижению оцениваемых усталостных повреждений конструкций. Еще одним источником неопределенности в оценке усталостных свойств является несоответствие между размером и характером усталостных повреждений в типовых образцах для испытаний с целью получения S-N кривых и в рассматриваемых областях конструкции.

Кроме того, в методологии оценки усталости важно, что номинальное напряжение во многих деталях реальных конструкций, обнаруживающих усталостное повреждение и раннее появление трещин, практически не изменяется из-за резервирования конструкций при подрастании трещин. Образование трещины ведет к резкой релаксации напряжений и зачастую к пе-

рераспределению усилий на окружающие трещину конструкции. Это означает, что области высокой концентрации напряжений контролируются в большей степени перемещениями, чем усилиями. Этот тезис, основанный на многочисленных экспериментальных наблюдениях, приводит к выводу, что испытания образцов для определения характеристик усталости материала должны проводиться при постоянных пределах перемещений захватов испытательной машины.

По результатам работы сделаны следующие выводы. Местное напряжение в области концентрации в соответствии с принятыми подходами напряжений в горячей точке и пиковых напряжений определяется из предположения о линейно-упругом поведении материала во всем диапазоне эксплуатационных нагрузок. Усталостные испытания типовых образцов, проводимые до почти полного разрушения, включают начальное накопление повреждений в структуре материала, зарождение и рост трещины. Состояние повреждения конструкции в конечно-элементных моделях на основании испытаний образцов оценивается неопределенно. Предполагается, что расчетные S-N кривые единообразно характеризуют сопротивление усталости низкоуглеродистых и высокопрочных сталей и соответствующих сварных соединений, хотя сопротивление усталости основного материала для разных конструктивных сталей отличается. Повреждающее действие средних напряжений цикла, в том числе остаточных сварочных напряжений, проявляется в основном в фазе роста трещины.

При испытаниях образцов с отнулевым циклом нагружения эти напряжения не могут быть должным образом учтены в используемых подходах.

В качестве мероприятий по совершенствованию методики расчета усталости предлагается испытания образцов проводить в условиях контроля размаха перемещений до зарождения макроскопической трещины (контролируемой, например, методом падения потенциала). Также рекомендуется различать механические свойства материалов при планировании, проведении испытаний на усталость, анализе результатов и построении S-N кривых.

Особое внимание следует уделять влиянию среднего напряжения цикла и остаточных сварочных напряжений при оценке остаточного ресурса конструкций.

Ключевые слова: усталость, разрушение, сварное соединение, МКЭ, остаточные сварочные напряжения.
DOI: 10.20291/2079-0392-2021-4-35-44

Abstract

The rules for calculating the fatigue of bridge structures, ships, transport and other structures subjected to significant variable loads during operation are accompanied by a number of uncertainties. When calculating the fatigue of structures at the stage of assessing the operational load, significant errors are introduced. Loads on structures may depend on the economic situation, for example, traffic on bridges during the designated service life, changes in passenger traffic that affect the congestion of urban transport, etc. These uncertainties accompany the design process, since loading conditions in the

service life of the structure are predicted approximately, mainly taking into account the accumulated operational experience.

In addition, there are uncertainties in the existing methodology for assessing structural fatigue, embedded in the specifics of the S-N criteria for fatigue and approaches to the application of criteria for assessing fatigue damage. Despite the fact that a number of uncertainties in the current procedures for assessing structural fatigue have been discussed for many years, approaches to calculation do not change significantly.

Among the power approaches based on the use of S-N curves, there are three main types. Firstly, the nominal stress approach, which represents a set of S-N curves for typical welded joints and structural parts in which fatigue life depends on the nominal stress corresponding to the critical region. Secondly, the approach of stresses at the hot spot, where the selected S-N curves are given for the main material and the weld material, in this case, the stress at the hot spot is associated with geometric features of the joint and is determined using the finite element method. Thirdly, the peak stress approach, which also uses S-N curves for the base and deposited metal materials, but the local stress is calculated taking into account the shape of the part and the weld in question with detailed modeling of geometry of the critical area, the weld sole.

The approaches of stress at the hot spot and peak stresses assume linear transformation of the nominal voltage, linear elastic behavior of the material in the stress concentration area. In this case,

the local cyclic elastic-plastic deformation of the material is not taken into account. However, failure to take into account the cyclic plasticity of the material, even with moderate stress concentration, leads to some underestimation of the estimated fatigue damage to structures. Another source of uncertainty in evaluation of fatigue properties is discrepancy between the size and nature of fatigue damage in standard test samples for the purpose of obtaining S-N curves and in the design areas under consideration.

In addition, in methodology of fatigue assessment, it is important that the nominal stress in many parts of real structures that detect fatigue damage and the early appearance of cracks practically is not changed due to redundancy of structures during the growth of cracks. The formation of a crack leads to sharp relaxation of stresses and often to redistribution of efforts to the structures surrounding the crack. This means that areas of high stress concentration are controlled more by movements than by efforts. This thesis, based on numerous experimental observations, leads to the conclusion that testing samples to determine the fatigue characteristics of the material. In addition, in the methodology of fatigue assessment, it is important that the nominal stress in many parts of real structures that detect fatigue damage and the early appearance of cracks practically does not change due to the redundancy of structures during the growth of cracks. The formation of a crack leads to a sharp relaxation of stresses and often to a redistribution of efforts to the structures surrounding the crack.

This means that areas of high stress concentration are controlled more by movements than by efforts. This thesis, based on numerous experimental observations, leads to the conclusion that tests of samples to determine the fatigue characteristics of the material should be carried out within constant limits of movement of the testing machine grips.

Based on the results of the work, the following conclusions were made. The local stress in the concentration area in accordance with the currently accepted approaches of stresses at the hot spot and peak stresses is determined from the assumption of linear elastic behavior of the material over the entire range of operational loads. Fatigue tests of standard samples carried out until almost complete destruction include the initial accumulation of damage in the structure of the material, the origin and growth of the crack. The condition of structural damage in finite element models based on sample tests is estimated indefinitely. It is assumed that the calculated S-N curves uniformly characterize the fatigue resistance of low-carbon and high-strength steels and the corresponding welded joints, although the fatigue resistance of the base material differs for different structural steels. The damaging effect of medium cycle stresses, including residual welding stresses, is manifested mainly in the phase of crack growth. When testing samples with a zero loading cycle, these stresses cannot be properly taken into account in the approaches used.

As measures to improve fatigue calculation methods, it is proposed to test samples under conditions of control of the displacement range before

the origin of a macroscopic crack (controlled, for example, by the potential drop method). It is also recommended to distinguish between the me-

chanical properties of materials when planning, conducting fatigue tests, analyzing the results and constructing S-N curves.

Keywords: fatigue, fracture, welded joint, FEM, residual welding stresses.

DOI: 10.20291/2079-0392-2021-4-35-44

Introduction

Fatigue design and in-service reliability assessment of welded structures subjected to alternating loading are accompanied with a series of uncertainties. In fatigue design of structures, in particular, substantial uncertainties are introduced in the service loading evaluation phase since it depends on the economical developments, e.g., traffic over the bridges in the proposed service life, climate changes, which would cause, e.g., changes in the wave climate over the planned ship routes, etc. These uncertainties barely can be avoided in design since the loading conditions in the future service life of a structure are predicted, if any, rather approximately, mostly considering the past experience and accumulated information.

The in-service strength and reliability assessment of structures in many applications may be supported by automated monitoring of structural response (e.g., through continuous measurement and analysis of necessary parameters) which allows refinement of the in-service excitations.

Along with this, there are uncertainties in current methodology of the structural fatigue evaluation built into specifics of the S-N criteria for fatigue and approaches, the means of the criteria application in the fatigue damage evaluation. These are the Nominal stress approach presenting the set of S-N curves for typified welded joints and structural details in which fatigue life depends on the nominal stress specified at a «critical location», the Hot-spot stress approach where selected S-N curves are given for the base and welded joint materials, in which «structural stress» attributed to the detail shape has to be computed by applying the finite element

facilities and the Notch-stress approach in which S-N curves are given too, for the base and welded joint materials, but the local stress has to be computed considering the shape of the detail and the weld under consideration with due attention to geometry of the «critical location», i.e. the weld toe ([1–3], etc.). The uncertainties specific of the data base, S-N curves, and the approaches are discussed and the means of feasible improvements of the current methodologies are suggested.

Uncertainties overview

Fatigue design and in-service assessment of welded structures subjected to alternating loading presently are based mostly on application of the S-N criteria for fatigue (Number of load cycles prior to failure vs applied stress ranges) covering the range 10^4 – 10^8 of load fluctuations ([4, 5], etc.). The S-N criteria differ in versions specific by considering effects of the stress concentration and welded joints in structural components. These are the Nominal stress approach, the Hot-spot stress approach and the Notch-stress approach.

Fig. 1 illustrates the principles of evaluation characteristic stresses for application either of the approaches in a structural detail (e.g. the bracket ending at the flange of longitudinal stiffener of a panel structure) for fatigue assessment purposes.

Application of the approaches, apart from the Nominal stress one when the beam theory may be used to calculate the appropriate stress, presumes the stress field evaluation of the particular structural detail by the means of finite-element techniques. Respectively, application of the Hot-spot stress and the Notch stress approaches needs in

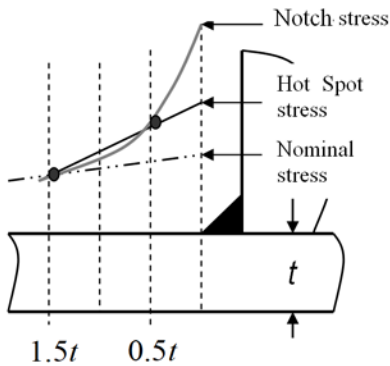


Fig. 1. Characteristic stress evaluation at a welded joint

development of different FE meshes at the affected location of a considered detail, i.e. at the weld toe.

In Fig. 2 a welded structural detail composed of shell stiffeners and a bracket in ship structure and respective Hot-Spot stress and Notch-Stress FE-models are shown [6].

According the Hot-Spot stress approach the FE mesh at a considered critical location is designed following the principle $t \times t$, where t is the thickness of the affected component, in the example – the longitudinal beam flange thickness, and the characteristic stress is obtained by extrapolation of stresses at the element's centroids to the weld toe (Fig. 1). By this, the local stress elevation is deemed attributed to the detail geometry, but effect of the weld material shape is assumed reflected in the respective S-N

curve resulting from testing specimens with the butt-welded joint.

The Notch-stress approach requires essentially finer FE mesh, the sizes of elements at the critical location, at the weld toe assumed radiused by 1 mm, must be 0.25 of this radius. By this, the local stress elevation is regarded calculated considering for the detail and the weld geometry effects. Recommendations for selection appropriate types of FE are given in [1, 2], etc.

Although for years a series of uncertainties in current procedures of assessment fatigue properties of structures was being discussed (e.g., [7–9], etc.), the progress may not be regarded substantial and some of those remain the matter of discussion.

Firstly, the Hot-spot stress and Notch (Local) stress approaches presume linear transformation of the nominal stress, linear elastic behavior of material at a stress concentration, critical location. By this, the material cyclic plasticity is neglected.

When inelastic behavior is observed in cyclic loading tests, e.g. like in case of 09G2 structural steel (Fig. 3), it may be concluded that up to the stress range around of 300 MPa the material behavior may be assumed elastic (at a Hot-spot or Notch stress locations) and the material cyclic plasticity, seemingly, which may be expected at occasional intensive service loadings (as seen also from the Hot-spot S-N curves), may be regarded insignificant

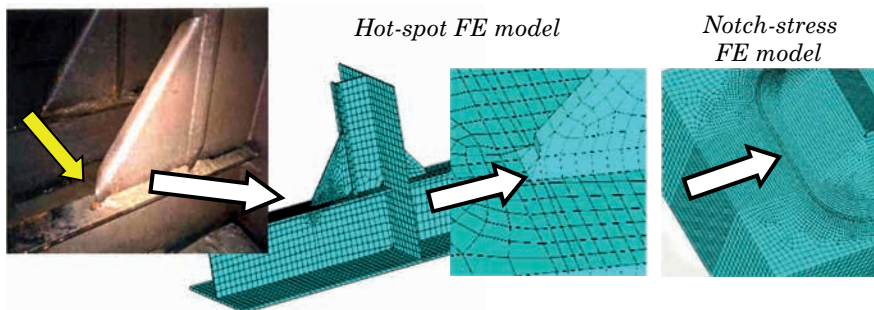


Fig. 2. Structural detail and examples of FE meshes at the weld ending designed for application of the Hot-Spot and the Notch-Stress approaches [6]

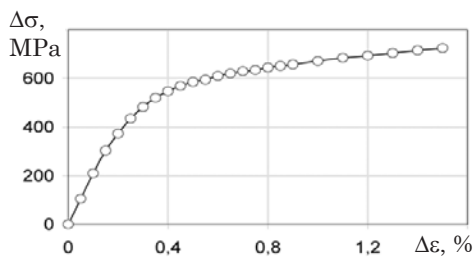


Fig. 3. Generalized cyclic curve of the 09G2 steel

in estimating the accumulated fatigue damage and reliability of a considered detail.

However, in irregular loading successions material plasticity and microplasticity developments and progress substantially change from that in cyclic loading, depending on the current load peaks sequences, e.g. from high to low, or from low to high, essentially reducing elastic strain range – it was observed from early in 60-ies ([10, 11], etc.).

Also, the damaging effects of stress amplitudes below the conventional fatigue

limit stress lately were established caused by the material microplasticity in service loading histories which were considered by the «two-slope» shape of S-N curves and by introducing the «cut-off» fatigue limit stress (if any), substantially lower than the conventional one (Fig. 4) [5].

All in all, it may be concluded that neglecting material cyclic plasticity even at moderate stress concentration would result in overestimation of fatigue damage of affected details. Another source of uncertainty in the assessment of fatigue properties of structural details is the mismatch between the size and specifics of fatigue damage in classed specimens for testing and affected locations in structure.

Early in 1980-ies the IIW experts recommended the dimensions of test specimens with welded joints which would provide retention of the residual welding stress, close to that in actual welded details, and respective effect on the fatigue resistance. Also, the results of tests of standardized specimens include effects of the joint shape, diversity of

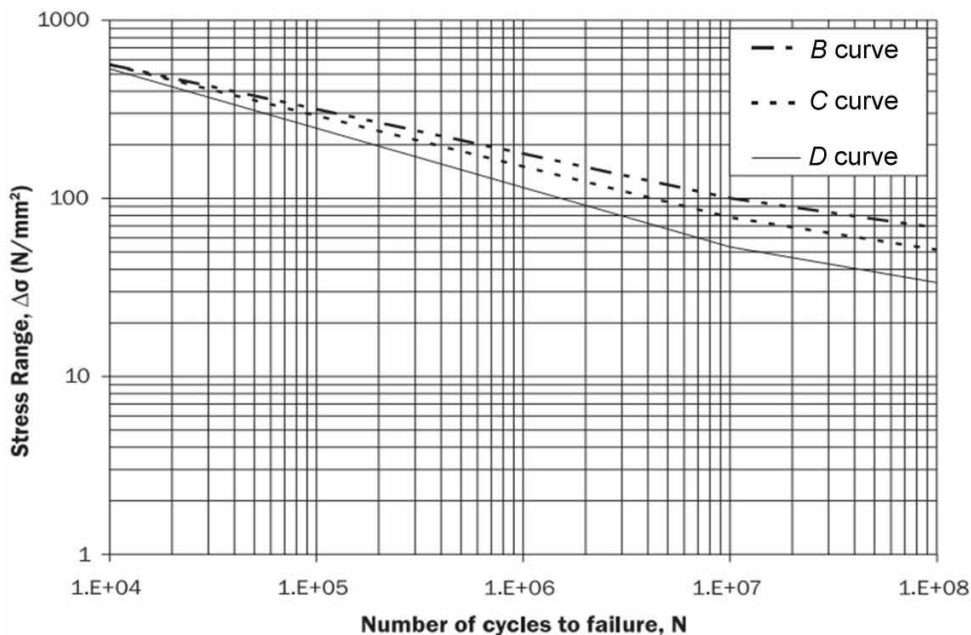


Fig. 4. Basic design S-N curves, in-air environment [5]

B – base material, surface finishing, protection from corrosion; *C* – base material, non-welded locations, likelihood of surface damages from corrosion, wear; *D* – welded joints

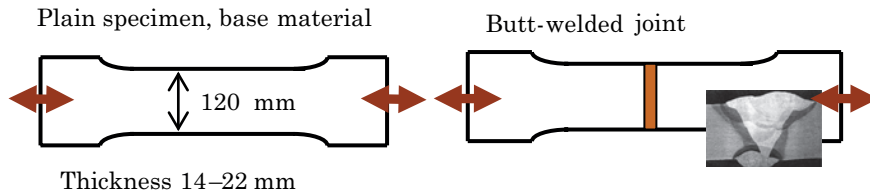


Fig. 5. Standard classed (IIW) test specimens

material structure of the joint (i.e., the crack initiation in the fusion zone, then propagation through the heat-affected zone (HAZ) into the parent material, etc.). For example, the plain specimen representing base material and specimen with butt-welded joint (representing welded joints) are shown in Fig. 5.

Furthermore, standard specimens (cut from 14–22 mm thick plate, 120–140 mm wide) are tested for evaluation the S-N criteria parameters under cyclic tensile loading (compression excluded to avoid buckling) practically until almost complete failure, «separation into two parts». Respectively, the test result includes the time (the number of cycles) of the crack initiation and the number of the crack growth cycles until the test termination (Fig. 6). However, the crack size related to the test termination is not specified, and under pre-established limits of the load cycle the nominal stress in specimen with the crack extensions increases until almost onset of the critical condition.

When the fatigue design or the in-service damage assessment are carried out, the above specimens test data are applied sequentially to series of finite elements in the respective FE-model of the affected structural detail, e.g. (see Fig. 2). It means, that the result of testing specimens, say, 22 mm thick and 140 mm wide is applied to characterize failure of a volume t^3 (t – thickness of the affected component) – in case of the Hot-Spot Stress approach application, or of the volume 0.25 mm^3 – if the Notch Stress technique is used. By this, the scale of the processes identity by far is not followed up.

Also, substantial for the fatigue evaluation techniques and methodology, as mentioned in above, is that the nominal stress in many applications, structural details, exhibiting fatigue damage and early crack extensions practically does not change due to redundancy of structures which means that in the stress concentration locations of structural details loading conditions are displacement controlled, not the

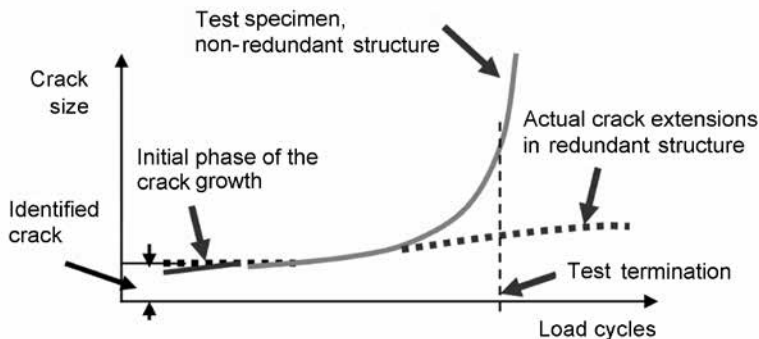


Fig. 6. Specifics of the fatigue progress in test specimen and in actual detail of a redundant structure

load controlled ones (see Fig. 6). This understanding based on numerous experimental observations, results in conclusion that testing of specimens aimed at characterization of fatigue properties of a material must be carried out at constant limits of displacements of the testing machine grips.

Special attention, as mentioned above, is paid to the effects of residual welding stress in assessment the fatigue properties of structural details. As said in above, the fatigue behavior of welded components depends not only on the applied load parameters and specifics of residual welding stress at the crack initiation location, but also on mechanical properties of weld material, fusion zone, heat affected zone and parent material in the course of the crack initiation and growth.

Fig.7 shows standard specimen with welded attachment and experimentally

obtained residual welding stress in a cross section ahead of the weld ending [12].

Application of cyclic loading and progress of the damage causes change (relaxation) and redistribution of residual welding stress, on the one hand, due to the plasticity and microplasticity of affected volumes of the welded joint materials in the crack initiation phase; on another, in the crack propagation phase residual stress redistribution progresses also (mostly) with the crack extensions on condition of maintaining equilibrium.

Of the many experimental findings the residual welding stress relaxation in a critical location of a welded structural detail in the crack initiation period illustrates Fig. 8 [13]. As seen, after application of tensile load in a series of cyclic loadings the residual stress rapidly drops down. Accordingly this and many other investigations residual welding

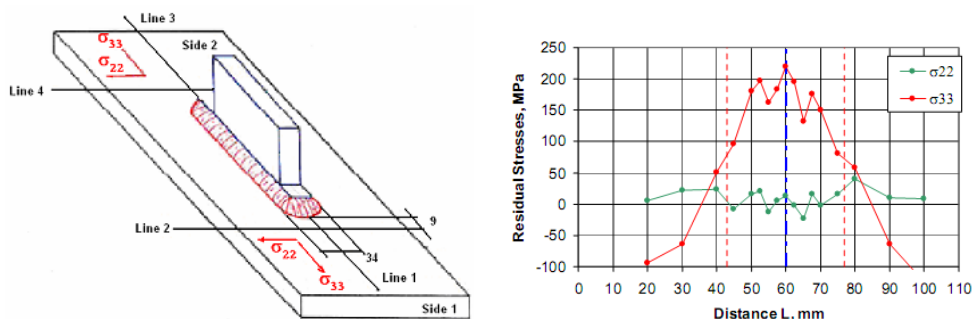


Fig. 7. Typical specimen with welded attachment and residual welding stress distribution (Section indicated «Line 2»), MPa [12]

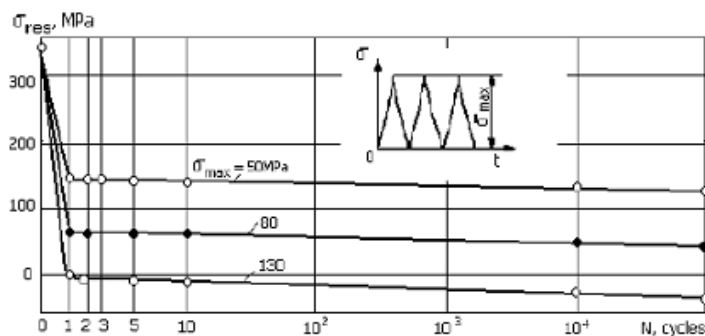


Fig. 8. Residual stress relaxation in the stress concentration vs applied cyclic stress [13]

stress may be considered mostly in the fatigue crack growth phase, depending on peculiarities of a structural detail affected. Respectively, within the crack initiation phase in a stress concentration the effect of residual welding stress may be neglected.

To conclude, it should be noted that fatigue of structural details may be successfully predicted by applying the results of strain-controlled testing specimens the «work part» of which presents either of, base material, heat-affected zone and weld material [14], as shown, e.g., in [15].

Conclusions

Local stress at critical locations in formats Hot-spot stress and Local stress approach is defined on assumption of the linear elastic behavior of material in the whole range of service stresses.

Fatigue testing of classed specimens being carried out up to almost complete fracture covers, respectively, the damage accumulation in material structure, crack initiation and growth. The state of damage of a structure in FE-models estimated, strictly, occurs uncertain.

It is assumed that the Design S-N curves uniformly characterize fatigue resistance of mild and higher strength steels and of respective welded joints, although fatigue resistance of base material (structural steels) is different.

The damaging effect of the mean and residual welding stress reveals mostly through the crack growth phase; together with the testing of specimens at alternating tensile loading it cannot be properly considered in the present methodology.

The necessary actions

Tests of specimens should be carried out under the displacement range control conditions.

Testing must be carried out until the macroscopic crack initiation (controlled, e.g., by the potential drop technique, etc.).

Mechanical properties of materials should be distinguished in planning, carrying out fatigue testing and analysis of test results and presentation of S-N curves.

Special attention should be paid to effects of mean stress and residual welding stress – within the crack initiation part of the damage. ■

Literature

1. Niemi E., Fricke W., Maddox S.J. Structural Hot-spot Stress Approach to Fatigue Analysis of Welded Components // Designers' Guide. Int. Institute of Welding, IIW-Doc. XIII-WG3-31r1-14. Cambridge, Abington, 2018. 76 p. ISBN 978-981-10-5568-3.
2. Fricke W. Guideline for the Fatigue Assessment by Notch Stress Analysis for Welded Structures // IIW-Doc. XIII-2240r1-08/XV-1289r1-08. Cambridge, Abington, 2008. 38 p.
3. Eurocode 3: Design of Steel Structures. Part 1-9: Fatigue. BS EN 1993-1-9, 2018. 36 p. ISBN 978-3-433-60881-4.
4. Det Norske Veritas. Fatigue Assessment of Ship Structures. Classification Notes № 30.7. Hovik, Norway, 2014. 108 p.
5. IACS Common Structural Rules for Bulk Carriers and Oil Tankers (CSR-H 01 JAN 2019), 2019. 816 p.
6. Afanasyeva I. M., Petinov S. V. Fatigue Assessment of Structures in High-cycle Segment: Technique and Problems / Proc. The XXXVII Int. Summer School-Conference «Advanced Problems in Mechanics»: St. Petersburg, 2010. P. 519–525. ISSN 2312-9921.
7. Petinov S. V., Melnikov B. E. Stress-Life Criteria for Fatigue Assessment of Structures: Advantages and Drawbacks / Proc. The XIV Int. Summer School – Conference «Advanced Problems in Mechanics»: St. Petersburg, 2017. P. 341–350. ISSN 2312-9921.
8. Petinov S. V., Thayamballi A. K. The Application of S-N Curves Considering Mismatch of Stress Concentration between Test Specimen and Structure // Journal of Ship Research, 1999. Vol. 42 (1). P. 29–41. ISSN 224502.
9. Petinov S. V., Reemsnyder H. S., Thayamballi A. K. The Similitude of Fatigue Damage Principle: Application in S-N Curves-based Fatigue Design // G. Marquis and J. Solin

- (eds.) Fatigue Design and Reliability, 1998. Vol. 23. P. 219–228. ISBN 978-0-08-043329-5.
10. Manson S. S. Fatigue: A Complex Problem – Some Simple Approximations // Experimental Mechanics, 1965. Vol. 7 (5). P. 193–226. ISSN 0014-4851.
 11. Petinov S. V. Plastic Strains under Program Low-Cycle Testing // Papers of Leningrad Shipbuilding Institute, 1967. Vol. 99. P. 125–129.
 12. Polezhayeva H. A Study on Residual Stress Distribution and Relaxation in Welded Component / H. Polezhayeva, J.-K. Kang, J.-H. Lee, Y.-S. Yang, Y. Kudryavtsev // International Symposium ISOPE 2010, Beijing, China (2010). P. 282–289. ISBN 978-1–880653–77-7.
 13. Kudryavtsev Y., Kleiman J. Relaxation of Residual Stress under the Action of Fatigue Loading / SEM Annual Conference and Exposition «Experimental Mechanics in Emerging Technologies», Portland, USA, 2001. P. 666–669. ISBN-13 978-0912053745.
 14. Petinov S. V. Crack initiation period of fatigue applied to fatigue life of ship structures / Papers of the Norwegian University of Technology (NTH), 1976. P. 12–26.
 15. Guchinsky R. V., Petinov S. V. Fatigue of fillet-welded joint assessment by the FEA simulation of damage accumulation / Magazine of Civil Engineering, 2011. № 4 (22). P. 5–9. ISSN 2071-0305.

Статья сдана в редакцию 8 октября 2021 года

Публикуется в авторской редакции

А. Н. Опацких

Расчет вертикальных колебаний рельса при учете анизотропии модуля упругости подрельсового основания

UDC 625.143.42+06

A. N. Opatskikh

Calculation of vertical vibrations of the rail taking into account the anisotropy of the elastic modulus of the sub-rail base

Аннотация

В работе представлено решение задачи на основе нелинейных дифференциальных уравнений, описывающих колебание рельса с учетом изменения анизотропии модуля упругости подрельсового основания при перемещении по нему постоянной силы, при этом скорость движения имеет поступательный характер; также найдено значение максимального прогиба рельса (балки).

При решении этой задачи принято допущение, что рельс – это балка, лежащая на упругом анизотропном основании. Также учтена величина модуля упругости, которая имеет зависимость от значения прогиба; с учетом линейной поправки по оси ou учтена поправка второго порядка по оси ox , при этом определен размер прогиба, соответствующий максимальному значению.

Полученные аналитические выражения и численный анализ, учитывающий анизотропию модуля упругости подрельсового основания, позволяют прогнозировать и учитывать величину прогиба при воздействии постоянно действующей силы P , уменьшая удельное сопротивление и энергозатраты.

Описаны общая методика и математические процедуры для прогнозирования и оптимизации величины максимального прогиба при одновременном учете различных факторов переменной жесткости подрельсового основания с учетом линейной поправки, позволяющей установить основные закономерности зависимости эксплуатационных характеристик от анизотропии основания на величину прогиба соответствующему максимальному значению.

Ключевые слова: вертикальные колебания, анизотропия упругой среды, модуль упругости, балка бесконечной длины, постоянная сила, подрельсовое основание, рельс.

DOI: 10.20291/2079-0392-2021-4-45-49

Abstract

The paper presents a solution to the problem based on nonlinear differential equations describing the oscillation of the rail, taking into account the change in the anisotropy of the elastic modulus of the sub-rail base when moving a constant force along it, while the speed of movement is translational; the value of the maximum deflection of the rail (beam) is also found.

When solving this problem, it is assumed that the rail is a beam lying on the elastic anisotropic base. The value of the elastic modulus, which depends on the deflection value, is also taken into account; also, taking into account the linear correction along the ou axis, a second-order correction along the ox axis is taken into account, while the deflection size corresponding to the maximum value is determined.

The obtained analytical expressions and numerical analysis, taking into account the anisotropy of the elastic modulus of the sub-rail base, allows us to predict and consider the amount of deflection under the influence of a constant force P , reducing the resistivity and energy consumption.

The general methodology and mathematical procedures for predicting and optimizing the maximum deflection value are described, considering various factors of variable stiffness of the sub-rail base, taking into account the linear correction, which makes it possible to establish the basic laws of the dependence of operational characteristics on the anisotropy of the base on the deflection value corresponding to the maximum value.

Keywords: vertical oscillations, anisotropy of elastic medium, modulus of elasticity, beam of infinite length, constant force, sub-rail base, rail.

DOI: 10.20291/2079-0392-2021-4-45-49

Статья рекомендована к опубликованию А. В. Елисеевым, канд. техн. наук, доцентом Иркутского государственного университета путей сообщения E-mail: eavsh@ya.ru.

Анастасия Николаевна Опацких, канд. техн. наук, доцент; кафедра «Изыскания, проектирование и строительство железных дорог» Ростовский государственный университет путей сообщения; г. Ростов-на-Дону, Россия. E-mail: opatskih@yandex.ru. ORCID 0000-0002-7370-4012.

The article is recommended for publication by A. V. Eliseev, candidate. Techn. sciences, associate professor of Irkutsk State University of Railways. E-mail: eavsh@ya.ru.

Anastasia Nikolaevna Opatskikh, Candidate of Technical Sciences, Associate Professor; Chair «Research, Design and Construction of Railways» Rostov State University of Railway Transport; Rostov-on-Don, Russia. E-mail: opatskih@yandex.ru. ORCID 0000-0002-7370-4012.

Увеличение нагрузочно-скоростных режимов требует постепенного совершенствования методов расчета железнодорожного пути.

Главный этап исследования рельса как балки бесконечной длины – расчет на прочность балки под воздействием вертикальных сил, которая находится на сплошном упругом основании.

При расчетах необходимо произвести оценку влияния анизотропии основания балки (рельса); во многих публикациях представлен расчет рельса как балки бесконечной длины [1–10].

Увеличение скоростей подвижного состава и нагрузок на оси требует совершенствования методов расчета железнодорожного пути.

Точное решение задачи для рельса как балки бесконечной длины известно для случая, когда модуль упругости и статическая нагрузка постоянны, а также для случая нелинейной зависимости модуля упругости от прогиба рельса.

Повышенный процесс интеграции пути и подвижного состава в области стыка приводит к интенсивному увеличению остаточных деформаций из-за наличия удара, где, как правило, существует ступенька. Аналитическое прогнозирование закономерности варьирования модуля упругости подрельсового основания с учетом анизотропии подрельсового основания при воздействии постоянно движущейся силы на ослабленном участке в области стыка, позволяющее обеспечить отсутствие ступенки, актуально.

В декартовой системе координат $хоу$ (рис. 1) рельс представлен как балка бесконечной длины, расположенная по оси $ох$, при воздействии постоянно движущейся со скоростью v , сила P , направленная по оси $оу$.

При решении задачи учтена нелинейная зависимость модуля упругости от величины прогиба жесткой балки (рельса).

Рассматривается рельс как балка бесконечной длины с учетом анизотропии подрельсового основания и при

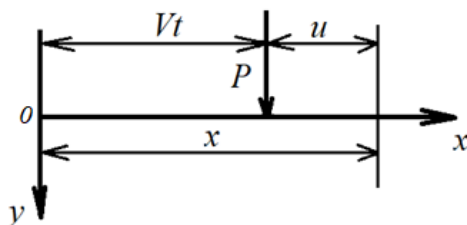


Рис. 1. Схематическое изображение балки (рельса)

воздействию постоянно движущейся силы.

При решении задачи учтена нелинейная зависимость модуля упругости от величины прогиба жесткой балки (рельса).

Решая поставленную задачу, учитываем нелинейное дифференциальное уравнение в частных производных, которое описывает деформацию рельса при варьировании переменной жесткости значения модуля упругости подрельсового основания.

$$EJ \frac{\partial^4 y}{\partial x^4} + N \frac{\partial^2 y}{\partial x^2} + m \frac{\partial^2 y}{\partial t^2} + f \frac{\partial y}{\partial t} + \tilde{u}(y^*, y) y = 0, \quad (1)$$

где y – прогиб рельса; E – модуль упругости рельсовой стали; J – момент инерции рельса относительно оси; t – время; m – распределенная приведенная масса рельса и основания при вертикальном колебании; $\tilde{u}(y^*, y)$ – функция, характеризующая зависимость модуля упругости от величины прогиба; f – распределение по длине демпфирования пути при вертикальных колебаниях.

Функцию $\tilde{u}(y)$ зададим в виде для упрощения решения:

$$\tilde{u}(y) = u^* + \tilde{\alpha}_1 u_1 y + \tilde{\alpha}_2 u_1 y^2. \quad (2)$$

В связи с тем, что движущаяся со скоростью v постоянная нагрузка связана системой координат, для удобства решения переходим к новым переменным.

$$y' = y'(u, t), \quad u = x - vt. \quad (3)$$

В этом случае уравнение (1) при учете формул (2), (3) и движущей силы будем считать постоянной для y_0 , зависящего только от u , x получаем следующее уравнение:

$$EJ \frac{\partial^4 y}{\partial x^4} + mv^2 \frac{\partial^2 y}{\partial x^2} + N^2 \frac{\partial^2 y}{\partial u^2} + u^* [1 + \tilde{\alpha}_1 \varepsilon u^* y + \tilde{\alpha}_2 \varepsilon u^* y^2] = 0. \quad (4)$$

Здесь u^* , u_1 – постоянные величины; $\tilde{\alpha}_1$, $\tilde{\alpha}_2$ – экспериментальные константы; u – абсцисса сечения рельса,

Решение полученных уравнений (4) определяем в виде ряда по степеням малого параметра ε :

$$y = \sum_{k=0}^n \varepsilon^k y_k(u, t). \quad (5)$$

В случае нулевого и первого приближения уравнение (4) с учетом (5) примет вид:

$$EJ \frac{\partial^4 y_0}{\partial u^4} + mv^2 \frac{\partial^2 y_0}{\partial u^2} + N \frac{\partial^2 y_0}{\partial u^2} + u^* y_0 = 0, \quad (6)$$

$$EJ \frac{\partial^4 y_1}{\partial u^4} + (mv^2 + N) \frac{\partial^2 y_1}{\partial u^2} + u^* y_1 = -\alpha_0 y_0^2 - \alpha_1 y_0^3, \quad (7)$$

где $\alpha_0 = \tilde{\alpha}_1 u^*$, $\alpha_1 = \tilde{\alpha}_2 u^*$ с соответствующими граничными условиями:

$$y_{0+}|_{u=0} = y_{0-}|_{u=0}; \quad y'_{0+}|_{u=0} = y'_{0-}|_{u=0}; \quad y_{+0} \rightarrow 0$$

в случае $u \rightarrow +\infty$,

$y_{-0} \rightarrow 0$ в случае $x \rightarrow -\infty$;

$$y''_{+0}|_{u=0} = y''_{-0}|_{u=0}; \quad y'''_{+0}|_{u=0} = y'''_{-0}|_{u=0} = \frac{P}{EJ}, \quad (8)$$

$$y_{1+}|_{u=0} = y_{1-}|_{u=0}; \quad y'_{1+}|_{u=0} = y'_{1-}|_{u=0} = 0,$$

$y_{1+} \rightarrow 0$ в случае $u \rightarrow +\infty$,

$y_{1-} \rightarrow 0$ в случае $x \rightarrow -\infty$;

$$y''_{1+}|_{u=0} = y''_{1-}|_{u=0}; \quad y'''_{1+}|_{u=0} = y'''_{1-}|_{u=0} = \frac{P}{EJ}, \quad (9)$$

в случае $u \leq 0$, $y_0 = y_{0-}$, $y_1 = y_{1-}$, и $u \geq 0$, $y_0 = y_{0+}$, $y_1 = y_{1+}$.

Тогда общее решение системы уравнений (6) в случае $u \leq 0$ и $u \geq 0$ запишем в виде:

$$y_{0+} = e^{-\alpha u} (c_1 \cos \beta u + c_2 \sin \beta u), \\ y_{0-} = e^{-\alpha u} (c_1 \cos \beta u - c_2 \sin \beta u), \quad (10)$$

где

$$\alpha = \sqrt{\frac{u^*}{4EJ} - \frac{N + mv^2}{4EJ}}, \\ \beta = \sqrt{\frac{u^*}{4EJ} + \frac{N + mv^2}{4EJ}}.$$

$$c_1 = \frac{\beta P}{\alpha EJ (4\alpha^2 \beta + 4\beta^3)},$$

$$c_2 = \frac{P}{EJ (4\alpha^2 \beta + 4\beta^3)}.$$

С точностью до членов $o(\varepsilon^2)$ общее решение системы уравнений (7):

$$y_{1+} = e^{-\alpha u} (c_1 \cos \beta u + c_2 \sin \beta u) + \\ + \varepsilon [e^{-\alpha u} (\tilde{c}_1 \cos \beta \alpha + \tilde{c}_2 \sin \beta u) + \\ + D_1 e^{-2\alpha u} + D_2 e^{-3\alpha u}], \\ y_{1-} = e^{\alpha u} (c_1 \cos \beta u + c_2 \sin \beta u) + \\ + \varepsilon [e^{\alpha u} (\tilde{c}_1 \cos \beta \alpha - \tilde{c}_2 \sin \beta u) + \\ + D_1 e^{2\alpha u} + D_2 e^{3\alpha u}],$$

где

$$D_1 = \frac{-\alpha_0 (c_1^2 + c_2^2)}{EJ \left[16\alpha^4 + \frac{mv^2 + N}{EJ} 4\alpha^2 + \frac{u^*}{EJ} \right]},$$

$$D_2 = \frac{-\alpha_1 (c_1^2 + c_2^2) \sqrt{c_1^2 + c_2^2}}{EJ \left[81\alpha^4 + \frac{mv^2 + N}{EJ} 9\alpha^2 + \frac{u^*}{EJ} \right]}.$$

$$\tilde{c}_1 = \frac{6\beta^2 D_1 + 18\beta^2 D_2 - 6\alpha^2 D_2 - 4\alpha^2 D_1 - 2D_1 - 3D_2}{2(\alpha^2 + \beta^2)},$$

$$\tilde{c}_2 = \frac{6\alpha\beta^2 D_1 + 18\alpha\beta^2 D_2 - 6\alpha^3 D_2 - 4\alpha^3 D_1}{2(\alpha^2 \beta + \beta^3)}.$$

Согласно полученным выражениям, произведем численный анализ,

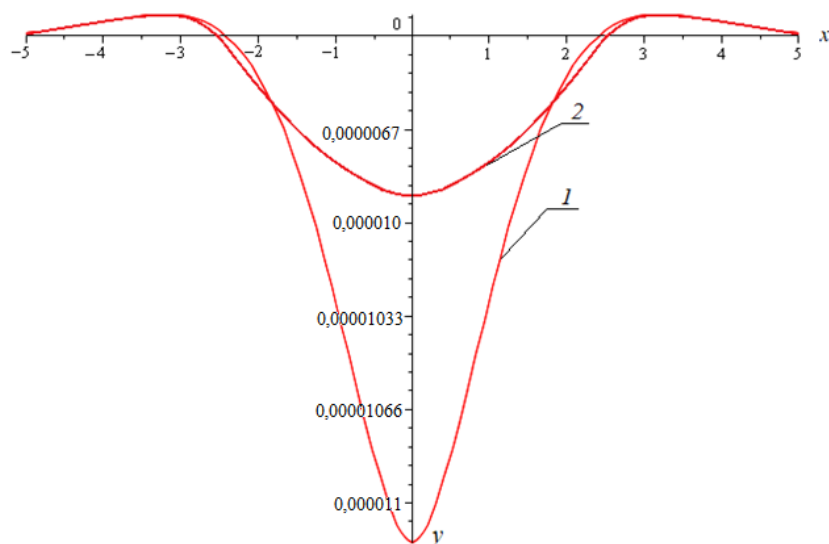


Рис. 2. Зависимость безразмерного прогиба y от x
1 – без учета анизотропии модуля упругости подрельсового основания; 2 – с учетом

приняв следующие значения параметров (рис. 2):

$$\begin{aligned} P &= 15 \text{ т; } u^* = 27 \text{ МПа;} \\ E &= 2,1 \cdot 10^5 \text{ МПа; } \varepsilon = 0,003; \\ L &= 3 \text{ м; } \alpha_0 \rightarrow 0; 0,3; 0,5 \text{ МПа/м;} \\ J &= 35,4 \cdot 10^{-6} \text{ м}^4; \alpha_1 = 0; 0,3; 0,5 \text{ МПа/м}^2. \end{aligned}$$

Выводы

1. Полученная методика расчета вертикальных колебаний рельса с учетом величины переменной жесткости

модуля упругости подрельсового основания с линейной поправкой вдоль оси ou и с поправкой второго порядка вдоль оси ox может применяться для прогнозирования и оптимизации прогиба поверхности катания при движении по рельсу постоянной силы.

2. Численным анализом доказано, что максимальное значение прогиба балки (рельса) при учете анизотропии модуля упругости с линейной поправкой снижается на 9–10 %. ■

Литература

1. Взаимодействие пути и подвижного состава. – М. : Транспорт, 1986. – С. 3–13.
2. Коган А. Я. Вертикальные динамические силы, действующие на путь // Труды ЦНИИ МПС. Вып. 402. – М. : Транспорт, 1969. – 206 с.
3. Замуховский А. В., Меренченко К. В. Экспериментальное обследование участков переменной жесткости // Мир транспорта. 2013. № 3. С. 74–82.
4. Филиппов А. П. Динамическое воздействие подвижных нагрузок на стержни. – Киев : Наукова думка, 1967. – 132 с.
5. Усов Д. А. Моделирование участков переменной жесткости перед искусственными сооружениями // Вестник СГУПС, 2021. № 1. С. 79–85.
6. Стоянович Г. М., Пупатенко В. В., Змеев К. В. Обеспечение стабильности пути в зоне сопряжения искусственных сооружений и земляного полотна // Путь и путевое хозяйство. 2017. № 10. С. 14–17.
7. Гавриленко А. К. Учет жесткости железнодорожного пути. // Путь и путевое хозяйство. 2007. № 4. С. 37–39.
8. Климов В. И., В. В. Рыбкин. Статический расчет пути как балки на опорах с нелинейной жесткостью // Исслед. взаимодействия пути и подвижного состава: межвуз. сб. науч. тр. – Днепропетровск. 1984. Вып. 235/26. С. 3–8.

9. Курган Д. Н. К решению задач расчета пути на прочность с учетом неравноупругости подрельсового основания // Наука та прогрес транспорту. Вісник Дніпропетровського національного університету залізничного транспорту. 2015. № 1 (55). С. 90–99. ISSN 2307-3489 (Print), ISSN 2307-6666 (Online)
10. Ашпиз Е. С. Обоснование нормативов деформативности подрельсового и подпального основания // Мир транспорта. 2012. Т.10.№5. С. 112–119.

List of references

1. Verigo M. F. Interaction of track and rolling stock.. [Vzaimodejstvie puti i podvizhnogo sostava.]. – M. : Transport, 1986. – Pp. 3–13.
2. Kogan A. Ya. Vertical dynamic forces acting on the track // Proceedings of the Central Research Institute of Railway Ministry. Issue 402. [Vertikal'nye dinamicheskie sily, deystvuyushhie na put']// Trudy TSNII MPS. Vyp. 402.] – Moscow: Transport, 1969. 206 c.
3. Zamukhovskiy A. V., Marinchenko K. V. Experimental examination of variable stiffness sites // The world of transport. [Ehksperimental'noe obsledovanie uchastkov peremennoy zhestkosti // Mir transporta.] 2013. № 3. Pp. 74–82.
4. Filippov A. P. Dynamic effect of mobile loads on rods. – Kiev : Naukova dumka [Dinamicheskoe vozdeystvie podvizhnykh nagruzok na sterzhni. – Kiev : Naukova dumka] 1967. – P. 132.
5. Usov D. A. Modeling of areas of variable stiffness in front of artificial structures// Bulletin of the SSURT, [Modelirovanie uchastkov peremennoy zhestkosti pered iskusstvennymi sooruzheniyami// Vestnik SGUPS] 2021. № 1. Pp. 79–85.
6. Stoyanovich G. M., Popatenko V. V., Zmeyev K. V. Ensuring track stability in the interface zone of artificial structures and the roadbed // The way and the track economy. [Obespechenie stabil'nosti puti v zone sopryazheniya iskusstvennykh sooruzhenij i zemlyanogo polotna// Put' i putevoe khozyajstvo.] 2017. № 10. Pp. 14–17.
7. Gavrilenko, A. K. Consideration of the railway track stiffness.// Track and track facilities. [Uchet zhestkosti zheleznodorozhnogo puti. // Put' i putevoe khozyajstvo.] 2007. № 4. Pp. 37–39.
8. Klimov V. I., V. V. Rybkin. Static calculation of the track as a beam on supports with nonlinear stiffness // Research of interactions between track and rolling stock: interuniversity collection of scientific papers [Staticheskij raschet puti kak balki na oporakh s nelinejnoy zhestkost'yu // Issled. vzaimodejstviya puti i podvizhnogo sostava: mezhvuz. sb. nauch. tr.] – Dnepropetrovsk. 1984. Issue 235/26. Pp. 3–8.
9. Kurgan D. N. Solving the issues of calculating the track durability with consideration of non-elasticity of the sub-rail base // Science and progress for transport. Herald of Dnepropetrovsk National University for Railway Transport. [K resheniyu zadach rascheta puti na prochnost' s uchetom neravnouprugosti podrel'sovogo osnovaniya // Nauka ta progres transportu. Visnik Dnipropetrovs'kogo natsional'nogo universitetu zaliznichnogo transportu.]. – 2015. № 1 (55). С. 90–99. ISSN 2307-3489 (Print), ISSN 2307-6666 (Online).
10. Ashpiz E. S. Substantiation of the standards of deformability of the sub-rail and underground foundations // The world of transport. [Obosnovanie normativov deformativnosti podrel'sovogo i podpal'nogo osnovaniya // Mir transporta] 2012. Vol. 10. № 5. Pp. 112–119.

Статья сдана в редакцию 11 октября 2021 года

УДК 336.7

М. Б. Петров, Л. А. Серков, К. Б. Кожов

Имитационная модель обоснования приоритетов развития железнодорожных связей между Уралом и Западной Сибирью

UDC 336.7

M. B. Petrov, L. A. Serkov, K. B. Kozhov

Simulation model of substantiation of priorities for the development of railway links between the Urals and Western Siberia

Аннотация

По мере активизации развития железнодорожной транспортной сети и в условиях ограниченности инвестиционных ресурсов возрастает потребность в более тщательных и учитывающих множество факторов обоснований проектов. Выбор приоритетных решений требует оценки эффективности различных предлагаемых

альтернатив. Особенно это актуально при проектировании новых железнодорожных участков. Именно для этих задач большую роль может играть имитационное моделирование вариантов. В статье рассмотрена имитационная модель на основе агент-ориентированного подхода для изучения пропускной способности новой, проектируемой

в настоящее время железнодорожной связи между Средним Уралом и югом Западной Сибири. Принимается проект участка Тавда – Большесельский, соединяющего кратчайшим маршрутом сеть востока Свердловской области с существующей линией Тюмень – Тобольск. Вариативность пропускных способностей задается параметрами участка (количество

Статья рекомендована к публикации А. Л. Казаковым, д-ром физ.-мат. наук, профессором, главным научным сотрудником Института динамики систем и теории управления СО РАН. E-mail: kazakov@icc.ru.

Михаил Борисович Петров, д-р техн. наук; руководитель Центра развития и размещения производительных сил Института экономики Уральского отделения Российской академии наук; Екатеринбург, Россия. E-mail: michpetrov@mail.ru. ORCID 0000-0002-3043-6302.

Леонид Александрович Серков, канд. физ.-мат. наук, доцент; старший научный сотрудник Центра развития и размещения производительных сил Института экономики Уральского отделения Российской академии наук. Екатеринбург, Россия. E-mail: dsge2012@mail.ru. ORCID 0000-0002-3832-3978.

Константин Борисович Кожов, канд. техн. наук; старший научный сотрудник Центра развития и размещения производительных сил Института экономики Уральского отделения Российской академии наук. Екатеринбург, Россия. E-mail: jefytt11@mail.ru. ORCID 0000-0003-3694-564X.

Исследование выполнено при поддержке гранта РФФИ 20-010-00724 «Оценка и прогноз транспортной доступности и обеспеченности регионов РФ и их влияние на показатели устойчивого пространственного развития».

The article is recommended for publishing by A. L. Kazakov, Doctor of Physical and Mathematical Sciences, Professor, Chief Researcher of the Institute of dynamics of systems and management theory, RAS. E-mail: kazakov@icc.ru.

Mikhail Borisovich Petrov, Doctor of Technical Sciences; Head of the Center for the Development and Placement of Productive Forces of the Institute of Economics of the Ural Department of the Russian Academy of Sciences; Yekaterinburg, Russia. E-mail: michpetrov@mail.ru. ORCID 0000-0002-3043-6302.

Leonid Alexandrovich Serkov, Candidate of Physical and Mathematical Sciences, Associate Professor; Senior researcher at the Center for the Development and Placement of Productive Forces of the Institute of Economics of the Ural Branch of the Russian Academy of Sciences. Yekaterinburg, Russia. E-mail: dsge2012@mail.ru. ORCID 0000-0002-3832-3978.

Konstantin Borisovich Kozhov, Candidate of Technical Sciences; Senior Researcher at the Center for the Development and Placement of Productive Forces of the Institute of Economics of the Ural Branch of the Russian Academy of Sciences. Yekaterinburg, Russia. E-mail: jefytt11@mail.ru. ORCID 0000-0003-3694-564X.

The study was supported by RFBR grant 20-010-00724 «Assessment and forecast of transport accessibility and security of regions of the Russian Federation and their impact on indicators of sustainable spatial development».

и оснащенность промежуточных станций, число главных путей, тип автоблокировки и др.). Рассмотрены различные схемы приемо-отправочных путей на этом участке. Модель изучаемого участка реализована в пакете Anylogic. При моделировании использовано сочетание процессного и агентного механизмов имитации. Полученные результаты могут быть полезным дополнением к обосновывающим материалам при выборе схемы линии. Нарботка опыта построения подобных моделей расширяет и обогащает методики обоснования и проектирования новых участков железных дорог.

Ключевые слова: имитационное моделирование, процессный подход, агентный подход, Anylogic, пропускная способность, железнодорожный транспорт, грузоперевозки.

DOI: 10.20291/2079-0392-2021-4-50-58

Abstract

As the development of the railway transport network intensifies and in conditions of limited investment resources, the need for more thorough and multi-factor justifications of projects increases. The choice of priority solutions requires an assessment of effectiveness of various proposed alternatives. This is especially true when designing new railway sections. It is for these tasks that simulation modeling of variants can play an important role. The article considers a simulation model based on an agent-oriented approach to study the capacity of a new railway connection currently being designed between the Middle Urals and the south of Western Siberia. The project of the Tavda – Bolsheselsky section is being adopted, connecting the network of the east of the Sverdlovsk region with the existing Tyumen – Tobolsk line by the shortest route. The va-

riability of throughput capacities is set by the parameters of the section (the number and equipment of intermediate stations, the number of main tracks, the type of auto-blocking, etc.). Various schemes of receiving and forwarding tracks on this section are considered. The model of the studied area is implemented in the Anylogic package. The simulation uses a combination of process and agent simulation mechanisms. The results obtained can be a useful addition to the substantiating materials when choosing a line scheme. The experience gained in building such models expands and enriches the methods of justification and design of new sections of railways.

Keywords: simulation modeling, process approach, agent approach, Anylogic, throughput, rail transport, cargo transportation.

DOI: 10.20291/2079-0392-2021-4-50-58

Для поддержки начавшихся в стране процессов возрождения и инновационного развития промышленности важно, чтобы возросла доля железнодорожного транспорта в перевозках и грузообороте, критически понизившиеся в обстановке промышленного спада и образования депрессивных территорий. Железные дороги могут обеспечить более высокую экономичность и экологичность массовых грузовых перевозок. Транспортные и внетранспортные эффекты сооружаемых и реконструируемых объектов железнодорожного транспорта – это факторы, обосновывающие выбираемый вариант развития сети. На этапе подготовки обосновывающих материалов часто нет необходимых данных для учета различных факторов. Необходимые оценки могут быть получены путем имитации. При

этом авторы исходят из того, что совершенная имитационная модель является цифровым двойником моделируемого объекта. Сегодня имитационные модели широко используются при решении различных задач в сфере транспорта [1–5]. Среди отечественных разработок в этой области можно отметить, например, разработку имитационной модели логистических проектов [6]. Эти модели показали свою высокую применимость и результативность.

Взятый курс на продвижение цифровизации в различных отраслях заставляет думать о расширении сфер применения цифровых моделей и на железнодорожном транспорте. Цифровые технологии на железной дороге можно подразделить на три большие группы. Первая, традиционная и хорошо освоенная – это технологии управления

движением (управление движением, оперативное планирование, согласованный подвод судовых партий и др.) [7]. Вторая, осваиваемая, представлена новыми технологиями управления ресурсами и потоками. Сюда можно отнести технологии в рамках программы «Умный вагон» (мониторинг положения и состояния вагонов, а также электропневмоторможение на базе автономных генераторов). И третья, к которой примыкает тема нашей статьи, – технологии поддержки принятия решений по развитию железнодорожной сети.

На этом направлении предлагается расширение арсенала методов обоснования и выбора вариантов развития сети с использованием агент-ориентированного моделирования. Для построения модели в настоящей работе выполнен имитационный анализ влияния оснащенности проектируемой линии Большесельский – Тавда (Тобольск – Тавда) на пропускную способность этой однопутной линии, которая рассматривается проектировщиками как первоочередной участок нового среднеуральского широтного хода (СУШХ), призванного создать дополнительную связь Урала и Сибири с продолжением в последующем в западном направлении и переходом через Уральский хребет [8].

В предлагаемом исследовании авторы использовали агентный и процессный методы моделирования с обращением к железнодорожной библиотеке. Модель имитирует движение грузовых поездов в одном из направлений по однопутному участку.

Для грузовладельцев, операторов вагонного парка и перевозчика важна маршрутная скорость перевозки грузов [9], зависящая от узких мест на железной дороге. В качестве узких мест выступают и однопутные участки, и расстояния между разъездами на них, а также количество приемоотправочных путей на них. Для отражения их роли в формировании маршрутных скоростей моделируется участковая скорость на рассматриваемом участке. Участковая скорость в условиях полной загрузки

линии зависит от количества приемоотправочных путей станций участка и пропускной способности (1) этих станций Пр [9].

$$\text{Пр} = \frac{(T_p - T_{\text{п/о}}^{\text{пост}})m}{t_{\text{зан}}^{\text{п/о}}(1 + \rho)}, \quad (1)$$

где T_p – расчетный период, за который определяется пропускная способность приемо-отправочных путей Пр ; m – число приемоотправочных путей; $T_{\text{п/о}}^{\text{пост}}$ – суммарное время занятия приемоотправочных путей в течение расчетного периода операциями, связанными с приемом и отправлением поездов и различными маневровыми передвижениями; $t_{\text{зан}}^{\text{п/о}}$ – средняя продолжительность занятия приемоотправочного пути поездами, электровозами и другими маневровыми передвижениями; ρ – коэффициент, учитывающий тип автоблокировки и сигнализации. В эксперименте было принято $\rho = 2$.

В определении (1) все величины кроме m и $t_{\text{зан}}^{\text{п/о}}$ можно считать условно постоянными. Отсюда следует, что пропускную способность Пр можно увеличить либо за счет строительства дополнительных приемоотправочных путей m (сокращение стоянок составов), либо за счет уменьшения $t_{\text{зан}}^{\text{п/о}}$ – средней продолжительности занятия приемоотправочного пути.

Таким образом, пропускная способность приемоотправочных путей влияет на среднюю скорость доставки грузов. Пропускную способность в агент-ориентированной модели мы рассматриваем как фактор поведения железнодорожных составов [10–16]. Задачей моделирования выступает определение средней участковой скорости на рассматриваемом участке путем проведения имитационных экспериментов.

Вся логика процессного подхода с применением железнодорожной библиотеки сосредоточена в основном классе (агенте) модели Main. Активными агентами модели являются поезда. Внутри основного класса Main реализован агент «маршрут», содержащий

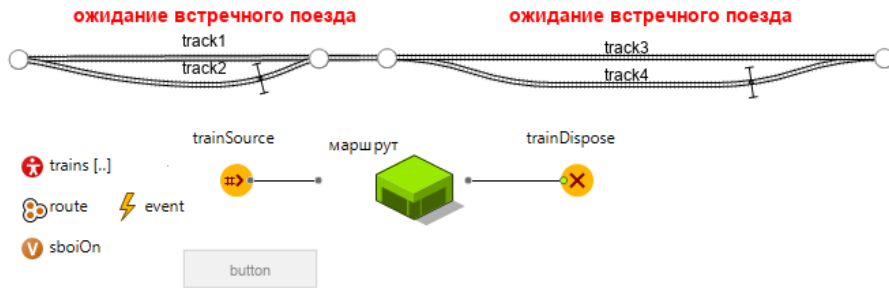


Рис. 1. Вид основного класса модели Main

различные комбинации приемоотправочных путей (технических станций). Также внутри основного класса модели Main реализован класс реплицированных агентов Train (поезд). Внутри активного класса агента Train реализована связанная с поведением этого агента диаграмма состояний, отражающая поведение грузовых составов (поездов). Реализация железнодорожной разметки и вид основного класса модели Main (окружности представляют собой стрелки на железнодорожных путях) показаны на рис. 1.

Блок trainSource является источником активных агентов (поездов), которые создаются согласно вызовам

метода inject(). Блок trainDispose удаляет железнодорожные составы на конечной станции. Средний блок «маршрут» с иконкой и двумя портами – нестандартный (пользовательский) и включает в себя стандартные блоки диаграмм железнодорожной библиотеки. В коллекцию route входит набор всех технических станций с приемоотправочными путями, на которых встречные поезда могут разойтись без столкновений. Параметры каждого блока задаются исходя из логики модели и нормативных инструкций во вкладке «Свойства» (рис. 2). В этой вкладке показана начальная точка железнодорожного пути (entryPoint), где формируется состав.

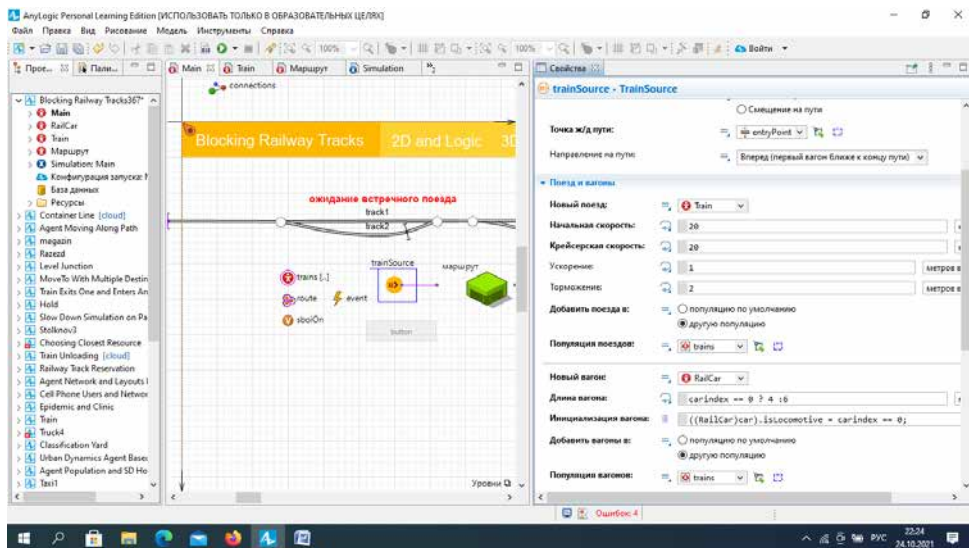


Рис. 2. Внешний вид интерфейса основного класса Main, вкладки проектов п/п Anylogic и вкладки «Свойства объекта». Показаны свойства объекта trainSource (неполностью)

Аналогично задаются скорости (в единицах модельного времени) и количество вагонов. В разделе свойств «Действия при выходе» описывается поведение состава на маршруте. В этом разделе с помощью программного кода `train.destinations.addAll(route)` констатируется, что на всех остановках, включенных в коллекцию `route`, состав будет пропускать встречные поезда, а коллекция `destinations` (пункт назначения) с типами элементов `PositionOnTrack` включена в класс `Train`.

Средний блок «маршрут» с иконкой и двумя портами – нестандартный (пользовательский), включает в себя стандартные блоки диаграмм железнодорожной библиотеки. Вид агента «маршрут» показан на рис. 3.

Вид нестандартного блока «маршрут» включает в себя блоки железнодорожной библиотеки `trainMove` и `trainMove1`, а также блоки библиотеки моделирования процессов `delay` и `selectOutput`. Блок `delay` определяет задержку движения состава (остановка). Время задержки стоянки устанавливается в соответствии с треугольным законом распределения случайной величины. Блоки `trainMove` и `trainMove1` отвечают за перемещение железнодорожных составов. Целью движения в блоке `trainMove1` являются все перемещения после каждой стоянки. Блок `trainMove` отвечает за движение состава из начального пункта после формирования поезда, и эта цель определяется программным кодом

`train.destinations.get(train.counter)`. Переменная `counter` является счетчиком и включена в класс реплицированных агентов `Train`. Блок `selectOutput` описывает все остановки железнодорожного состава на станциях, включенных в коллекцию `route`. Данное условие определяется с помощью кода `++agent.counter == agent.destinations.size()`, где `agent.destinations.size()` определяет количество всех остановочных пунктов. Блоки диаграммы процессов `timeMeasureStart` вместе с `timeMeasureEnd` составляют пару блоков, позволяющую измерять время, проведенное агентами между двумя точками диаграммы процесса. С их помощью измеряется время нахождения агента в системе или длительность пребывания агента в каком-то подпроцессе. Все описанные стандартные блоки вложены в один нестандартный блок с зеленой иконкой (рис. 3).

Полученную модель можно усложнять, добавляя различные нестандартные блоки (агенты), например, для описания железнодорожной разметки при переходе с двухпутной на однопутный участок (рис. 4). При этом по двум путям движутся составы и один из них пропускает другой притормаживая (не останавливаясь). Все стандартные блоки на этом участке в модели объединены в один нестандартный блок. Функции `reserveCrossingTracks` и `cancelReservations` на рис. 4 отвечают за блокировку железнодорожных путей и ее снятие.

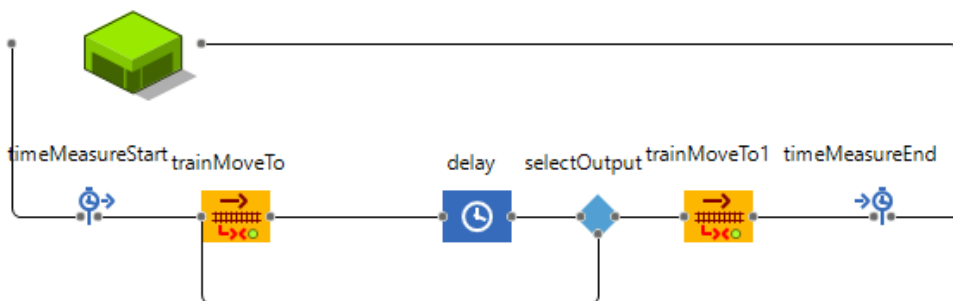


Рис. 3. Вид блоков диаграмм агента «маршрут» со стандартными блоками железнодорожной библиотеки и библиотеки моделирования процессов

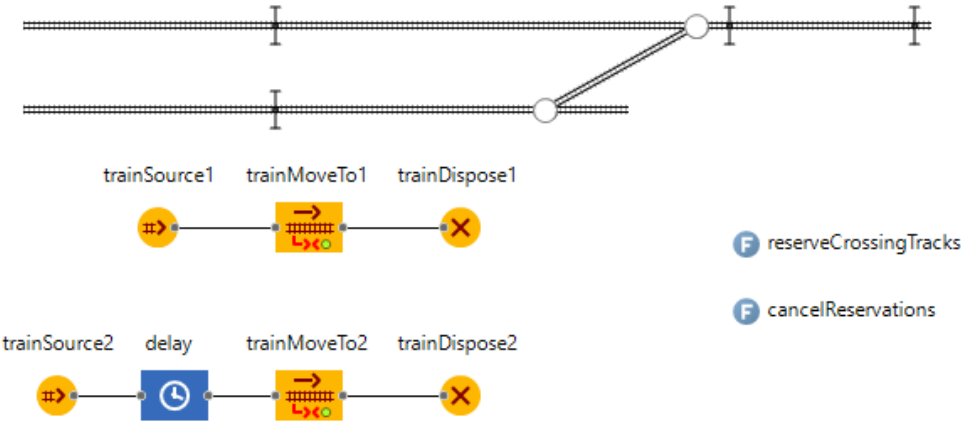


Рис. 4. Вид диаграмм процесса перехода с двухпутного участка на однопутный

Агентная часть модели реализована в виде события event и характеризует поведение популяции активных агентов trains. Эта часть диаграммы определяет изменение средней участковой скорости движения поездов при различных сбоях в расписании, отказе автоматики и т.д.

Авторы использовали параметры, наиболее распространенные при движении грузовых поездов на Свердловской железной дороге. В ходе множества имитаций определялась средняя участковая скорость движения составов. При этом расстояние моделируемого участка принималось равным 300 км, средняя стандартная участковая скорость взята равной таковой для отечественных железных дорог и составляет 43,3 км/ч (по данным РЖД за 2020 г.). Эта скорость фигурирует в диаграмме состояний как скорость в отсутствие

стоянок на участке. Количество вагонов грузового поезда равнялось 70. Имитационный эксперимент десятикратно повторялся в реальном времени при разном числе разъездов на исследуемом однопутном участке и экспериментально разыгрываемом максимальном времени задержки движения состава, пропускающего встречный поезд (при треугольном законе распределения времени, являющегося случайной величиной). Разрыв пути с соответствующей корректировкой расстояния в отсутствие разъездов составов моделировался блоками TrainExit и TrainEnter. Результаты эксперимента при двух законах распределения случайных времен задержки на пропуск встречного поезда приведены в таблицах 1 и 2. В таблицах использовано разное значение средней остановки (30 и 60 мин).

Таблица 1
Результаты имитационного эксперимента при среднем времени остановки на пропуск встречного 30 мин

Стоянки состава, кол-во	Время задержки движения составов, мин	Средняя участковая скорость движения состава, км/ч
1	Triangular(10,30,20)	40,1
2	Triangular(10,30,20)	37,6
3	Triangular(10,30,20)	34,1
4	Triangular(10,30,20)	29,3
5	Triangular(10,30,20)	26,9

Таблица 2

Результаты имитационного эксперимента при среднем времени остановки на пропуск встречного 60 мин

Стоянки состава, кол-во	Время задержки движения составов, мин	Средняя участковая скорость движения состава, км/ч
1	Triangular(20,60,40)	32,6
2	Triangular(20,60,40)	29,3
3	Triangular(20,60,40)	24,3
4	Triangular(20,60,40)	20,5
5	Triangular(20,60,40)	17,5

Из таблиц видна динамика снижения средней участковой скорости с ростом числа стоянок поезда на участке для пропуска встречного состава, график движения которого является приоритетным. При этом предполагается, что приоритетное направление загружено до предела пропускной способности. Такая ситуация возможна для исследуемой линии Тавда – Тобольск, где будет преобладать нечетное направление движения.

Заключение

Опыт имитационного моделирования показывает, что цифровые решения в виде результатов имитационных экспериментов могут оказать значительную информационную поддержку при проектировании новых участков железных дорог и способствовать составлению эксплуатационного расписания,

которое адекватно условиям прохождения поездов.

В работе применялся программный пакет AnyLogic, который поддерживает процессный (дискретно-событийный), системно-динамический и агентный подходы (многоподходное моделирование), используемые при имитационном моделировании. С его помощью получен, по сути, цифровой двойник, который позволяет имитировать поведение реального поезда на проектируемой однопутной линии при различной интенсивности встречного движения.

Имитационную модель можно модифицировать и усовершенствовать вплоть до реальной путем учета рельефа, состояния местности, состояния путей и других параметров. Результаты работы могут быть использованы при проектировании и обосновании сетевых объектов железнодорожного транспорта. ■

Литература

1. Макаров В. Л., Бахтизин А. Р., Сушко Е. Д. Агент-ориентированная модель для мониторинга и управления реализацией больших проектов // Экономика и управление. 2017. № 4 (138). С. 4–7. ISSN 1998-167 (Print).
2. Морозов В. Н. Инструкция по расчету наличной пропускной способности железных дорог / В. Н. Морозов, В. А. Гапанович, В. Г. Лемешко. – М., 2011.
3. Суслов С. А. Имитационная модель – уже вполне обычная составная часть логистических проектов // Логистика. № 2, 2012. ISSN 2219-7222.
4. Abdimomynova A. Sh., Kim V. V. Analysis of the current state of the transport system of the Republic of Kazakhstan. Science and the World, 2015, Vol. 1, № 3 (19). Pp. 61–63.
5. Aulin, V., Hryniv, A., Lyashuk, O., Vovk, Y., Lysenko, S., Holub, D., ... & Lavrentieva, O. (2020). Increasing the Functioning Efficiency of the Working Warehouse of the «UVK Ukraine» Company Transport and Logistics Center. Communications-Scientific letters of the University of Zilina, 22 (2), 3–14.
6. Aulin, V., Lyashuk, O., Pavlenko, O., Velykodnyi, D. [etc.] (2019). Realization of the Logistic Approach in the International Cargo Delivery System. Communications – Scientific Letters of the University of Zilina, 21(2), 3–12.

7. Жарков М. Л., Казаков А. Л., Супруновский А. В., Павидис М. М. Моделирование крупнейшей в мире железнодорожной сортировочной станции с использованием теории массового обслуживания // Вестник Уральского государственного университета путей сообщения, 2021. – № 3 (51). С. 4–15. ISSN 2079-0392.
8. Петров М.Б. Транспортные сети Большого Урала в формировании Урало-Арктического вектора развития // Вестник УрГУПС, 2016. – № 4 (32). С. 103–111. ISSN 2079-0392.
9. Wang, T., Wang, X., Meng, Q., 2018. Joint berth allocation and quay crane assignment under different carbon taxation policies. *Transp. Res. Part B: Methodol.* 117, 18–36.
10. Xiang, X., Liu, C., Miao, L., 2018. Reactive strategy for discrete berth allocation and quay crane assignment problems under uncertainty. *Comput. Ind. Eng.* 126, 196–216.
11. Zhang chong, Wang haiyan. Analysis of stability and bullwhip effect in production-inventory systems. *Journal of Southeast University*. 2011, 27 (01), 101–106.
12. Zhang qing, Liu zhixue. Multi-agent-based modeling and simulation for information coordination in supply chain. *Application Research of Computers* 2009, 26 (10), 3709–3711.
13. Zhen, L., Xu, Z., Wang, K., Ding, Y., 2016. Multi-period yard template planning in container terminals. *Transp. Res. Part B*, 93, 700–719.
14. Мишкuroв П. Н., Рахмангулов А. Н., Фридрихсон О. В. Методика формирования транспортной сети железнодорожной станции // Вестник УрГУПС, 2021. – № 3 (51). С. 50–64. ISSN 2079-0392.
15. Шмулевич М. И., Стариков А. Е. Особенности нормирования маневровой работы в имитационной модели станции // Мир транспорта. – 2015. – № 5 (60). – С. 198–212. ISSN 1992-3252.
16. Александров А. Э., Суринов А. В., Шипулин А. В. Использование имитационных моделей в оперативном планировании поездной работы // Вестник Ростовского государственного университета путей сообщения. – 2015. – № 4 (60). – С. 65–72. ISSN 0201-727X.

List of references

1. Makarov V. L., Bakhtizin A. R., Sushko E. D. Agent-oriented model for monitoring and managing the implementation of large projects // *Economics and management. [Agent-orientirovannaya model' dlya monitoringa i upravleniya realizatsiej bol'shikh projektov // EHkonomika i upravlenie]* 2017. № 4 (138). Pp. 4–7. ISSN 1998-167 (Print).
2. Morozov V. N. Instructions for calculating the available capacity of railways / V. N. Morozov, V. A. Gapanovich, V. G. Lemesenko. [Instruktsiya po raschetu nalichnoj propusknoy sposobnosti zheleznnykh dorog / V. N. Morozov, V. A. Gapanovich, V. G. Lemesenko] – M., 2011.
3. Suslov S. A. Simulation model is already quite a common component of logistics projects // *Logistics. [Imitatsionnaya model' – uzhe vpolne obychnaya sostavnaya chast' logisticheskikh projektov // Logistika]* № 2, 2012. ISSN 2219-7222.
4. Abdimomynova A. Sh., Kim V. V. Analysis of the current state of the transport system of the Republic of Kazakhstan. *Science and the World*, 2015, Vol. 1, № 3 (19). Pp. 61–63.
5. Aulin, V., Hryniv, A., Lyashuk, O., Vovk, Y., Lysenko, S., Holub, D., ... & Lavrentieva, O. (2020). Increasing the Functioning Efficiency of the Working Warehouse of the «UVK Ukraine2 Company Transport and Logistics Center. *Communications-Scientific letters of the University of Zilina*, 22 (2), 3–14.
6. Aulin, V., Lyashuk, O., Pavlenko, O., Velykodnyi, D. [etc.] (2019). Realization of the Logistic Approach in the International Cargo Delivery System. *Communications – Scientific Letters of the University of Zilina*, 21 (2), 3–12.
7. Zharkov M. L., Kazakov A. L., Suprunovsky A. V., Pavidis M. M. Modeling of the world's largest railway marshalling yard using queuing theory // *Herald of the Ural State University of Railway Transport, [Modelirovanie krupneyshe v mire zheleznodorozhnoy sortirovochnoy stantsii s ispol'zovaniem teorii massovogo obsluzhivaniya // Vestnik Ural'skogo gosudarstvennogo universiteta putej soobshheniya]* 2021. – № 3 (51). Pp. 4–15. ISSN 2079-0392.
8. Petrov M. B. Transport networks of the Greater Urals in the formation of the Ural-Arctic vector of development // *Herald of USURT, [Transportnye seti Bol'shogo Urala v formirovanii Uralo-Arkticheskogo vektora razvitiya // Vestnik UrGUPS]* 2016. – № 4 (32). Pp. 103–111. ISSN 2079-0392.
9. Wang, T., Wang, X., Meng, Q., 2018. Joint berth allocation and quay crane assignment under different carbon taxation policies. *Transp. Res. Part B: Methodol.* 117, 18–36.

10. Xiang, X., Liu, C., Miao, L., 2018. Reactive strategy for discrete berth allocation and quay crane assignment problems under uncertainty. *Comput. Ind. Eng.* 126, 196–216.
11. Zhang chong, Wang haiyan. Analysis of stability and bullwhip effect in production-inventory systems. *Journal of Southeast University*. 2011, 27 (01), 101–106.
12. Zhang qing, Liu zhixue. Multi-agent-based modeling and simulation for information coordination in supply chain. *Application Research of Computers* 2009, 26 (10), 3709–3711.
13. Zhen, L., Xu, Z., Wang, K., Ding, Y., 2016. Multi-period yard template planning in container terminals. *Transp. Res. Part B*, 93, 700–719.
14. Merkurov P. N., Rakhmangulov A. N., Fridrihson O. V. Methods of formation of the transport network railway station // *Herald of USURT, [Metodika formirovaniya transportnoj seti zheleznodorozhnoj stantsii // Vestnik UrGUPS]* 2021. – № 3 (51). Pp. 50–64. ISSN 2979-0392.
15. Shmulevich, I. M., Starikov A. E. Features of rationing shunting in the simulation model of the station // *The world of transport. [Osobennosti normirovaniya manevrovoj raboty v imitatsionnoj modeli stantsii // Mir transporta]* – 2015. – № 5 (60). – Pp. 198–212. ISSN 1992-3252.
16. Alexandrov A. E., Surin A. V., Shipulin A. V. The use of simulation models in operational planning of train work // *Herald of the Rostov State University of Railway Transport. [Ispol'zovanie imitatsionnykh modelej v operativnom planirovanii poezdnoj raboty // Vestnik Rostovskogo gosudarstvennogo universiteta putej soobshheniya]* – 2015. – № 4 (60). – Pp. 65–72. ISSN 0201-727X.

Статья сдана в редакцию 16 октября 2021 года

УДК 625.1/5

А. Ф. Колос, Е. А. Лебедева, В. Г. Гладий

Метод оценки коэффициента формы зерен щебня, применяемого в балластном слое железнодорожного пути

UDC 625.1/5

A. F. Kolos, E. A. Lebedeva, V. G. Gladii

Method for estimation of shape coefficient of crushed stone grains used by ballast layer of railway track

Аннотация

Снижение прочностных свойств щебня в сочетании с ростом его загрязненности при наработке тоннажа снижает несущую способность балластного слоя и интенсификацию процессов накопления остаточных деформаций пути. Прочностные свойства щебеночного балласта зависят от формы (окатанности граней) зерен щебня. В работе рассматриваются теоретические и практические основы определения формы зерен щебеночного балласта. В качестве показателя, характеризующего форму зерен щебня, предлагается использовать показатель

коэффициента формы зерна. Под коэффициентом формы зерна понимается отношение фактической удельной поверхности зерна к удельной поверхности идеально круглой частицы того же объема.

Предложена методика определения удельной поверхности, основанная на теории Козени – Кармана о течении жидкости или газа через зернистый слой и уравнении, связывающем водопроницаемость пористой среды с ее удельной поверхностью. Представлена принципиальная конструкция прибора для определения удельной поверхности зерен щебеночного балласта.

В статье представлено описание и приведены результаты эксперимента по калибровке прибора, установлены рекомендуемые и граничные условия его использования, а также результаты эксперимента по определению удельной поверхности в опытах со щебнем II категории по ГОСТ 7392–2014 в сравнении с альтернативным методом измерения удельной поверхности зерен щебня.

Ключевые слова: щебеночный балласт, форма щебня, окатанность щебня, удельная поверхность, метод Козени, пористая среда.

DOI: 10.20291/2079-0392-2021-4-59-67

Статья рекомендована к публикации В. Б. Петропавловской, д-ром техн. наук, профессором Тверского государственного технического университета.

Алексей Федорович Колос, канд. техн. наук, доцент, заведующий кафедрой «Строительство дорог транспортного комплекса» Петербургского государственного университета путей сообщения Императора Александра I (ПГУПС). E-mail: kolos2004@inbox.ru. ORCID 0000-0001-9322-4668.

Елена Александровна Лебедева, старший преподаватель кафедры «Изыскания и проектирование железных дорог» Петербургского государственного университета путей сообщения Императора Александра I (ПГУПС). E-mail: elenaleb70@mail.ru. ORCID 0000-0002-6048-3062.

Валентина Геннадьевна Гладий, аспирант кафедры «Строительство дорог транспортного комплекса» Петербургского государственного университета путей сообщения Императора Александра I (ПГУПС), ведущий инженер АО «Институт «Стройпроект». E-mail: tina.gladii@ya.ru. ORCID 0000-0001-7186-6934.

The article is recommended for publication by V.B. Petropavlovskaya, Dr. Rum Techn. of sciences, professor at Tver State Technical University.

Alexey Fedorovich Kolos, Candidate of Technical Sciences, Associate Professor, Head of the Chair «Construction of Roads of the Transport complex» of Emperor Alexander I St. Petersburg State Transport University (PSTU). E-mail: kolos2004@inbox.ru. ORCID 0000-0001-9322-4668.

Elena Alexandrovna Lebedeva, Senior lecturer of the chair of «Research and Design of Railways» of Emperor Alexander I St. Petersburg State Transport University (PSTU). E-mail: elenaleb70@mail.ru. ORCID 0000-0002-6048-3062.

Valentina Gennadiyevna Gladii, postgraduate student of the chair «Construction of Roads of the Transport complex» of Emperor Alexander I St. Petersburg State Transport University (PSTU), leading engineer of JSC «Institute Stroyproekt». E-mail: tina.gladii@ya.ru. ORCID 0000-0001-7186-6934.

Abstract

A decrease in the strength properties of crushed stone in combination with an increase in its contamination during tonnage operation reduces the load-bearing capacity of the ballast layer and intensification of the accumulation of residual deformations of the track. The strength properties of crushed stone ballast depend on the shape (rolling edges) of crushed stone grains. The paper discusses the theoretical and practical foundations for determining the shape of crushed stone ballast grains. As an indicator characterizing the shape of crushed stone

grains, it is proposed to use the grain shape coefficient indicator. The grain shape coefficient refers to the ratio of the actual specific surface of the grain to the specific surface of a perfectly round particle of the same volume.

The paper proposes a method for determining the specific surface based on the Kozeny-Karman theory of the flow of a liquid or gas through a granular layer and the equation relating the water permeability of a porous medium to its specific surface. The basic design of the device for the specific surface area of crushed stone ballast grains is presented. The article des-

cribes and presents the results of the experiment on calibration of the device, establishes recommended and boundary conditions for its use, as well as the results of the experiment to determine the specific surface in experiments with crushed stone of category II according to GOST 7392–2014 in comparison with an alternative method of measuring the specific surface of crushed stone grains.

Keywords: crushed stone ballast, crushed stone shape, crushed stone rolling, specific surface area, execution method, porous medium.

DOI: 10.20291/2079-0392-2021-4-59-67

ВГОСТ 7392–2014 «Щебень из плотных горных пород для балластного слоя железнодорожного пути» – основном нормативном документе, регламентирующем требования к щебню, укладываемому в балластную призму железнодорожного пути, – не указаны требования к форме, а только содержание зерен пластинчатой и игловатой формы [1].

Прочностные свойства (удельное зацепление и угол внутреннего трения) и срок службы щебеночного балласта зависят от сглаженности граней (окатанности) частиц щебня, которая появляется у уложенного в путь балласта с течением времени вследствие истирания при наработке тоннажа [2, 3]. Соответственно, снижение прочностных свойств щебня в сочетании с ростом его загрязненности при наработке тоннажа снижает несущую способность балластного слоя и интенсификацию процессов накопления остаточных деформаций пути. Значит, необходимо в дополнение к ГОСТ 7392–2014 «Щебень из плотных горных пород для балластного слоя железнодорожного пути» [1] ввести требование к форме граней зерен щебня, установить количественный

показатель, отражающий форму граней, метод его определения, а также разработать классификацию зерен по окатанности.

Необходимо разработать способы экспресс-контроля технического состояния балластного материала в процессе эксплуатации и восстановительной очистки железнодорожного балласта, определения сроков и качества процессов периодической очистки балластного материала.

Имеющиеся приборы для определения удельной поверхности методом газо- и водопроницаемости можно разделить на два типа. В одном – расход газа или жидкости, протекающего через слой в течение опыта, постоянен, в другом нет. К первому типу относится прибор Ли и Нерса и применяемый в отечественной практике прибор Товарова, ко второму – приборы Бейна, Фридриха и используемый в России аналог – прибор ПСХ-2 [4, 5]. Однако все они пригодны для исследования фракций меньших размеров, чем требуется для железнодорожного балласта.

В качестве показателя, характеризующего окатанность граней зерен щебня, предлагается использовать показатель

коэффициента формы зерна. Под коэффициентом формы зерна K_ϕ понимается отношение фактической удельной поверхности зерна к удельной поверхности идеально круглой частицы того же объема (1).

$$K_\phi = \frac{S_{\text{факт}}}{S_{\text{шара}}}, \quad (1)$$

где $S_{\text{факт}}$ – фактическая удельная поверхность частицы, $\text{м}^2/\text{м}^3$; $S_{\text{шара}}$ – удельная поверхность частицы идеально круглой формы того же объема (шара), $\text{м}^2/\text{м}^3$.

Удельная поверхность частиц грунта – это суммарная поверхность всех его зерен в единице объема грунта. Строение внутренней поверхности пор любого пористого материала очень сложное, а определение удельной поверхности зернистого слоя представляется трудной задачей.

Один из методов исследования величины удельной поверхности щебня основан на классической теории Козени – Кармана о течении жидкости или газа через зернистый слой и уравнении, связывающем проницаемость пористой среды с ее удельной поверхностью. Этот метод наиболее пригоден для

исследования удельной поверхности зерен щебня, так как уравнение Козени – Кармана справедливо для дисперсных сред со случайным расположением пор и с узким диапазоном размеров пор (не более 2:1) [6]. При этом предпочтительнее использовать жидкость, а не газ, из-за ее большей вязкости по сравнению с газами в силу того, что движение потока, проходящего в пористой среде, остается в большинстве случаев ламинарным. Достоинство этого метода заключается в простоте оборудования и независимости результатов измерения от химической природы исследуемых материалов.

Согласно представлениям Козени, течение газа или жидкости через слой зернистого материала можно моделировать движением по извилистым параллельным капиллярам [7]. Поровое пространство эквивалентно совокупности параллельных капилляров одного и того же гидравлического радиуса, форма поперечных сечений которых представляет усредненную форму поперечных сечений пор. При ламинарном течении в модели принимается, что линия тока в поровом пространстве извилиста и ее средняя длина L_e больше длины слоя L (рис. 1). Длина

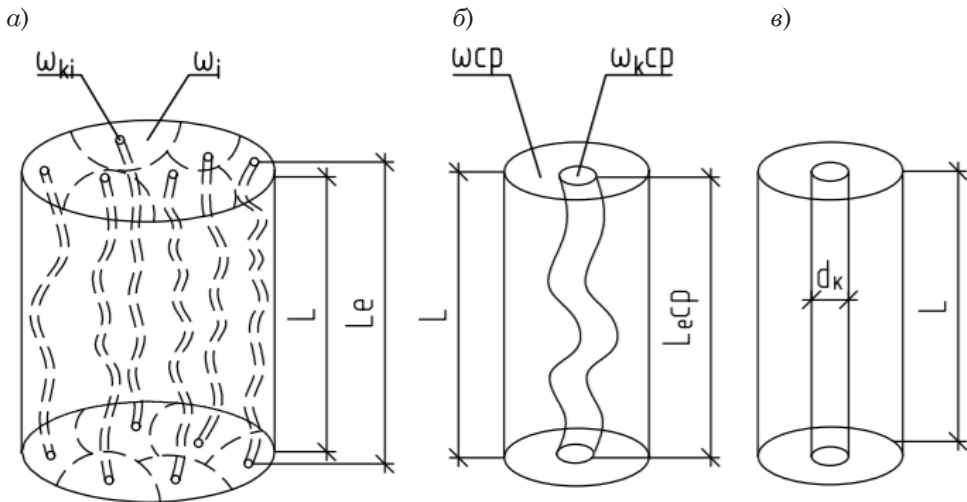


Рис. 1. Капиллярная модель грунта

а – общий вид капиллярной модели грунта; б – линия тока в извилистом параллельном капилляре; в – капилляр с эквивалентным гидравлическим радиусом

L_e рассматривается как средняя длина капилляров, для которых используются уравнения типа формул Пуазейля.

Впервые описывать пористую среду в виде совокупности параллельных капилляров с изменяемыми диаметрами предложил Х. Адзуми (рис. 1).

Среднюю скорость движения газа или жидкости в извилистом капилляре некругового сечения с гидравлическим радиусом R и длиной извилистого капилляра L_e можно записать в виде уравнения Пуазейля. Оно справедливо как для жидкости, так и для газа. Данное уравнение связывает внутреннее течение жидкости или газа, стационарно текущих по трубе, с геометрическими размерами трубы и разностью давлений на ее концах, являющейся причиной движения жидкости или газа по трубе [8].

Исходное уравнение Пуазеля:

$$u_e = \frac{R^2 \Delta P}{k_0 \mu L_e}, \quad (2)$$

где u_e – средняя скорость фильтрации жидкости, протекающей через образец, м/с; L_e – длина извилистого капилляра, м; ΔP – перепад давления при прохождении через слой, Па; μ – коэффициент динамической вязкости, который зависит от свойств газа или жидкости, Па·с; k_0 – коэффициент формы сечения вязкого потока, не зависящий от формы капилляра [6]; R – гидравлический радиус, определяемый для пористой среды как отношение свободного объема пор к площади смачиваемой поверхности, м².

По определению гидравлический радиус:

$$R = \frac{\omega}{\chi}, \quad (3)$$

где ω – площадь поперечного сечения потока, м²; χ – смоченный периметр, м.

Умножив числитель и знаменатель на длину зернистого слоя L , преобразуем уравнение (3) для плоского сечения образца грунта в объемное с постоянным поперечным сечением:

$$R = \frac{V_{\text{пор}}}{S_{\text{пор}}}. \quad (4)$$

Согласно модели зернистого слоя пористое тело можно представить системой цилиндрических параллельных капилляров $S_{\text{пор}} = S_{\text{частиц}}$. Следовательно, из уравнения (4) получаем:

$$R = \frac{V_{\text{пор}}}{S_{\text{частиц}}}. \quad (5)$$

По определению, пористость – это отношение объема всех пор к объему грунта [6].

$$\varepsilon = \frac{V_{\text{пор}}}{V_{\text{образца}}}. \quad (6)$$

Из предыдущего уравнения:

$$V_{\text{пор}} = V_{\text{образца}} \cdot \varepsilon. \quad (7)$$

Учитывая, что по определению удельная поверхность:

$$S_{\text{уд}} = \frac{S_{\text{частиц}}}{V_{\text{частиц}}}. \quad (8)$$

В единице объема $V_{\text{пор}} = \varepsilon$, следовательно, $V_{\text{частиц}} = 1 - \varepsilon$. Из уравнения (8) получаем:

$$S_{\text{частиц}} = S_{\text{уд}} \cdot (1 - \varepsilon). \quad (9)$$

Таким образом, объединяя уравнения (5) и (9):

$$R = \frac{V_{\text{пор}}}{S_{\text{частиц}}} = \frac{\varepsilon}{S_{\text{уд}} \cdot (1 - \varepsilon)}, \quad (10)$$

где ε – пористость среды; $S_{\text{уд}}$ – удельная поверхность частиц, м²/м³;

Дюпюи предположил, что линейная скорость u потока должна быть меньше по значению, чем фактическая скорость u_e в поровом пространстве [8]. Если поровое пространство изотропно и хаотично, пористость слоя бесконечно малой толщины перпендикулярно к направлению потока будет равна ε (пористости для тела в целом). Для слоя бесконечно малой толщины объем пор будет равняться поверхности пор.

Соотношение Дюпюи – Форхгеймера:

$$u_e = \frac{u}{\varepsilon}. \quad (11)$$

Карман предположил, что время, необходимое для прохождения жидким элементом извилистого пути длины L_e , больше времени, нужного для преодоления прямого пути длины L в L_e/L раз [9]. Он предложил заменить соотношение (11) на (12):

$$u_e = \frac{u}{\varepsilon} \frac{L_e}{L}. \quad (12)$$

Найденные выражения Ф. Блейк использовал для изучения турбулентного движения в крупнопористых средах. Эти же выражения можно использовать и для ламинарной фильтрации жидкости в пористой среде.

Заменим R в выражении (2):

$$u_e = \frac{R^2 \Delta P}{k_0 \mu L_e} = \frac{\varepsilon^3}{S_{уд}^2 \cdot (1 - \varepsilon)^2} \frac{\Delta P}{k_0 \mu L_e}. \quad (13)$$

Приравнявая (12) к (13), получаем:

$$\frac{u}{\varepsilon} \frac{L_e}{L} = \frac{\varepsilon^3}{S_{уд}^2 \cdot (1 - \varepsilon)^2} \frac{\Delta P}{k_0 \mu L_e}. \quad (14)$$

Выразим удельную поверхность частиц $S_{уд}$:

$$S_{уд} = \sqrt{\frac{\varepsilon^3}{(1 - \varepsilon)^2} \frac{\Delta P L}{u k_0 \mu L_e^2}}. \quad (15)$$

Постоянная Козени определена как

$$k = \left(\frac{L_e}{L} \right)^2 k_0. \quad (16)$$

Заменим $k_0 L_e^2$ на $k L^2$:

$$S_{уд} = \sqrt{\frac{\varepsilon^3}{(1 - \varepsilon)^2} \frac{\Delta P L}{u k_0 \mu L_e^2}} = \sqrt{\frac{\varepsilon^3}{(1 - \varepsilon)^2} \frac{\Delta P}{u k \mu L}}. \quad (17)$$

По закону Дарси линейную скорость можно представить как в выражении (2). В первом приближении линейную скорость потока можно представить:

$$u = \frac{h}{t}, \quad (19)$$

где h – высота столба жидкости, м.

Перепад давления представим в виде:

$$\Delta P = \rho g h. \quad (20)$$

В уравнение (17) подставим (19) и (20) и получим итоговое уравнение:

$$S_{уд} = \sqrt{\frac{\varepsilon^3}{(1 - \varepsilon)^2} \frac{\rho g t}{k \mu L}}. \quad (21)$$

На основании уравнений Дарси, Пуазейля и Козени – Кармана были основаны теоретические и эмпирические зависимости [6, 10].

Модель Козени подходит для моделирования балластного слоя железнодорожного пути как для дисперсной среды со случайным расположением пор и не слишком широким разбросом размеров пор [6]. Все неизвестные в уравнении (21) являются в разной степени сложности измеримыми показателями. Таким образом, используя выражение (21), можно определить удельную поверхность частиц щебня и на основании выражения (1) – коэффициент формы зерен щебня.

Для определения удельной поверхности частиц используется прибор, принцип работы которого основан на методе определения удельной поверхности по водопроницаемости зернистого слоя. Водопроницаемость зернистого слоя определяется по продолжительности времени фильтрации через него жидкости до выравнивания перепада давления в сосуде. Принципиальная схема прибора представлена на рис. 2.

В выражении (22) неизвестные в правой части можно установить в процессе эксперимента, а чтобы найти левую часть, необходимо провести эксперимент с зернистым слоем с известной удельной поверхностью. В эксперименте в качестве зернистого слоя с известной удельной поверхностью используется навеска из металлических шаров диаметром 30 и 50 мм, а также смесь шаров 30 и 50 мм. Величина удельной поверхности зернистого слоя, состоящего из шаров, находится по формуле (23).

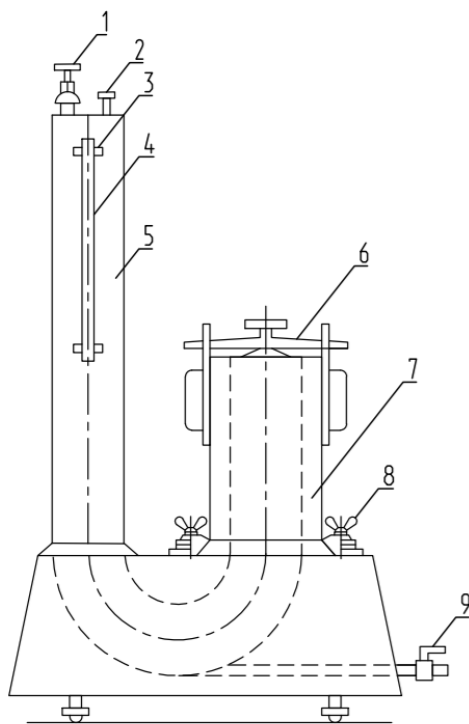


Рис. 2. Принципиальная схема прибора для определения удельной поверхности частиц щебня

1 – воздушный клапан; 2 – патрубок; 3 – датчики уровней жидкостей; 4 – контрольная трубка; 5 – уравнивательный резервуар; 6 – крышка рабочей камеры; 7 – рабочая камера; 8 – прижимные болты; 9 – водопроводный кран

$$S_{\text{уд.шара}} = \sum \frac{S_i}{V_i} = \sum \frac{4\pi \cdot r_i^2}{\frac{4}{3}\pi \cdot r_i^3} = \sum \frac{3n_i}{r_i} = \sum \frac{6n_i}{d_i}, \quad (23)$$

где d_i – диаметр частицы, м; n_i – количество частиц диаметра d_i , шт.

Для удобства вычислений вынесем k из-под корня выражения (22) и назовем ее постоянной прибора K :

$$K = S_{\text{уд}} / \sqrt{\frac{\varepsilon^3}{(1-\varepsilon)^2} \frac{\rho g t}{\mu L}}. \quad (22)$$

В рамках исследования проведен многофакторный эксперимент при

варьировании следующих факторов: уровень давления (при высоте столба жидкости 36 и 49 см), диаметр круглых частиц (30 и 50 мм, а также смесь из шаров 30 и 50 мм), объем круглых частиц (от 1400 до 4800 см³).

Результаты опыта (рис. 3) показали независимость постоянной прибора от диаметра частиц – для навески одинакового объема и различного по диаметру состава частиц величина постоянной прибора отличалась незначительно, следовательно, диаметр частиц не влияет на постоянную прибора. Также опыты показали независимость результатов от давления столба жидкости.

Постоянная прибора зависит от объема частиц. Наибольшие выбросы отмечаются для опытов при небольших объемах исследуемых частиц, в связи с этим для дальнейшего исследования минимальный объем частиц принимается не менее 2000 см³, при меньшем объеме погрешность составляла до 35 %. Для дальнейших опытов рекомендуется зафиксировать величину давления, объем навески и принимать постоянную прибора равной 0,026.

После определения постоянной прибора и рекомендуемых характеристик прибора (объем навески, величина давления) проведен опыт с навесками щебня. Образцы для опыта изготавливали из щебня категории II по ГОСТ 7392–2014. Зерновой состав изменялся в диапазоне 25–60 мм. Образцы щебня были разделены на три группы по фракциям: 25–40 мм, 40–50 мм, 50–60 мм, опыты проводились для каждой группы по отдельности. Также опыты проведены для щебня с гранулометрическим составом по ГОСТ 7392–2014.

В качестве эталонной удельной поверхности принималась удельная поверхность, определенная с помощью парафина (как для прямого метода определения величины поверхности). Для этого зерна щебня покрывались парафином и по объему и толщине осевшего на поверхности частиц парафина, вычислялась величина поверхности зерен щебня. Полученные значения

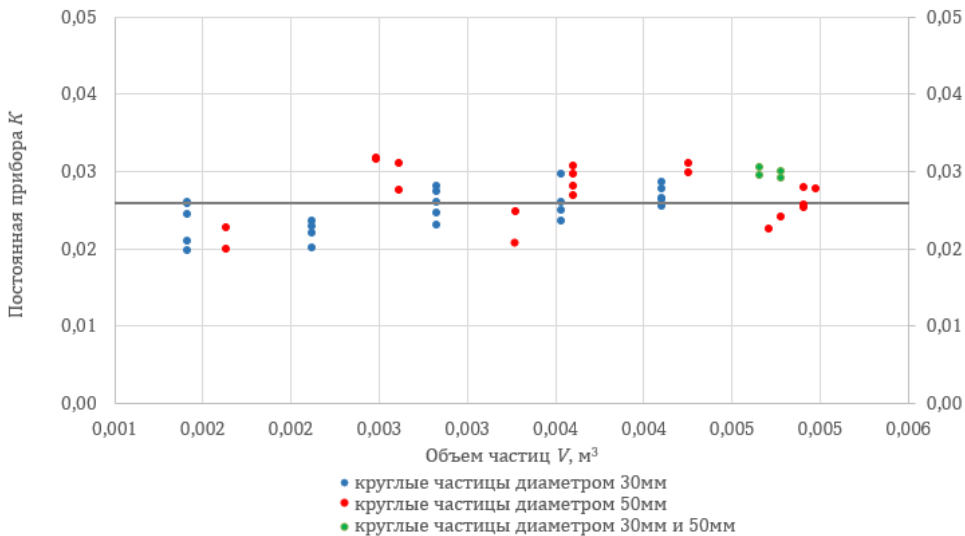


Рис. 3. Определение величины постоянной прибора K

удельной поверхности представлены в таблице.

Для расчета коэффициента формы навески щебеночного балласта с фракционным составом по ГОСТ 7392–2014 используется средневзвешенное значение коэффициента формы по формуле (23).

$$S_{уд,шара} = \sum \frac{S_i}{V_i} = \sum \frac{4\pi \cdot r_i^2}{\frac{4}{3}\pi \cdot r_i^3} = \sum \frac{3n_i}{r_i} = \sum \frac{6n_i}{d_i} \tag{23}$$

В проведенных опытах коэффициент формы для щебня фракции с грануло-

метрическим составом по ГОСТ 7392–2014 составил $K_{\phi} = 1,12 \pm 0,02$.

Результаты опыта показали достаточно высокую сходимость результатов измерения удельной поверхности методом, основанным на теории Козени – Кармана, и методом определения удельной поверхности с помощью парафина, следовательно, достаточно высокую точность определения постоянной прибора K. В дальнейших экспериментах рекомендуется зафиксировать постоянную прибора K равной 0,026 при параметрах прибора.

В статье предложен новый метод определения удельной поверхности зерен щебеночного балласта, основанный

Результаты опытов со щебнем

Фракция щебня, мм	Объем зерен щебня	Удельная поверхность, определенная с помощью парафина	Удельная поверхность, определенная методом водопроницаемости	Коэффициент формы
	$V_{зерен}, м^3$	$S_{уд}, м^2/м^3$	$S_{уд}, м^2/м^3$	K_{ϕ}
50–70	0,0039	212	226	1,14
	0,0039	212	223	1,13
40–50	0,0042	172	193	1,10
	0,0042	172	195	1,12
25–40	0,0040	253	241	1,11
	0,0040	253	232	1,07

на теории Козени – Кармана. Поскольку погрешность определения $S_{уд}$ с помощью прибора для определения удельной поверхности по водопроницаемости зернистого слоя составляет не более чем 13 %, то результаты разработанной

теории определения $S_{уд}$ дают основу для оценки формы зерен щебня и могут быть использованы для оценки несущей способности щебеночного балласта железнодорожного пути. ■

Литература

1. ГОСТ 7392–2014. Щебень из плотных горных пород для балластного слоя железнодорожного пути. Технические условия. М. : Стандартинформ, 2015. 32 с.
2. Колос. А. Ф., Осипов Г. В., Клишч С. А., Леус А. С., Каминных О. А. Исследование прочностных свойств щебня, применяемого для балластного слоя железнодорожного пути : сб. науч. тр. по м-лам XXIII Международн. научн.-практ. конф. «Научные исследования: ключевые проблемы III тысячелетия». М. : Проблемы науки, 2018. С. 19–24.
3. Колос А. Ф., Чистяков П. А., Леус А. С., Шехтман Е. И. [и др.]. Влияние формы зерен щебеночного балласта на его прочностные свойства // Бюллетень результатов научных исследований. 2017. № 4. С. 148–160. ISSN 2223-9987.
4. Ромм Е. С. Структурные модели порового пространства горных пород. Ленинград : Недра, 1985. 240 с.
5. Курочкина М. И. Удельная поверхность дисперсных материалов: теория и расчет. Ленинград : Изд-во Ленинградского университета, 1980. 137 с.
6. Carman P. C. Flow of gases in porous media. Butterworths scientific publications, 1956. P. 182.
7. Лейбензон Л. С. Движение природных жидкостей и газов в пористой среде. М. : Государственное издательство технико-теоретической литературы, 1947. 244 с.
8. Хаппель Д. Гидродинамика при малых числах Рейнольдса / Пер. с англ. В. С. Бермана, В. Г. Маркова / под ред. Ю. А. Буевича. М. : Мир, 1976. 630 с.
9. Маскет М. Течение однородных жидкостей в пористой среде / Пер. с англ. М. А. Гейман. М. : НИЦ «Регулярная и хаотическая динамика», 2004. 628 с. ISBN 5-93972-293-8.
10. Коллинз Р. Течения жидкостей через пористые материалы / Пер. с англ. Р. Л. Салганика : под ред. Г. И. Баренблатта. М. : Мир, 1964. 350 с.

List of references

1. GOST 7392-2014. Crushed stone from dense rocks for the ballast layer of the railway track. Technical specifications. [Shheben' iz plotnykh gornykh porod dlya ballastnogo sloya zheleznodorozhnogo puti. Tekhnicheskie usloviya]. Moscow : Standartinform, 2015. 32 p.
2. Kolos. A. F., Osipov G. V., Klishch S. A., Leus A. S., Kaminnyy O. A. Study of the strength properties of crushed stone used for the ballast layer of a railway track : collection of scientific papers by the XXIII International Scientific- practical conf. «Scientific research: key problems of the III millennium». Moscow: Problems of Science, [Issledovanie prochnostnykh svoystv shhebnaya, primenyaemogo dlya ballastnogo sloya zheleznodorozhnogo puti : sb. nauch. tr. po m-lam XXIII Mezhdunarodn. nauchn.-prakt. konf. «Nauchnye issledovaniya: klyuchevye problemy III tysyacheletiya». M. : Problemy nauki] 2018. pp. 19–24.
3. Kolos A. F., Chistyakov P. A., Leus A. S., Shekhtman E. I. [et al.]. The influence of the grain shape of crushed stone ballast on its strength properties // Bulletin of the results of scientific research. [Vliyanie formy zeren shhebenochnogo ballasta na ego prochnostnye svoystva // Byulleten' rezul'tatov nauchnykh issledovaniy] 2017. № 4. P. 148–160. ISSN 2223-9987.
4. Romm E. S. Structural models of the pore space of rocks. Leningrad : Nedra, [Strukturnye modeli porovogo prostranstva gornykh porod // Leningrad : Nedra]1985. 240 p.
5. Kurochkina M. I. Specific surface of dispersed materials: theory and calculation. Leningrad. : Publishing House of Leningrad University, [Udel'naya poverkhnost' dispersnykh materialov: teoriya i raschet. Leningrad. : Izd-vo Leningradskogo universiteta] 1980. 137 p.
6. Pocket P. C. Flow of gases in porous media. Butterworths scientific publications, 1956. P. 182.
7. Leibenzon L. S. Movement of natural liquids and gases in a porous medium. Moscow : State Publishing House of Technical and Theoretical Literature, [Dvizhenie prirodnnykh

- zhidkostej i gazov v poristoj srede. M. : Gosudarstvennoe izdatel'stvo tekhniko-teoreticheskoy literatury] 1947. 244 p.
8. Happel D. Hydrodynamics at low Reynolds numbers / Trans. from English by V. S. Berman, V. G. Markov, ed. by Yu. Buevich. M. : Mir, [gidrodinamika pri malykh chislakh Rejnol'dsa / Per. s angl. V. S. Bermana, V. G. Markova / pod red. Yu. A. Buevicha. M. : Mir] 1976. 630 P.
 9. Masket M. Flow of homogeneous fluids in a porous medium / Trans. from English by M. A. Gaiman. M. : Scientific and Research Centre «Regular and chaotic dynamics», [Tehenie odnorodnykh zhidkostej v poristoj srede / Per. s angl. M. A. Gejman. M. : NITS «Regulyarnaya i khaoticheskaya dinamika»] 2004. 628 p. ISBN 5-93972-293-8.
 10. Collins R. Flow of fluids through porous materials / Transl. from English by R. L. Salganik : ed. by G. I. Barenblatt. Moscow : Mir, [Teheniya zhidkostej cherez poristye materialy / Per. s angl. R. L. Salganika : pod red. G. I. Barenblatta. M. : Mir] 1964. 350 P.

Статья сдана в редакцию 11 ноября 2021 года

Публикуется в авторской редакции

Организация и логистика

УДК 65.012.23

А. Я. Бутыркин, В. А. Гелис, Е. Б. Куликова

Особенности применения прогрессивных методов предиктивного моделирования для решения задач на транспорте

DC 65.012.23

A. Ya. Butyrkin, V. A. Gelis, E. B. Kulikova

Features of application of progressive methods of predictive modeling for solving problems on transport

Аннотация

В работе произведен анализ потенциала подходов к прогнозированию на основе прогрессивных методов предиктивного моделирования применительно к транспортной сфере. В контексте особенностей российской и зарубежной бизнес-практик рассмотрены возможности современных технологий для работы с данными, сформированы формализующие их специфику схемы и концептуальные модели. Описаны характерные особенности распространённых алгоритмов и методов, отмечены риски и недостатки

необоснованного применения традиционных предиктивных моделей на примере простых и множественных регрессий.

Отдельное внимание в работе уделено потенциалу машинного обучения в решении прикладных транспортных задач. К рассмотрению представлено авторское определение методов машинного обучения, характеризующее их положение по отношению к иным классам рациональных подходов и методов поддержки принятия решений. Обозначены перспективы, достоинства и вызовы применения

современных алгоритмических имплементаций концепции машинного обучения для прогнозирования на примере аналогии с использованием методов Монте-Карло. Представлены к рассмотрению результаты оценки перспективных моделей на примере рекуррентных нейронных сетей архитектуры долгой краткосрочной памяти типа LSTM для прогнозирования временных рядов, а также проблематика внедрения подобных моделей в производственную практику транспортных компаний.

Ключевые слова: транспортная логистика, пасса-

Статья рекомендована к опубликованию д-р техн. наук, профессором Уральского государственного университета путей сообщения В. М. Сай. E-mail: vsay@usurt.ru.

Александр Яковлевич Бутыркин, д-р экон. наук; кафедра «Управление транспортным бизнесом и интеллектуальные системы» Российского университета транспорта (МИИТ); Москва, Россия. E-mail: a_butyркиn@mail.ru. ORCID 0000-0002-5424-1307.

Екатерина Борисовна Куликова, канд. техн. наук, доцент; кафедра «Управление транспортным бизнесом и интеллектуальные системы» Российского университета транспорта (МИИТ); Москва, Россия. E-mail: iuit_kulikova@inbox.ru. ORCID 0000-0002-2904-0626.

Владислав Александрович Гелис, специалист; АО «ИЭРТ»; E-mail: gelis.vlad@gmail.com. ORCID 0000-0001-5628-2340.

The article is recommended for publication by Dr. Techn. of Sciences, Professor of Ural State University of Railways V.M. Say. E-mail: vsay@usurt.ru.

Alexander Yakovlevich Butyrkin, Doctor of Economics; Chair of Transport Business Management and Intelligent Systems of the Russian University of Transport (MIIT); Moscow, Russia. E-mail: a_butyркиn@mail.ru. ORCID 0000-0002-5424-1307.

Ekaterina Borisovna Kulikova, Candidate of Technical Sciences, Associate Professor; Chair of «Transport Business Management and Intelligent Systems» of the Russian University of Transport (MIIT); Moscow, Russia. E-mail: iuit_kulikova@inbox.ru. ORCID 0000-0002-2904-0626.

Vladislav Aleksandrovich Gelis, specialist; JSC «IERT»; E-mail: gelis.vlad@gmail.com. ORCID 0000-0001-5628-2340.

жирские перевозки, предиктивное моделирование, предиктивная аналитика, прогнозирование, большие данные, машинное обучение, прогрессивные технологии.

DOI: 10.20291/2079-0392-2021-4-68-78

Abstract

The paper analyzes the potential of forecasting approaches based on progressive methods of predictive modeling in relation to the transport sector. In the context of peculiarities of Russian and foreign business practices, the possibilities of modern technologies for working with data are considered, schemes and conceptual models formalizing their specifics are formed.

Characteristic features of common algorithms and methods are described, the risks and disadvantages of unjustified use of traditional predictive models on the example of simple and multiple regressions are shown.

Special attention is paid to the potential of machine learning in solving applied transport problems. The author's definition of machine learning methods is presented for consideration, characterizing their position in relation to other classes of rational approaches and methods of decision support. The prospects, advantages and challenges of using modern algorithmic implementation of the machine learning concept for fore-

casting are outlined by the example of analogy using Monte Carlo methods. The results of evaluation of promising models on the example of recurrent neural networks of the architecture of long-term short-term memory such as LSTM for time series forecasting, as well as the problems of introducing such models into the production practice of transport companies, are presented for consideration.

Keywords: transport logistics, passenger transportation, predictive modeling, predictive analytics, forecasting, big data, machine learning, advanced technologies.

DOI: 10.20291/2079-0392-2021-4-68-78

Актуальная стратегия развития Российской Федерации ставит целевую установку на преодоление технологического отставания, концентрацию на отраслях экономики с высокой добавленной стоимостью [1]. Из этого следует, что роль транспорта – основного драйвера экономического роста, выполняющего функцию пространственной интеграции страны, – должна существенно возрасти в соответствии с общими объемами государственного субсидирования.

Специфика современной экономической конъюнктуры позволяет рассматривать потенциальный вклад прогрессивных цифровых технологий в повышение результативности производственной деятельности не сквозь призму суплементарности – второстепенности, опосредованности, но как фундаментальный фактор устойчивого стратегического развития компании. Так, более точный и своевременный прогноз может выступать не только в роли средства предупреждения событий для дальнейшей реактивной адаптации компании, но и в роли основы для упреждения – целенаправленной деятельности

по нивелированию проецируемых негативных событий, максимизации конкурентных преимуществ, непрерывной адаптации.

Очень популярно утверждение о наименьшей капиталоемкости и наибольшей экономической эффективности целевых процедур по внедрению улучшений в области интеллектуальных цифровых технологий [2]. Усиливается тенденция мультипликативного роста рыночного веса цифровых экосистем (Sber, Яндекс, VK) и сайтов-агрегаторов (Aviasales, Avito, Ozon), специализирующихся на получении эффекта левериджа от использования предиктивных алгоритмов, которые базируются на методах для работы с большими данными. Компании, не желающие должным образом приспосабливаться к «цифре», со временем утрачивают конкурентные преимущества и уходят с рынка (Трансаэро, Юлмарт, Pan Am и многие другие).

Логистика, являясь чрезвычайно сложным с вычислительной точки зрения направлением, представляется генеральным бенефициаром улучшений, связанных с интеллектуальными

технологиями для работы с данными [3]. Иначе говоря, на смену историческим факторам «созидательного разрушения» прошлого века, вдохновлявших Й. Шумпетера и его современников, приходят совершенно иные «подрывные инновации», кардинальным образом изменяющие соотношение ценностей на рынке. Задача рассмотрения некоторых особенностей прогрессивных методов предиктивного моделирования в контексте транспортной сферы в соответствии с практическим спросом на компетенции в генеральной области познания очень актуальна.

Интернет вещей, плотно вошедший в производственную практику современных транспортных компаний, делает возможным накопление огромных массивов данных, ранее не востребованных из-за сложности сбора и извлечения «полезности», дороговизны их обработки и хранения. На фоне тенденций, описываемых основным следствием закона Мура (исторически фиксируемый экспоненциальный рост располагаемых вычислительных мощностей, главным образом проявляющийся в их удешевлении), чрезвычайным динамизмом стали обладать аналитические методы, способные масштабироваться вместе с ростом объемов доступных данных [4].

В подобном контексте высокий потенциал демонстрируют алгоритмы машинного обучения, позволяющие производить алгоритмическое извлечение из располагаемых данных сигнала – информации, репрезентативной и показательной о его истинной природе объекта исследования, – с помощью которого можно производить высокоточное проецирование будущих состояний системы – динамики макроэкономического климата, внешней деловой среды или внутреннего операционного функционирования компании, – результирующее существенным снижением меры неопределенности, снижая вероятность ошибки при принятии стратегических решений.

Значимость развития и популяризации методологических основ принятия

решений в условиях частичного или полного отсутствия информации обусловлена тем, что итоговая результативность принятого системой стратегического вектора развития может быть полностью редуцируема до заложенных в его основание прогнозов количественного или качественного характера, строго формализованных или интуитивных, подсознательных [5]. Классификация широко распространенных методов принятия решений на основе разработки предсказаний представлена на рис. 1.

Каждый из представленных схемой уровней детализации методов определен классифицирующими его признаками (мера формализованности, общий принцип функционирования, форма разработки и представления прогноза). Обособленно стоят модели, основанные на методах машинного обучения, представляющие собой интеграцию представленных в классификации условных подходов (экспертных и формализованных). Такая особенность мешает произведению их однозначной теоретической категоризации.

Машинное обучение – строго прикладная дисциплина, лежащая в основе всякой современной имплементации искусственного интеллекта – от автоматически прилаживающихся регрессионных моделей (аналитические модули на примере Google Tensorflow и др.) до чат-ботов (Yandex Алиса и др.). Характерная черта методов дисциплины – не прямое решение задачи путем применения заранее заданной инструкции, формулы или программного кода, а на базе итеративного поиска паттернов, зависимостей и закономерностей в информации об объекте исследования (то есть ранее упомянутого сигнала); такого рода автоматизированный поиск называют обучением модели [6, 7].

Методология машинного обучения базируется на средствах математической статистики, численных методах, математическом анализе, методах оптимизации, теорий вероятностей, графов,

а также на различных техниках работы с цифровыми данными; прикладная дисциплина обладает прямой взаимозависимостью от технологий интернета вещей и методов обработки больших данных [8].

Интегральное представление класса методов машинного обучения во взаимозависимости со смежными технологиями представлено на рис. 2.

Если применять прогрессивные предиктивные модели, то можно решить



Рис. 1. Классификация методов поддержки процесса принятия стратегических решений

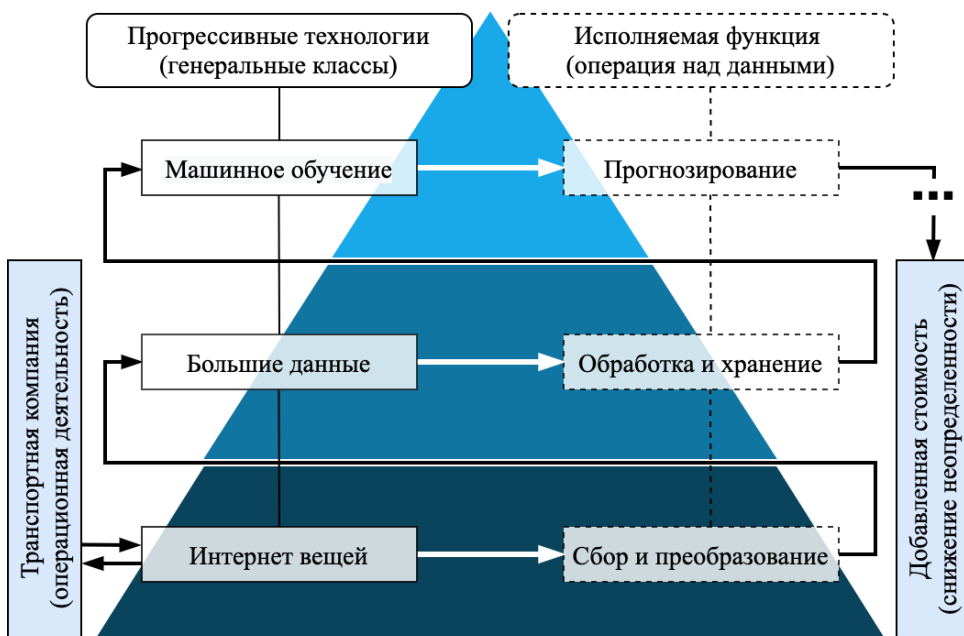


Рис. 2. Интегральное представление прогрессивных интеллектуальных технологий в контексте транспортной сферы

практически весь спектр типовых проблем, возникающих в производственной деятельности на транспорте; проблем, в той или иной мере сводимых к количественному выражению. Так, алгоритмы по типу методов машинного обучения, обладая высоким потенциалом в производственных сферах, характеризующихся необходимостью производства большого количества высокоинтенсивных вычислительных операций, представляют собой универсальное решение.

Традиционные статистические алгоритмы, несмотря на концептуальную понятность и простоту их применения, зачастую не соответствуют сложности анализируемых явлений. Неосмотрительное применение методов подбора функции, объясняющей временной ряд, для дальнейшей экстраполяции полученным уравнением тренда может привести к критическим ошибкам. Джордж Бокс писал: «В сущности, все модели неправильны, но некоторые полезны»; действительно, все модели неправильны, однако некоторые из них на практике оказываются значительно «неправильнее» других.

Специфика проблематики представлена на графическом примере из области пассажирской логистики; в качестве эталонной модели используется линейная регрессия (рис. 3).

Таким образом, при прогнозировании будущих состояний объекта историческая ретроспектива может оказаться бесполезной; более того, методы оценки моделей (RMSE, MAPE, MAE и др.) могут быть несостоятельными для идентификации неточных, ложных моделей. В качестве альтернативы выступают более сложные и гибкие алгоритмы, не предпринимающие попытки объяснения сложных явлений в простых для восприятия функциях, унивариативных моделях.

Постановка задачи прогнозирования на базе формализованных количественных методов в терминах машинного обучения может быть сформулирована следующим образом. Пусть X – множество признаков исследуемого объекта (матрица независимых переменных), \bar{y} – соответствующие признакам ответные значения объекта (зависимые переменные), сдвинутые (по направлению



Рис. 3. Оценка генерализируемости эталонной модели на примере линейной регрессии

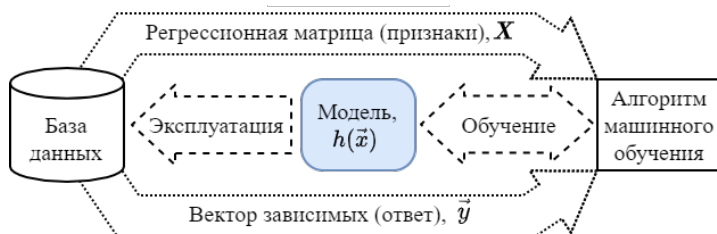


Рис. 4. Концептуальное представление процесса разработки модели-предиктора

в прошлое) в соответствии с заданным горизонтом прогнозирования. Существует некоторая неизвестная целевая зависимость $X_{t-1} \rightarrow y_t$, алгоритмическое исследование которой возможно на основе располагаемых ретроспективных данных по объекту исследования – $X^m = \{(x_t, y_{t+1}), \dots, (x_{t+n}, y_{t+2n})\}$ [9].

Концептуальная репрезентация процесса моделирования представлена на рис. 4.

Задача прогнозирования сводится к генерации модели $h(\bar{x})$, которая приближала бы целевую зависимость как на обучающих, так и на новых данных, представленных тестовой выборкой (так называемых отложенных данных, применяемых для отладки). Используемый для обучения алгоритм должен обобщать эмпирические факты или выводить общее знание (закономерность, зависимость) из частных фактов (наблюдений, прецедентов), обладать так называемой способностью к генерализации, позволяющей результирующим моделям формировать при практической эксплуатации точные проекции будущего хода событий в рамках заданного сдвига временного горизонта (при наличии в ретроспективе сигнала) [10].

Рассмотрим пример из сферы пассажирской логистики, где с применением простейших манипуляций с данными – преобразование к относительным значениям (к процентному изменению) и годичный сдвиг вектора зависимых – можно обнаружить существенную меру сигнала во внешней среде, способствующего высокоточному прогнозированию целевых индикаторов (отправление пассажиров). Машинное обучение позволяет

итеративно производить сотни подобных операций в секунду, без участия человека, конкретизируя и формализуя полученные результаты в виде динамически изменяющихся гибких коэффициентов эксплуатируемых математических абстракций, подаваемых алгоритмами на выходе [11].

Графическая репрезентация процесса поиска целевых зависимостей без применения автоматизирующих процесс методов представлена на рис. 5.

Формализованный процесс подбора независимых может быть описан в рамках процедуры проверки статистических гипотез. Одним из наиболее распространенных в современной практике непараметрических методов проверки гипотез является бутстрэп – алгоритм на основе методов Монте-Карло (ММК), производящий автоматизированную генерацию и последующую оценку практически неограниченного количества уникальных псевдовыборок, извлеченных из имеющегося набора данных [12]. Так, из временного ряда, соответствующего региональному пассажиропотоку за 20 лет (2001–2020 гг.) и имеющего частоту в один год, с применением ММК может быть извлечено примерно 69 млрд уникальных псевдовыборок, доступных при прогнозировании.

Количество элементов, входящих в пространство возможных уникальных исходов (псевдовыборок), может быть рассчитано по следующей комбинаторной формуле:

$$\overline{C}_n^k = \binom{n}{k} = \frac{(n+k-1)!}{k! \cdot (n-1)!}. \quad (1)$$

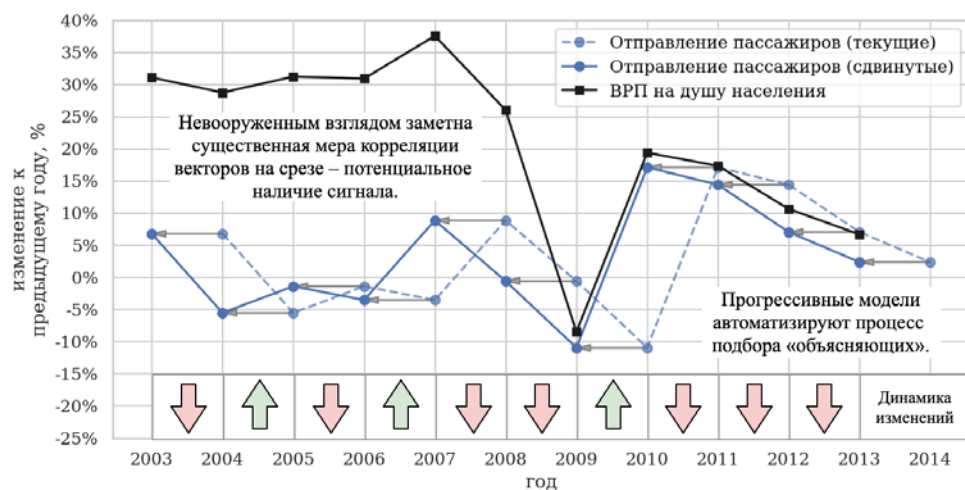


Рис. 5. Взаимосвязь агрегированного спроса на услуги и макроэкономики государства

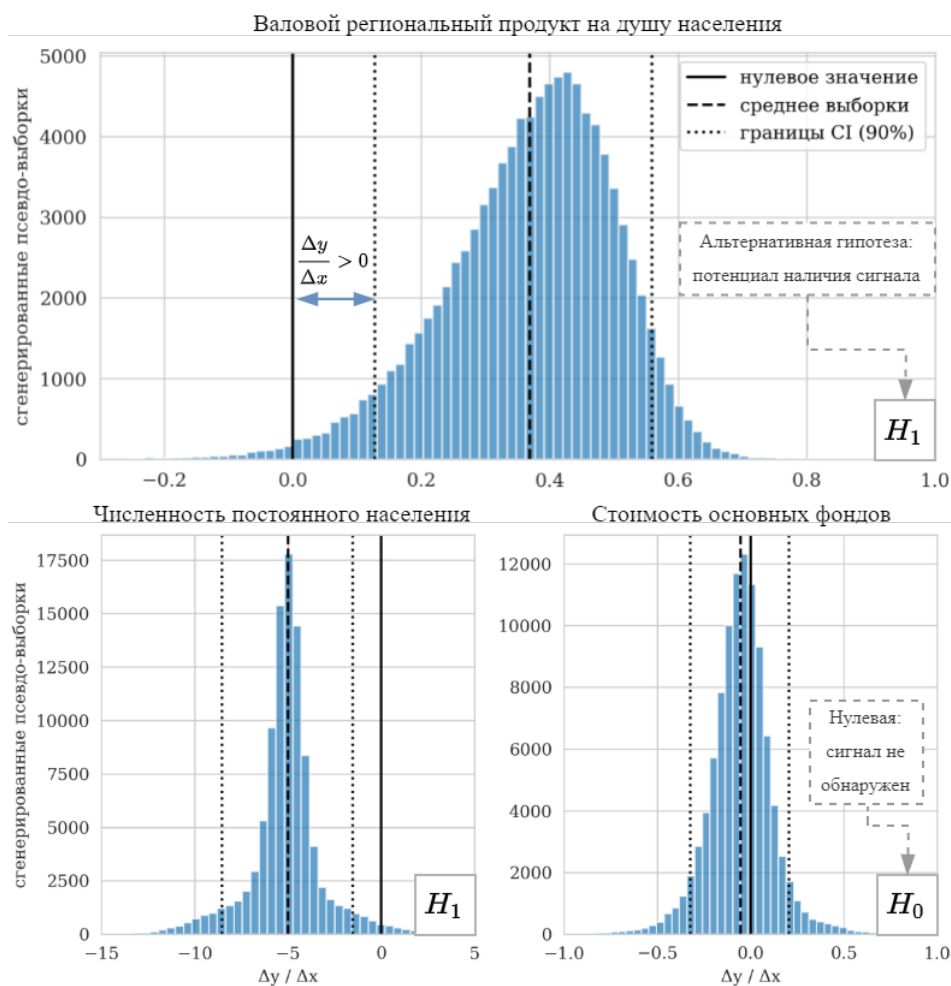


Рис. 6. Поиск сигнала путем проверки гипотез на основе методов Монте-Карло (бутстрэп)

Таким образом, сущность процесса подбора признаков (или независимых переменных модели) на основе ММК заключается в замещении человеческой экспертизы вычислительными мощностями компьютера; алгоритм применяется аналитических пайплайнах (в т.ч. при машинном обучении).

Процедура оценки взаимозависимости значений пассажиропотока и макроэкономических индикаторов на основе ММК представлена на рис. 6.

Принятые в рамках визуализации переменные отобраны не в случайном порядке: показатели средней численности постоянного населения и стоимости основных фондов являются образующими широко применяемого при эконометрическом моделировании алгоритма – производственной функции Кобба – Дугласа. Этот алгоритм отражает зависимость объемов производства Q (ВРП) от образующих его факторов – затрат труда L (среднегодовая численность постоянного населения) и капитала K (стоимость основных фондов на конец года) [13].

Общий вид производственной функции Кобба – Дугласа:

$$Q = A \cdot L^\alpha \cdot K^\beta, \quad (2)$$

где Q – производственные объемы; A – технологический коэффициент; L – затраты труда; α – коэффициент эластичности по труду; K – затраты капитала; β – коэффициент эластичности по капиталу.

Пример (2) демонстрирует как превосходство прогрессивных методов предиктивной аналитики, так и несовершенство традиционных моделей, подобных производственной функции Кобба – Дугласа. Здесь попытка применения статичного по структуре алгоритма Кобба – Дугласа приводит к построению зашумленной модели (независимая K не обладает сигналом). Так, строгая структура, не допускающая определенной меры гибкости, может выступать серьезным ограничивающим фактором,

препятствующим попыткам разработки релевантных прогнозных проекций.

Прогрессивные цифровые технологии, существенным образом упрощая процесс поиска сигнала в данных, обладают чрезвычайно высоким потенциалом при аналитике на транспорте. Их применение позволяет не только расширять традиционные алгоритмы, но и генерировать качественно новые комплексные пайплайны, применяться при разработке прогрессивных предиктивных моделей на основе архитектуры искусственных нейронных сетей.

Искусственные нейронные сети – это абстрактные математические модели, основанные на структурно-функциональных принципах биологических нейронных сетей, которые лежат в основе всякого осознанного действия высокоорганизованных организмов, то есть действия, не поддающегося редукционированию до инстинктов и условных рефлексов.

Обучаемость – фундаментальная компонента интеллектуальных систем, одновременно и ключевое преимущество нейронных сетей перед традиционными математико-статистическими алгоритмами. С технической точки зрения, процесс обучения заключается в нахождении оптимальных коэффициентов связей между нейронами, которые представляют собой базовые элементы структуры нейросетей [14].

Простейшая LSTM нейронная сеть может быть формализована в следующем виде [15]:

$$\begin{aligned} f_t &= \sigma_g(W_f \cdot x_t + U_f \cdot h_{t-1} + b_f), \\ i_t &= \sigma_g(W_i \cdot x_t + U_i \cdot h_{t-1} + b_i), \\ o_t &= \sigma_g(W_o \cdot x_t + U_o \cdot h_{t-1} + b_o), \\ c_t &= f_{t-1} \cdot c_{t-1} + i_{t-1} \cdot \sigma_c(W_c \cdot x_t + U_c \cdot h_{t-1} + b_c), \\ h_t &= o_t \cdot \sigma_h(c_t), \end{aligned} \quad (3)$$

где x_t – входной вектор; h_t – выходной вектор; c_t – вектор состояний; W , U и b – матрицы и вектор параметров модели; f_t – векторы вентиля забывания (запоминание старой информации); i_t – вектор входного вентиля (получение новой

информации); o_t – вектор выходного вентиля (кандидат на выход).

Таким образом, в процессе обучения нейросеть выявляет комплексные связи и зависимости между входными и выходными данными, обобщает информацию. В результате успешного обучения генерируется модель, способная к возврату правильных результатов (в рамках критериев оценки качества) на основании данных, отсутствующих в обучающей выборке [16].

Результаты оценки точности алгоритмов как на искусственно сгенерированных, так и на реальных данных сферы пассажирской логистики свидетельствуют о возможности с помощью

представленных подходов к моделированию осуществлять высокоточное прогнозирование целевых индикаторов варьирующейся сложности, почти полностью нивелируя закономерную вариативность и зашумленность в подаваемых векторах. Так, рекуррентная нейронная сеть для прогноза временных рядов демонстрирует точность до 1 % ошибки прогноза (в зависимости от сложности применяемой модели).

Обучение и тестирование рекуррентной LSTM-сети представлены на рис. 7.

Результат применения прогрессивных моделей-предикторов превосходит возможности любых традиционных подходов к прогнозированию, в том числе методик подбора функции или более

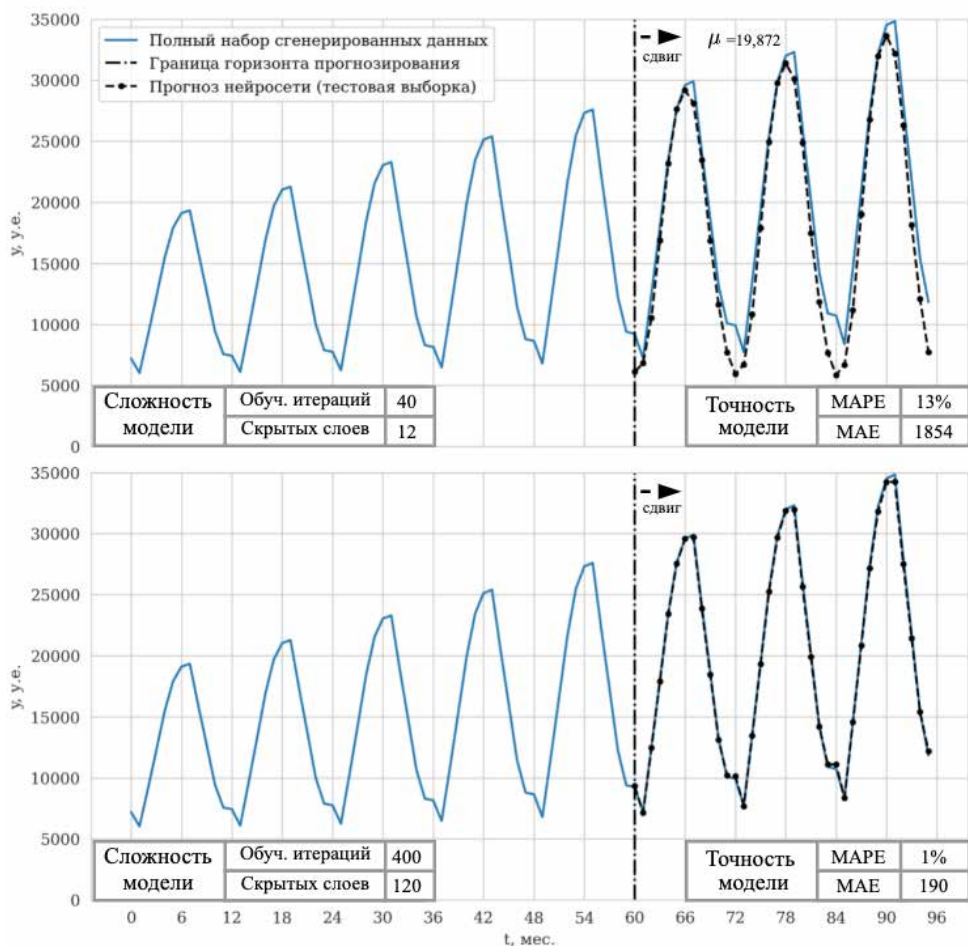


Рис. 7. Обучение и тестирование нейронных сетей для прогноза пассажиропотока

сложные авторегрессоров по типу методов Бокса – Дженкинса. Кроме явных преимуществ, связанных с повышением точности прогнозов, переход транспортных компаний к предиктивным алгоритмам сократит применение человеческого фактора, позволяя автоматизировано сгенерированным на основе поданных данных «ad hoc» моделям систематически подстраиваться (или переобучаться) в соответствии с изменяющимися условиями среды.

Результирующая обученная нейронная сеть представляет собой массивный набор числовых коэффициентов, не имеющих очевидной связи с феноменами, описываемыми с их помощью; сам же процесс обучения – лингвистический конструкт, имеющий мало общего с обучением человека, поддающимся причинно-следственному членению (в отличие от специфики функционирования типовых нейронных сетей).

Так, в качестве основных недостатков подходов представляются аспекты, связанные со сложностью инструментов: высокая комплексность математических абстракций и относительно низкая интерпретируемость моделей.

Пока предиктивные модели не способны в полной мере заменять человеческую экспертизу, но адаптация транспортными компаниями перспективных алгоритмов в рамках совершенствования методологии принятия стратегических решений может способствовать повышению качества принимаемых управленческих решений со значительным снижением экономических издержек и общей оптимизацией производственной деятельности компании.

В результате описанного исследования была разработана высокоточная предиктивная модель на основе методов машинного обучения – нейронная сеть на базе архитектуры долгой краткосрочной памяти. Результаты оценки точности нейросети свидетельствуют о возможности посредством применяемого подхода к моделированию осуществлять высокоточное прогнозирование целевых индикаторов, нивелируя существенные объемы шума в больших данных (точность вплоть до 1 % ошибки прогноза для «сложной» модели; со сбалансированным результатом в 3 %). В качестве ключевого недостатка нейронных сетей, применяемых в работе для унивариативного прогноза пассажиропотока, обозначена высокая сложность интерпретации данного класса моделей, связанная с общей комплексностью инструмента прогнозирования.

По результатам произведенного анализа можно обозначить высокий потенциал прогрессивных алгоритмов прогнозирования на основе методов машинного обучения. Путем итеративного поиска сигнала в практически неограниченных массивах располагаемых данных (вследствие широкого внедрения технологии интернета вещей), в отсутствие любых глобальных рисков и финансовых издержек данной процедуры возможна генерация дополнительной стоимости как для компаний транспортной сферы, так и организаций любых других направлений производственной деятельности, характеризующихся высокой вычислительной сложностью и комплексностью операционных процессов. ■

Литература

1. Стратегия научно-технологического развития Российской Федерации. URL: <http://static.kremlin.ru/media/acts/files/0001201612010007.pdf> (дата обращения: 11.09.21).
2. Интегрированная транспортная система. URL: <https://www.csr.ru/upload/iblock/9f5/9f59e8789c4af88f7a67ce69c17d288e.pdf> (дата обращения: 12.09.21).
3. Notes from the AI frontier: Applications and value of deep learning [Электронный ресурс] / McKinsey & Company, 2018. URL: <https://www.mckinsey.com/featured-insights/artificial-intelligence/notes-from-the-ai-frontier-applications-and-value-of-deep-learning> (дата обращения: 13.09.21).
4. Bostrom N., Ryan N. Superintelligence. Oxford University Press, 2015. 352 p.

5. Gans J., Goldfarb A. Prediction Machines: The Simple Economics of Artificial Intelligence. Harvard Business Review Press, 2018. 272 p.
6. Tegmark M., Shapiro R. Life 3.0: Being Human in the Age of Artificial Intelligence. Random House Audio, 2017. 280 p.
7. Gareth J., Witten D. An Introduction to Statistical Learning. Springer, 2021. 622 p.
8. Deisenroth M. Mathematics for Machine Learning. Cambridge University Press, 2020. 398 p.
9. Hastie T., Tibshirani R., Friedman J. The Elements of Statistical Learning: Data Mining, Inference, and Prediction. Springer, 2016. 767 p.
10. Hyndman R., Athanasopoulos G. Forecasting: Principles and Practice. OTexts, 2018. 382 p.
11. Russell S., Norvig P. Artificial Intelligence: A Modern Approach. Pearson, 2020. 1136 p.
12. Bruce P., Bruce A. Practical Statistics for Data Scientists. O'Reilly Media, 2020. 368 p.
13. Kuhn M., Johnson K. Applied Predictive Modeling. Springer, 2013. 613 pp.
14. Bishop C. Pattern Recognition and Machine Learning. Springer-Verlag, 2006. 758 p.
15. Shi X., Chen Z., Wang H., Yeung D., Wong W., Woo W. Convolutional LSTM Network: A Machine Learning Approach for Precipitation Nowcasting. Proceedings of the 28th International Conference on Neural Information Processing Systems journal, 2015. arXiv:1506.04214.
16. Geron A. Hands-On Machine Learning with Scikit-Learn, Keras, and TensorFlow: Concepts, Tools, and Techniques to Build Intelligent Systems. O'Reilly Media, 2019. 510 p.

List of references

1. The strategy of scientific and technological development of the Russian Federation. [Strategiya nauchno-tekhnologicheskogo razvitiya Rossijskoj Federatsii] URL: <http://static.kremlin.ru/media/acts/files/0001201612010007.pdf> (accessed on: 11.09.21).
2. Integrated transport system. [Integrirovannaya transportnaya sistema.] URL: <https://www.csr.ru/upload/iblock/9f5/9f59e8789c4af88f7a67ce69c17d288e.pdf> (accessed: 12.09.21).
3. Notes from the AI frontier: Applications and value of deep learning [Electronic resource]/ McKinsey & Company, 2018. URL: <https://www.mckinsey.com/featured-insights/artificial-intelligence/notes-from-the-ai-frontier-applications-and-value-of-deep-learning> (accessed: 13.09.21).
4. Bostrom N., Ryan N. Superintelligence. Oxford University Press, 2015. 352 p.
5. Gans J., Goldfarb A. Prediction Machines: The Simple Economics of Artificial Intelligence. Harvard Business Review Press, 2018. 272 p.
6. Tegmark M., Shapiro R. Life 3.0: Being Human in the Age of Artificial Intelligence. Random House Audio, 2017. 280 p.
7. Gareth J., Witten D. An Introduction to Statistical Learning. Springer, 2021. 622 p.
8. Deisenroth M. Mathematics for Machine Learning. Cambridge University Press, 2020. 398 p.
9. Hastie T., Tibshirani R., Friedman J. The Elements of Statistical Learning: Data Mining, Inference, and Prediction. Springer, 2016. 767 p.
10. Hyndman R., Athanasopoulos G. Forecasting: Principles and Practice. OTexts, 2018. 382 p.
11. Russell S., Norvig P. Artificial Intelligence: A Modern Approach. Pearson, 2020. 1136 p.
12. Bruce P., Bruce A. Practical Statistics for Data Scientists. O'Reilly Media, 2020. 368 p.
13. Kuhn M., Johnson K. Applied Predictive Modeling. Springer, 2013. 613 pp.
14. Bishop C. Pattern Recognition and Machine Learning. Springer-Verlag, 2006. 758 p.
15. Shi X., Chen Z., Wang H., Yeung D., Wong W., Woo W. Convolutional LSTM Network: A Machine Learning Approach for Precipitation Nowcasting. Proceedings of the 28th International Conference on Neural Information Processing Systems journal, 2015. arXiv:1506.04214.
16. Geron A. Hands-On Machine Learning with Scikit-Learn, Keras, and TensorFlow: Concepts, Tools, and Techniques to Build Intelligent Systems. O'Reilly Media, 2019. 510 p.

Статья сдана в редакцию 13 октября 2021 года

УДК 656.02/338.583

А. А. Зенкин, А. Ю. Сондырева

Использование методики выбора маршрута доставки грузов в смешанном сообщении на основе сетевого графика при транспортировке в цепях поставок

UDC 656.02/338.583

A. A. Zenkin, A. Y. Sodyreva

Using the methodology of choosing the route of cargo delivery in intermodal traffic based on the network schedule during transportation in supply chains

Аннотация

Рассматривается использование методических приемов выбора маршрута доставки груза при интермодальных перевозках контейнерных грузов на основе построения сетевого графика при транспортировке в цепях поставок. В основе сетевого графика, каждый из путей которого соответствует определенным путям доставки грузов разными видами транспорта и их комбинациям, лежит последовательное суммирование работ от начального события формирования партии груза до конечного события – его доставки конечному потребителю. Каждая работа позволяет учитывать два важнейших показателя, соответствующих времени и стоимости

ее выполнения, а полный путь позволяет определить приведенную стоимость перевозки груза и упущенную в процессе доставки выгоду, связанную с продолжительностью нахождения груза в пути следования. Этот алгоритм демонстрируется на примере перевозки бытовой техники разными видами транспорта на маршруте Шанхай – Москва. В качестве обобщающего определителя выбора приоритетного направления перевозки используется сводный показатель минимизации времени, стоимости и приведенной стоимости в условиях неопределенности с учетом критериев Лапласа, Вальда, Сэвиджа и Гурвица.

Представленный алгоритм служит инструмен-

тарием, позволяющим лицам, принимающим решения (ЛПР), участникам перевозочного процесса и другим заинтересованным сторонам (владельцам инфраструктуры и подвижного состава, транспортно-экспедиторским и операторским компаниям, грузовладельцам) достоверно оценивать эффективность вариантов осуществления перевозок в цепях поставок и адекватно реагировать на возможные изменения меняющихся условий в течение всего периода выполнения договорных обязательств.

Ключевые слова: цепи поставок, приведенная стоимость, груз, ставка дисконтирования, транспорт, условия неопределенности, таможенные операции, логистические затраты, приоритетный

Статья рекомендована к опубликованию канд. техн. наук, доцентом Уральского государственного университета путей сообщения В. С. Колокольниковым. E-mail: VKolokolnikov@usurt.ru.

Андрей Анатольевич Зенкин, доцент; кафедра «Логистика и управление транспортными системами» Российского университета транспорта (МИИТ); Москва, Россия. E-mail: zenkin1959@inbox.ru. ORCID 0000-0001-9989-2907.

Александра Юрьевна Сондырева, магистрант; кафедра «Управление транспортным бизнесом и интеллектуальные системы» Российского университета транспорта (МИИТ); Москва, Россия. E-mail: aleksandra.s.o.n29@gmail.com. ORCID 0000-0002-6454-212X.

The article is recommended for publication by candidate techn. sciences, associate professor of the ural state university of railways V. S. Kolokolnikov. E-mail: vkolokolnikov@usurt.ru.

Andrey Anatolyevich Zenkin, Associate Professor; Chair of Logistics and Management of Transport Systems of the Russian University of Transport (MIIT); Moscow, Russia. E-mail: zenkin1959@inbox.ru. ORCID 0000-0001-9989-2907.

Alexandra Yuryevna Sodyreva, Undergraduate; Chair of «Transport Business Management and Intelligent Systems» of the Russian University of Transport (MIIT); Moscow, Russia. E-mail: aleksandra.s.o.n29@gmail.com. ORCID 0000-0002-6454-212X.

вариант доставки, условия неопределенности.

DOI: 10.20291/2079-0392-2021-4-79-87

Abstract

The use of methodological techniques for choosing the route of cargo delivery during intermodal traffic of containerized cargo based on construction of the network schedule for transportation in supply chains is considered. The basis of the network schedule, each of the paths of which corresponds to certain ways of cargo delivery by different modes of transport and their combinations, is the sequential summation of work from the initial event of formation of the consignment

to the final event – its delivery to the final consumer. Each work allows you to take into account two important indicators corresponding to the time and cost of its execution, and the full path allows you to determine the present cost of cargo transportation and the lost benefit in the delivery process associated with the duration of the cargo in transit. This algorithm is demonstrated by the example of the transportation of household appliances by different modes of transport on the Shanghai – Moscow route. As a generalizing determinant of the choice of the priority direction of transportation, a summary indicator is used, minimizing time, cost and

present value under conditions of uncertainty, taking into account the criteria of Laplace, Wald, Savage and Hurwitz.

The presented algorithm serves as a tool that allows decision makers, participants in the transportation process and other concerned parties (owners of infrastructure and rolling stock, freight forwarding and operator companies, cargo owners) to reliably assess the effectiveness of transportation options in supply chains and adequately respond to possible shifts in changing conditions throughout the period of fulfillment of contractual obligations.

DOI: 10.20291/2079-0392-2021-4-79-87

Транспортировка грузов влияет на различные сферы экономической деятельности и управленческие уровни. Конкурентные преимущества для организаций, связанных с внешнеэкономической деятельностью, во многом определяются оптимизацией перевозок грузов с учетом сокращения издержек на доставку, то есть связаны с получением большей выгоды в виде приобретения дополнительной прибавочной стоимости, в том числе за счет снижения времени нахождения груза в пути следования.

Первостепенная задача любой транспортно-экспедиторской фирмы заключается в оптимизации издержек на перевозку грузов.

Необходимо грамотное решение задачи развития и оптимизации логистических процессов в цепях поставок и других логистических задач, связанных с доставкой груза за счет применения различных методов, в том числе с использованием сетевых моделей [1, 2]. Также необходимо выделить целесообразный маршрут доставки груза в интермодальном сообщении из

множества возможных на основе расчетов с использованием разных критериев принятия решения, учетом условий неопределенности и построения сетевого графика.

К интермодальным перевозкам относятся мультимодальные перевозки, выполняемые с использованием интермодальной транспортной единицы, например, контейнера, контрейлера, съёмного кузова [3].

Необходимо определить возможные маршруты доставки контейнерных грузов, построить сетевой график схем доставки груза, определить маршруты схем доставки груза с нахождением предпочтительного маршрута по выбранным критериям (время, стоимость, приведенная стоимость), рассчитать критерии для принятия решения в условиях неопределенности, определить по результатам проведенных расчетов оптимальный вариант доставки грузов в интермодальном сообщении.

Целесообразный маршрут доставки включает комплекс операций из множества выполняемых работ, осуществляемых в ходе перемещения груза.

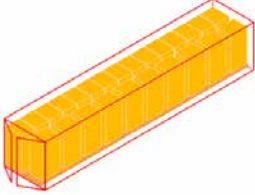
Контейнеры	Упаковка груза
Все контейнеры: 40' dv: 2 шт.	Единиц груза всего: 25 шт. Единиц груза упаковано: 25 шт. (100%)
	Контейнер № 1 (40' dv 1 шт.) Единиц груза упаковано: 25 шт. (100 %) Из них: холодильник Daewoo RSMS580BW – 25 шт. (100 %) объем груза: 34,22 м ³ (51% объема) масса груза: 2500 к (9 % грузоподъемности)

Рис. 1. Размещение груза (бытовой техники) в 40-футовом контейнере

Для описания процесса строится математическая модель в сетевой постановке (сетевая модель).

Модель представляет из себя план выполнения комплекса взаимосвязанных работ, задается в форме сети и графически представляется в виде сетевого графика.

Главными элементами сетевой модели служат работы и события.

Основной показатель сетевых графиков – путь, определяющий последовательность работ или событий, в котором конечный процесс или результат одной стадии совпадает с начальным показателем следующей за нею другой фазы.

Временная характеристика является одним из определяющих факторов, влияющих на выбор варианта доставки груза. В дополнение к временному критерию можно использовать и другие оценочные показатели: стоимость и приведенную стоимость, учитывающую цену перевозимого груза и условиях обеспечения покрытия отвлекаемых из процесса товарооборота денежных средств через норму дисконта. Приемлемым можно считать использование методов сетевого планирования (сетевых графиков) при выборе схем доставки грузов в смешанном сообщении, когда путь доставки складывается из последовательности различных процессов, определяющих вариант осуществления перевозок.

Рассмотрим планирование маршрута доставки груза в интермодальном сообщении из Шанхая до Москвы.

Компания Daewoo обратилась в логистическую компанию для перевозки холодильников, упакованных в коробки и размещенных на палетах в 40-футовом контейнере (рис. 1).

Для определения количества перевозимого груза в контейнере использован инструмент из [4], позволяющий проводить расчет загрузки контейнера или грузовой машины в зависимости от выбранного транспортного оборудования и характеристики перевозимого груза.

Техническая характеристика [5, 6]

Стоимость единицы перевозимого груза (бытовой техники), руб.	44 950
Количество груза, ед.	25
Стоимость груза, перевозимого в 40-футовом контейнере, руб.	1 123 750
Габариты контейнера (наружные), мм	
длина	12 192
ширина	2438
высота	2438
Вес брутто, кг	30 480
Габариты паллеты, мм	
длина	800
ширина	1200
высота	145
Грузоподъемность, кг	750
Высота загрузки, max, мм	2000

Для перевозки необходимы товарно-сопроводительные документы: договор на оказание транспортных, транспортно-экспедиторских услуг по

международной перевозке, коносамент (Bill of Lading), Booking Confirmation, CMR-международная транспортная декларация, поручение отправителя, товарно-транспортная накладная, декларация на товары, акт выполненных работ.

Для транспортировки морским транспортом – договор, котировка, букинг-нот, букинг-лист, поручение на погрузку, драфт коносамента, коносамент, доверенность, грузовой план, штурманская расписка, ТТН, акт досмотра груза, разнарядка на вывоз груза, акт разгрузки, расходный ордер [7].

В качестве критериев выбора вариантов доставки грузов по каждому из маршрутов можно использовать время (T), стоимость (C), приведенную стоимость (C^*).

Приведенная стоимость рассчитывается по формуле:

$$C^* = (C_{\text{груза}} + C_m) \cdot (1 + \Delta)^n,$$

где C^* – оценка стоимости груза и его доставки с учетом фактора времени (интегральная оценка); $C_{\text{груза}}$ – закупочная стоимость груза; C_m – стоимость перевозки; $(1 + \Delta)^n$ – множитель наращивания процентов по процентной ставке Δ за n периодов, $n = T/365$; Δ – средняя банковская ставка по краткосрочным кредитам при выполнении внешнеторговых операций принималась на уровне 15 % годовых.

Характеристики выполняемых по различным маршрутам (вариантам маршрутов) работ с соответствующей временной и стоимостной оценкой приведены в таблице 1.

Пространственно-зависимые схемы доставки груза при смешанных перевозках с учетом различных параметров, используемых для принятия управленческого решения, в общем виде представляются в виде сетевого графика.

На основании построенного сетевого графика (рис. 2) определены восемь возможных маршрутов (16 вариантов) доставки грузов из Шанхая до Москвы.

По критерию «время» определено, что наилучший маршрут включает в себя затаможивание груза в Шанхае, погрузку на железной дороге, доставку из Шанхая до Забайкальска, перегруз на железную дорогу со сменой колеи, доставку из Забайкальска до Москвы, таможенную очистку груза в Москве таможенным брокером, доставку автомобильным транспортом до получателя.

Затраты на перевозку грузов по маршруту, выбранному по параметру «время» (маршрут 4, вариант 8), составили 24 дня, стоимость перевозки – 247 594 руб., приведенная стоимость – 1384 004,50 руб. (рис. 3).

Наилучший по параметрам «стоимость» и «приведенная стоимость» – это маршрут 4 (вариант 7), включающий в себя затаможивание груза в Шанхае, погрузку на железной дороге, доставку из Шанхая до Забайкальска, перегруз на железную дорогу со сменой колеи, доставка из Забайкальска до Москвы с таможенной очисткой груза в Москве собственными силами, доставка автомобильным транспортом до получателя.

Затраты на перевозку грузов по маршруту, выбранному по параметру «стоимость» и «приведенная стоимость» (маршрут 4, вариант 7), составили 26 дней при стоимости перевозки 233 516 руб. и приведенной стоимости 1 370 845,95 руб. (рис. 4).

Для оптимального результата в дальнейших расчетах в соответствии с примененным алгоритмом следует перейти от абсолютных к относительным показателям, приравняв минимальное или максимальное значение в каждом столбце, в данном случае, к единице, а остальные выразив в долях от единицы (таблица 2).

Далее для выбора схемы перевозки можно использовать критерии принятия решения в условиях неопределенности.

Наиболее известны критерии Лапласа, Вальда, Сэвиджа и Гурвица [8], позволяющие принять решение в условиях неопределенности на основе анализа матрицы возможных результатов: строки соответствуют возможным действиям R_j (вариантам доставки грузов),

Таблица 1

Работы по доставке грузов в направлении Шанхай – Москва

№ работы		Характеристика работы	Стоимость, руб.	Время, дни
1	2	Затаможивание груза в Шанхае	11025	1
2	3	Оформление документов и погрузка на морское судно в Шанхае	16380	3
2	4	Оформление документов и погрузка на железную дорогу в Шанхае	12276	2
2	5	Оформление документов и погрузка на автомобильный транспорт в Шанхае	12915	1
3	6	Доставка морским транспортом из Шанхая до Владивостока	81270	5
6	7	Оформление документов и перегрузка с морского судна на железную дорогу	15875	2
6	8	Оформление документов и перегрузка с морского судна на автомобильный транспорт	18459	2
7	17	Доставка из Владивостока до Москвы	154992	16
8	17	Доставка автомобильным транспортом из Владивостока до Москвы	345000	23
4	9	Доставка из Шанхая до Забайкальска	55050	3
9	10	Оформление документов и перегрузка на железную дорогу со сменой колеи	17300	1
9	11	Оформление документов и перегрузка с железной дороги на автомобильный транспорт	13230	2
10	17	Доставка железной дорогой из Забайкальска до Москвы	98200	14
11	17	Доставка автомобильным транспортом из Забайкальск до Москвы	300756	22
4	12	Доставка железной дорогой из Шанхая до Достыка (Казахстан)	69100	5
12	13	Оформление документов и перегрузка с железной дороги на железную дорогу со сменой колеи	17300	2
12	14	Оформление документов и перегрузка с железной дороги на автомобильный транспорт	13230	2
13	17	Доставка железной дорогой из Достыка до Москвы	102759	12
14	17	Доставка автомобильным транспортом из Достыка до Москвы	295300	23
5	15	Доставка автомобильным транспортом из Шанхая до Забайкальска	155875	5
15	16	Оформление документов и перегрузка с автомобильного транспорта на железную дорогу	13230	2
16	17	Доставка железной дорогой из Забайкальска до Москвы	98200	14
5	17	Доставка автомобильным транспортом из Шанхая до Москвы	456631	29
17	18	Таможенная очистка груза в Москве собственными силами	15765	4
17	19	Таможенная очистка груза в Москве таможенным брокером	29843	2
18	20	Доставка автомобильным транспортом до получателя	23900	1
19	20	Доставка автомобильным транспортом до получателя	23900	1

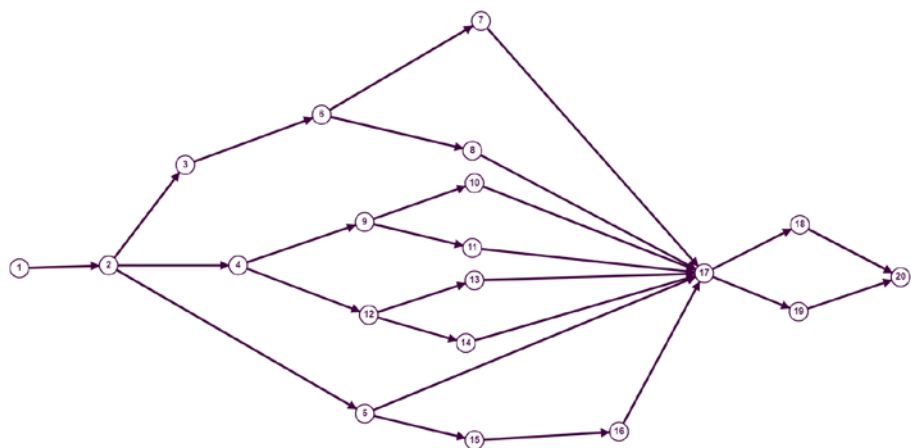


Рис. 2. Сетевой график схем маршрутов (вариантов) доставки груза

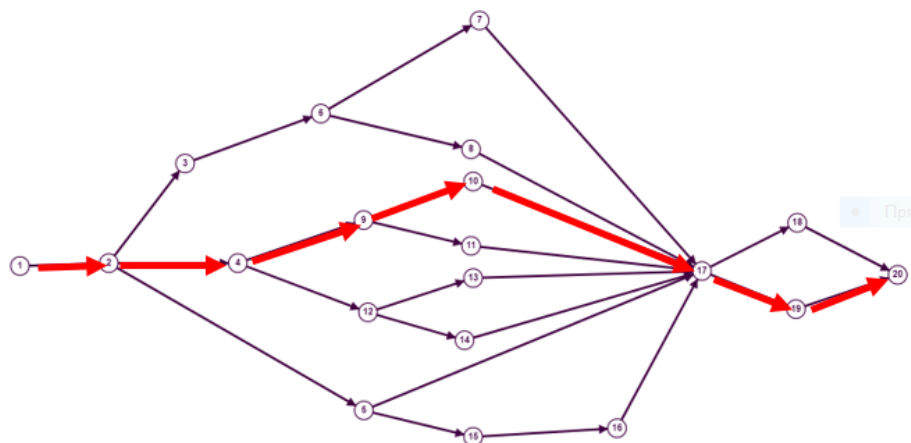


Рис. 3. Сетевой график доставки груза по предпочтительному маршруту (варианту) Шанхай – Москва по критерию «время»

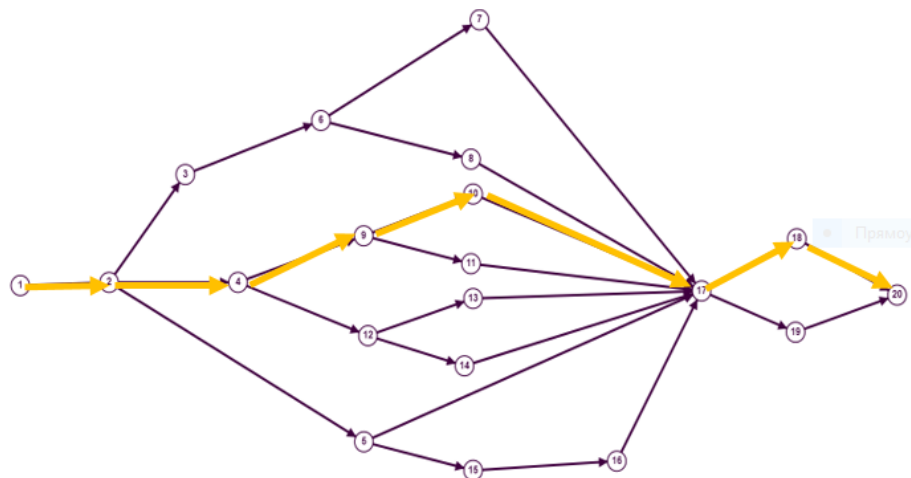


Рис. 4. Сетевой график доставки груза по предпочтительному маршруту (варианту) Шанхай – Москва по критериям «стоимость» и «приведенная стоимость»

Таблица 2

Относительные значения параметров по маршруту Шанхай – Москва

№ маршрута	Схема доставки	Относительные значения параметров		
		T	C	C^*
1 (1)	1-2-5-17-18-20	1,5	2,22783878	1,21589507
1 (2)	1-2-5-17-19-20	1,41666667	2,28812587	1,22536842
2 (3)	1-2-3-6-7-17-18-20	1,33333333	1,36695987	1,06558032
2 (4)	1-2-3-6-7-17-19-20	1,25	1,42724696	1,07515281
3 (5)	1-2-3-6-8-17-18-20	1,625	2,19170849	1,21104541
3 (6)	1-2-3-6-8-17-19-20	1,54166667	2,25199558	1,22053443
4 (7)	1-2-4-9-10-17-18-20	1,08333333	1	1
4 (8)	1-2-4-9-10-17-19-20	1	1,06028709	1,00959885
5 (9)	1-2-5-15-16-17-18-20	1,16666667	1,41707635	1,07257857
5 (10)	1-2-5-15-16-17-19-20	1,08333333	1,47736344	1,0821298
6 (11)	1-2-4-9-11-17-18-20	1,45833333	1,84998887	1,15019653
6 (12)	1-2-4-9-11-17-19-20	1,375	1,91027596	1,1597162
7 (13)	1-2-4-12-13-17-18-20	1,125	1,07969047	1,01409888
7 (14)	1-2-4-12-13-17-19-20	1,04166667	1,13997756	1,02369091
8 (15)	1-2-4-12-14-17-18-20	1,58333333	1,88679148	1,15787956
8 (16)	1-2-4-12-14-17-19-20	1,5	1,94707857	1,16740529

столбцы – возможным состояниям «природы» S_i (критериям доставки), элементы матрицы – результат при выборе j -го действия и реализации i -го состояния V_{ji} [1].

В таблицу 3 сведены результаты расчетов по всем критериям применительно

к решаемой в работе задаче (определение маршрута доставки груза в интермодальном сообщении из Шанхая в Москву).

Выбранный по результатам расчетов наилучший вариант доставки грузов

Таблица 3

Сводные результаты расчетов по выбору маршрута доставки грузов в соответствии с критериями неопределенности

№ маршрута	Критерий Лапласа	Критерий Вальда	Критерий Сэвиджа	Критерий Гурвица
1 (1)	1,64791	2,22783878	1,22783878	1,721867
1 (2)	1,64339	2,28812587	1,28812587	1,756747
2 (3)	1,25529	1,36695987	0,36695987	1,21627
2 (4)	1,25080	1,42724696	0,42724696	1,2512
3 (5)	1,67592	2,19170849	1,19170819	1,701377
3 (6)	1,67140	2,25199558	1,25199558	1,736265
4 (7)	1,02778	1,08	0,08	1,041667
4 (8)	1,02330	1,06028709	0,06028709	1,030144
5 (9)	1,21877	1,41707635	0,41707635	1,030144
5 (10)	1,21428	1,47736344	0,47736344	1,280348
6 (11)	1,48617	1,84998887	0,84998887	1,500093
6 (12)	1,48166	1,91027596	0,91027596	1,534996
7 (13)	1,07293	1,13	0,13	1,069549
7 (14)	1,06845	1,13997756	0,13997756	1,081834
8 (15)	1,54267	1,88679148	0,88679148	1,522336
8 (16)	1,53816	1,94707857	0,94707857	1,557242

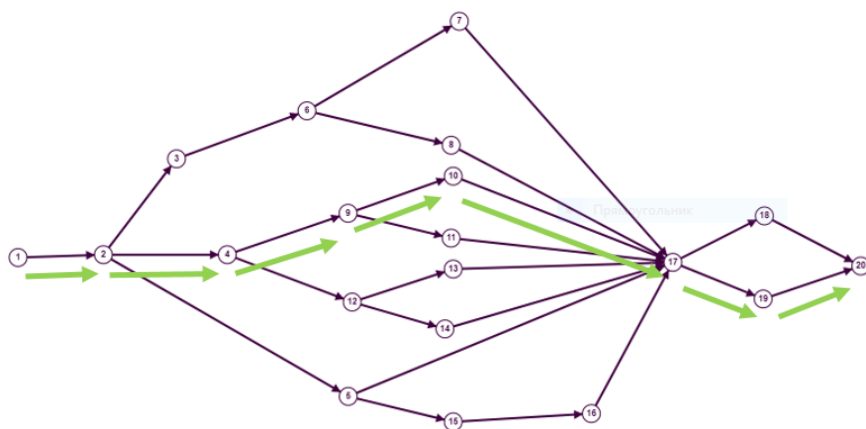


Рис. 5. Сетевой график доставки груза по предпочтительному маршруту (варианту)

с учетом неопределенности (маршрут 4, вариант 8) включает в себя затаможивание груза в Шанхае, погрузку в Шанхае, доставку из Шанхая до Забайкальска, перегрузку на железную дорогу со сменой колеи (Забайкальск), доставку из Забайкальска до Москвы, таможенную очистку груза в Москве таможенным брокером, доставку автомобильным транспортом до получателя.

Затраты оптимального маршрута по результатам расчетов с использованием критериев Лапласа, Вальда, Сэвиджа и Гурвица: 24 дня при стоимости и приведенной стоимости перевозки груза соответственно 233 516 руб. и 1 384 004,50 руб. (рис. 5).

Таким образом, представленный в работе алгоритм выбора оптимального маршрута доставки грузов в цепях поставок при планировании смешанных перевозок (интермодальных перевозок) позволяет определить предпочтительный способ транспортировки грузов конкретными видами транспорта и их комбинирование с участием логистических посредников, привлекаемых для выполнения перевозки.

В работе выполнены расчеты выбора маршрута перевозки импортной

бытовой техники из Шанхая в Москву и даны рекомендации по выбору оптимального с учетом имеющихся в процессе планирования доставки грузов факторов неопределенности применительно к рассматриваемым видам транспорта и комбинациям их использования.

Такой алгоритм служит инструментарием, позволяющим ЛПР, участникам перевозочного процесса и другим заинтересованным сторонам (владельцам инфраструктуры и подвижного состава, транспортно-экспедиторским и операторским компаниям, грузовладельцам) достоверно оценивать эффективность вариантов осуществления перевозок в цепях поставок и адекватно реагировать на возможные изменения меняющихся условий в течение всего периода выполнения договорных обязательств. Для этого рассмотренные, но не принятые варианты доставки грузов не следует отбрасывать, а целесообразно сохранять в виде базы данных, необходимой для анализа и корректировки получаемых результатов на каждом из этапов планирования и выполнения перевозок внешнеторговых грузов. ■

Литература

1. ГОСТ Р 53350–2009 (ИСО 668:1995) Контейнеры грузовые серии 1. Классификация, размеры и масса.

2. Вентцель Е. С. Исследование операций. М. : «Советское радио», 1972. 552 с. ISBN 5-06-003993-5.
3. Зенкин А. А. Методы и задачи сетевого планирования : учебное пособие. М. : КНО-РУС, 2021. 206 с. ISBN 978-5-406-01855-2.
4. Колик А. В. Комбинированные железнодорожно-автомобильные перевозки в цепях поставок. М. : Техполиграфцентр, 2018. 302 с. ISBN 978-5-94385-143-8.
5. Лукинский В. С. Модели и методы теории логистики: учебное пособие. // под ред. В. С. Лукинского. СПб : Питер, 2-е изд. 2008. 448 с. ISBN 978-5-91180-139-7.
6. Расчет загрузки контейнера или грузовой машины: расчет загрузки. URL: <https://www.searates.com/ru/reference/stuffing> (дата обращения: 03.09.2021).
7. Виды, размеры и классификация всех паллет : стандарты. URL: <https://sibautotrans.ru/blog/vidy-razmery-i-klassifikaciya-standartnyh-pallet-i-poddonov> (дата обращения: 05.09.2021).
8. Документы для транспортировки морским транспортом. URL: http://advanceshipping.ru/dokumenty_dlya_transportirovki_morskim_transportom/ (дата обращения: 06.09.2021).

List of references

1. GOST R 53350–2009 (ISO 668:1995) Cargo containers of the series 1. Classification, dimensions and weight. [GOST R 53350–2009 (ISO 668:1995) Kontejnery gruzovye serii 1. Klassifikatsiya, razmery i massa.]
2. Wentczel E. S. Investigation of operations. Moscow : «Soviet radio» [Issledovanie operatsij. M. : «Sovetskoe radio»], 1972. 552 p. ISBN 5-06-003993-5.
3. Zenkin A. A. Methods and task network planning : a manual. M. : KNORUS [Metody i zadachi setevogo planirovaniya : uchebnoe posobie. M. : KNORUS], 2021. 206 p. ISBN 978-5-406-01855-2.
4. Kolik A. V. Combined rail-road transport in supply chains. M. : Tekhpolygrastsentr, [Kombinirovannye zheleznodorozhno-avtomobil'nye perevozki v tsepyakh postavok. M. : Tekhpolygrastsentr] 2018. 302 p. ISBN 978-5-94385-143-8.
5. Lukinsky V. S. Models and methods of logistics theory: teaching aid // edited by V. S. Lukinsky. St. Petersburg : Peter, 2nd ed. [Modeli i metody teorii logistiki: uchebnoe posobie. // pod red. V. S. Lukinskogo. SPb : Piter, 2-e izd.] 2008. 448 p. ISBN 978-5-91180-139-7.
6. Calculation of loading a container or a truck: calculation of loading. [Raschet zagruzki kontejnera ili gruzovoj mashiny: raschet zagruzki.] URL: <https://www.searates.com/ru/reference/stuffing> (accessed on: 03.09.2021).
7. Types, sizes and classification of all pallets : standards. [Vidy, razmery i klassifikatsiya vsekh pallet : standarty.] URL: <https://sibautotrans.ru/blog/vidy-razmery-i-klassifikaciya-standartnyh-pallet-i-poddonov> (accessed on: 05.09.2021).
8. Documents for transportation by sea. [Dokumenty dlya transportirovki morskim transportom.] [URL: http://advanceshipping.ru/dokumenty_dlya_transportirovki_morskim_transportom/ (accessed on: 06.09.2021).

Статья сдана в редакцию 22 октября 2021 года

УДК 658.7

В. С. Паршина

Методическое обеспечение управления логистическими бизнес-процессами в производственной сфере

UDC 658.7

V. S. Parshina

Methodological support of logistics business process management in the manufacturing sector

Аннотация

Результаты экономической деятельности промышленных предприятий во многом определяются функционированием логистической системы. С опорой на мнения специалистов в этой области и результаты анализа качества материальных потоков конкретного промышленного предприятия сделан вывод о наличии значительных резервов в сфере транспортировки готовой продукции.

Статья посвящена разработке основ методического обеспечения логистических процессов производственных предприятий, осуществляющих продажи через дистрибуционные центры. Показано состояние систем логистики на промышленных предприятиях. Проведено обобщение современных управленческих подходов в сфере материальных потоков.

В ходе анализа продаж выявлены существенные отклонения объемов спроса от фактически реализованной продукции. Доведение результатов оценки проблемных элементов в деятельности службы логистики до исполнителей этих функций на основе системы KPI позволило в короткие сроки получить положительный результат.

В настоящей статье автор ограничился рассмотрением определенного набора показателей логистики, предложенного исходя из текущего анализа ее состояния. В дальнейшем предполагается рассмотрение комплекса оценочных показателей состояния материального потока с учетом взаимодействия промышленных предприятий с дистрибуционными центрами, а далее покупателями продукции, который должен основываться на построении информационной системы.

Ключевые слова: логистика, производство, дистрибуционные центры, материальные ресурсы, транспортировка, материальные потоки, реинжиниринг, бизнес-процессы, методические обеспечение, показатели оценки.

DOI: 10.20291/2079-0392-2021-4-88-96

Abstract

The results of economic activity of industrial enterprises are largely determined by functioning of the logistics system. On the basis of the opinions of experts in this field and the results of the analysis of the quality of material flows of a particular industrial enterprise, it is concluded that there are significant reserves in the field of transportation of finished products.

The article is devoted to the development of the basics of methodological support of logistics processes of manufacturing enterprises that sell through distribution centers. The state of logistics systems at industrial enterprises is shown. Generalization of modern management approaches in the field of material flows is carried out.

During the analysis of sales, significant deviations in demand volumes from the products actually sold were revealed. Bringing the results of the evaluation of problematic elements in the activities of the logistics service to the performers of these functions on the basis of the RAT system made it possible to obtain a positive result within a short time.

In this article, the author has limited himself to considering a certain set of logistics indicators proposed on the basis of the current analysis of its state. In the future, it is planned to consider a set of estimated indicators of the state of the material flow, taking into account the interaction of industrial enterprises with distribution centers, and then buyers of products, which should be based on the construction of the information system.

Keywords: logistics, production, distribution centers, material resources, transportation, material flows, reengineering, business processes, methodological support, evaluation indicators.

DOI: 10.20291/2079-0392-2021-4-88-96

Статья рекомендована к опубликованию В. А. Антроповым, д-ром экон. наук, ведущим научным сотрудником ИЭ УрО РАН, Екатеринбург. E-mail: antrv149@yandex.ru.

Валентина Сергеевна Паршина, д-р экон. наук, профессор; кафедра «Управление в социальных и экономических системах, философии и истории» Уральского государственного университета путей сообщения; Екатеринбург, Россия. E-mail: vparshina@usurt.ru. ORCID 0000-0002-3932-776X.

The article is recommended for publishing by V. A. Antropov, Doctor of Economics, Leading Researcher of IE, UrBranch of RAS, Yekaterinburg. E-mail: antrv149@yandex.ru.

Valentina Sergeyevna Parshina, Doctor of Economics, Professor, Chair «Management in Social and Economic Systems, Philosophy and History» of the Ural State University of Railway Transport; Yekaterinburg, Russia. E-mail: vparshina@usurt.ru. ORCID 0000-0002-3932-776X.

Изначально созданные в организациях бизнес-процессы требуют корректирующего управленческого воздействия, так как основанная на коммерциализации товарно-денежных отношений современная экономика формирует новые ситуации, явления, процессы, способы взаимодействия участников деятельности. По результатам исследований ясно, что 50–60 % всех процессов в отечественных организациях не соответствуют поставленным целям или наносят вред деятельности в сравнении с 2–7 % в экономически развитых странах [1, с. 11]. Приведенные данные определяют наличие большого объема резервов при управлении различными процессами отечественных предприятий.

В рыночном пространстве циркулируют экономические потоки: товарные (материальные), финансовые, информационные. Изучением материальных потоков занимается логистика, построение которой требует современных методических подходов.

Актуальность оптимизации логистической деятельности обусловлена значительными резервами в этой сфере, требующими управленческих решений по сокращению неэффективных затрат. Логистический комплекс промышленного предприятия из-за неэффективности бизнес-процессов отрицательно воздействует на четкость поставок продукции – удовлетворенность клиентов, а значит, и их количество, и в целом на эффективность деятельности.

Чтобы решить проблему, нужна информация о параметрах логистических процессов для их анализа. Поэтому формируется информационное обеспечение материальных потоков. Выявленные в процессе анализа исходных данных проблемы формируют систему показателей, позволяющих оценить состояние бизнес-процессов с той или иной степенью полноты. Кроме того, в условиях взаимодействия хозяйствующих субъектов возникающие коммуникационные каналы требуют дополнительной проработки с целью их оптимизации с учетом интересов сторон.

Совершенствование системы логистики предприятия на основе сформированных показателей для оценки деятельности позволяет повысить эффективность функционирования службы. Необходима разработка методического инструментария совершенствования системы логистики производственного предприятия.

Обобщим современное представление относительно сферы логистики. Выделяют логистические процессы производственных предприятий, связанные со снабжением материалами, логистику производственного процесса, а также логистические процессы сбыта продукции и складских операций [2–5]. Для оптимизации бизнес-процессов в состав логистики включены сервисные, информационные и финансовые потоки.

Используемое понятие «материальный поток» из [6] в сфере сбыта продукции включает готовую продукцию, находящуюся в движении под воздействием логистики для целевого перемещения потребителям. Сформирован расширенный состав параметров материального потока: объем (количество), номенклатура, стоимость, габариты, вес, физико-химическая характеристика, применяемая тара, условия договора купли-продажи и др.

Определение конкретных путей развития логистических систем за рубежом привело к разработке показателей логистической активности (интенсивности), применяемых для всех ее составляющих (рис. 1) [7]. Структура показателей включает качественный аспект обслуживания потребителя, степень соответствия логистики изменениям во внутренней и внешней среде организации, рациональный объем логистической деятельности в плане соответствия производственной, маркетинговой деятельности и др. Эта схема может быть положена в основу понимания приоритетов оценки функционирования логистического комплекса промышленного предприятия.

В состав исследования интенсивности элементов логистики включены



Рис. 1. Сферы применения логистических активностей

транспортные процессы, затраты на которые составляют до 70 % от общих логистических издержек [8]. Согласно приведенным на рис. 2 данным, удельный вес затрат на собственные логистические системы в общем объеме реализуемых логистических операций колеблется по отраслям от 40 до 95 %. Исследуемые предприя-

тия трубопрокатной промышленности сами осуществляют около 70 % общего объема транспортных перемещений, включая погрузку и разгрузку. Наличие дистрибуционных центров обуславливает решение дополнительных задач, связанных с эффективностью взаимодействия субъектов деятельности.

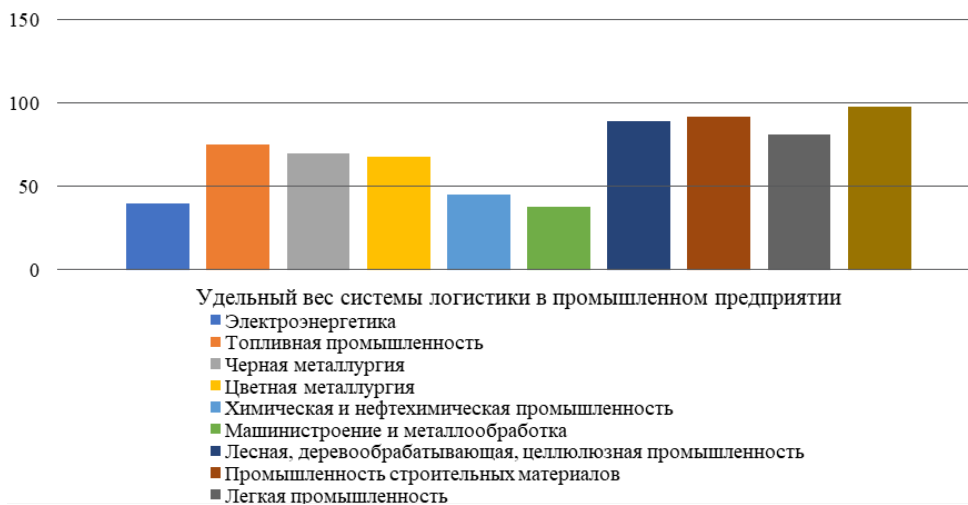


Рис. 2. Удельный вес собственных логистических процессов в их общем объеме

Отечественные предприятия неохотно используют достижения мирового менеджмента, в частности, логистики, в результате в этом сегменте рынка эффективность низка [3, 6]. Нечеткие представления о реальных возможностях сформированных методических подходов для оптимизации логистических процессов в деятельности промышленных предприятий приводят к тому, что до настоящего времени они часто строятся на основе интуиции руководителей организаций.

За рубежом в составе реинжиниринга бизнес-процессов сформирован логистический реинжиниринг, описанный Д. Бауэрсоксом и Д. Клоссом [9]. Его цель – повышение эффективности функционирования логистики в результате временной интеграции процессов (складирование, транспортировка, обслуживание клиентов) сравнением имеющейся системы с лучшими образцами отраслевой практики. В число анализируемых процессов включают складское хозяйство, транспортировку и обслуживание клиентов. По каждому направлению сформированы цели совершенствования и методы реализации.

Для организации логистических процессов применяются два принципиально отличающихся подхода, построение которых осуществляется на основе предложения или спроса. Ориентированные на предложение процессы были распространены в период, предшествующий развитию информационных технологий. Деятельность службы логистики на основе спроса инициирует управление процессами в реальном времени, предполагая четкое планирование и оперативное решение возникающих задач.

Государственная стратегия «национальное предложение» [10] определила основные принципы и схемы распределения готовой продукции, на основе которых продукцию до потребителей доводят территориальные дистрибуционные центры промышленных предприятий. Для организации эффективного взаимодействия различных сбытовых

подразделений с потребителями необходимо включить в состав логистики промышленного предприятия диспетчерскую службу, задача которой заключается в обеспечении своевременности производства продукции в соответствии с заказами, учет запасов на складах и прогнозирование колебаний спроса.

Организация эффективного взаимодействия производственного сегмента предприятия с дистрибуторами и потребителями продукции требует формирования комплекса оценок для анализа процессов [11]. Перечень показателей формируется в результате анализа отклонений фактических объемов отгруженной продукции и их причин. Набор частных показателей многообразен и связан с наличием проблем в сбытовой деятельности из-за с неудовлетворенности потребителей сроками поставок, качеством поставляемой продукции, качеством обслуживания или дефицитом запасов продукции на складе, возвратом товаров и др. Общий показатель логистического сервиса (ЛС) по поставкам продукции потребителям определяется по формуле:

$$ЛС = \sum_i^n a_i \cdot x_i, \quad (1)$$

где x_i – частный оценочный показатель; a_i – весовой коэффициент показателя, определяемый экспертами; n – количество оцениваемых показателей.

Предварительный анализ распределения связанных с логистическим сервисом функций на рассматриваемом предприятии (рис. 3) показывает наличие двойного подчинения для ряда подразделений логистической системы. Такая ситуация обуславливает необходимость управления взаимодействием контактирующих подразделений, заинтересованных в общем результате. Анализ организации подобных процессов позволил обосновать целесообразность использования матричной структуры управления.

За основу построения системы оценочных показателей принят подход

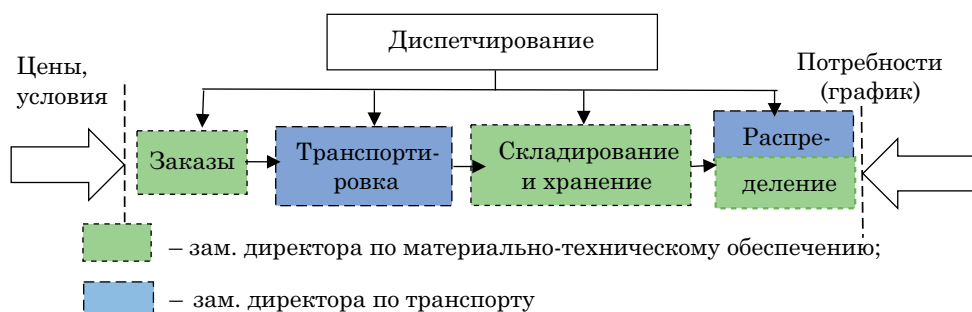


Рис. 3. Взаимодействие подразделений предприятия при управлении материальными потоками

управления спросом на основе системы вытягивания с использованием скользящего планирования. Планы поставок всего ассортимента формируются в дистрибуционных центрах по всей востребованной номенклатуре продукции и передаются в центральный офис.

Сложность соединения во времени всех процессов предприятия, связанных с материальными потоками, объясняется необходимостью интегрированной обработки параметров всех элементов. Общей целью служит достижение четкости поставок продукции производственных подразделений при обоснованном снижении запасов.

Самые сложные для реализации процессы сбыта продукции предприятия – планирование соответствующих спросу объемов производства и логистика отгрузок продукции потребителю с учетом использования складских запасов. Для управления объемами продаж предлагается осуществлять прогнозирование на основе сбора информации о потребностях. При этом четкость работы отдела продаж ($Y_{от}$) предлагается оценивать на основе еженедельного расчета отклонения фактического значения объема продаж от планируемого по формуле:

$$Y_{от} = \left(1 - \frac{O_{ф}}{O_{п}} \right) \cdot 100\%, \quad (2)$$

где $O_{ф}$ – фактический объем продаж за неделю; $O_{п}$ – плановый объем продаж на неделю.

Недельный горизонт планирования обусловлен наличием больших резер-

вов роста эффективности анализируемых процессов. При скользящем планировании планы на вторую, третью и последующие недели корректируются с учетом процента выполнения плана за предыдущую неделю. Средний показатель четкости работы отдела продаж $Y_{от}$ за определенный период рассчитывается как среднеарифметическое значение уровней отклонений ($Y_{iот}$) по формуле:

$$Y_{от} = \frac{Y_{1от} + \dots + Y_{nот}}{N}. \quad (3)$$

Для оценки работы каждого дистрибуционного центра проведено ранжирование величин фактических отклонений объемов продаж от плановых по месяцам по следующим критериям: хорошо – 0–10 % отклонений, удовлетворительно – 11–20, плохо – от 21 до 50, очень плохо – более 50.

Качество планирования и общий процент выполнения плана по всем дистрибуционным центрам в базовом периоде было низким (рис. 4), так как отклонения фактических данных от плановых составили от 22 до 38 %, что негативно отразилось на смежных блоках системы интегрированного планирования деятельности предприятия. Основной причиной такой ситуации служила несбалансированность объема производственной деятельности и запасов продукции на складах для удовлетворения запросов потребителей.

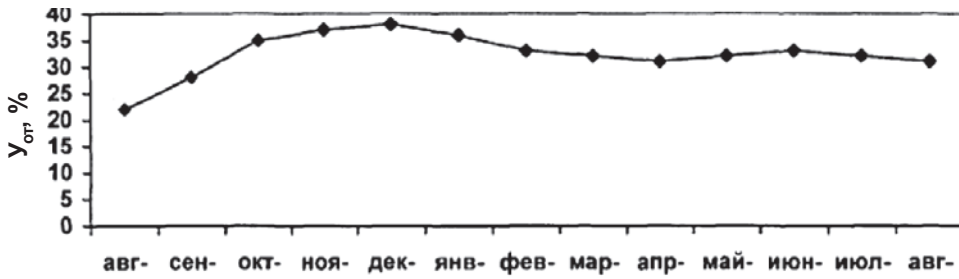


Рис. 4. Процент выполнения плана по дистрибуционным центрам

Для формирования общей картины относительно четкости планирования объемов продаж продукции, имеющих отклонения по объемам фактически отгруженной продукции предложено сосредоточить планирование спроса в отделе маркетинга. Это подразделение имеет полную информацию о клиентах, их заявках на поставку продукции, об истории объемов продаж и сезонности колебаний за длительный период, владеет информацией о конкурентах на рынке и т.д.

Единый план работ по продажам обеспечит все включенные в логистический процесс подразделения сбалансированными планами. Опираясь на выявленные проблемы логистики в связи с недостаточными объемами складских запасов продукции в отдельные периоды, предложены оценочные показатели, отражающие наличие продукции на складах дистрибуционных центров. Уровень снижения объема продаж из-за отсутствия продукции на складе Y_c :

$$Y_c = \left(1 - \frac{O_n}{O_c}\right) \cdot 100\%, \quad (4)$$

где O_n – общий объем продаж; O_c – общий объем спроса.

Уровень нехватки запаса $Y_{нз}$ в определенном периоде:

$$Y_{нз} = \frac{K_{нз}}{K_{cy-t}} \cdot 100\%, \quad (5)$$

где $K_{нз}$ – количество случаев нехватки запаса продукции на складе за период; K_{cy} – среднесуточное количество

единиц складского учета; t – количество дней в периоде.

В базовом году среднее значение первого показателя составило 5 %, второго – 17 %; в отчетном году отклонения сократились, их значения соответственно 3 и 11 %. Эти показатели включены в состав КРІ при определении вознаграждения работникам складов, обеспечивающих функцию поддержания необходимого объема продукции.

Оценка уровня удовлетворенности клиентов производится с помощью показателей своевременности доставки $Y_{сд}$ и полноты выполнения заказа $Y_{пол}$.

$$Y_{сд} = \left(1 - \frac{K_{зд}}{K_d}\right) \cdot 100\%, \quad (6)$$

где $K_{зд}$ – количество задержек доставки; K_d – общее количество доставок.

$$Y_{пол} = \frac{K_{вз}}{K_3} \cdot 100\%, \quad (7)$$

где $K_{вз}$ – количество выполненных заказов; K_3 – общее количество заказов.

На основе данных базового периода показатель своевременности поставок продукции составил 90 %, а полноты выполнения заказа – 92 %. А за отчетный период после доведения этих оценочных показателей до исполнительных – 91 и 94 %, т.е. наблюдается положительная динамика значений показателей, однако они ниже необходимого уровня, равного 100 %. Общая динамика плановых и фактических показателей по предприятию и дистрибуционным центрам представлена на

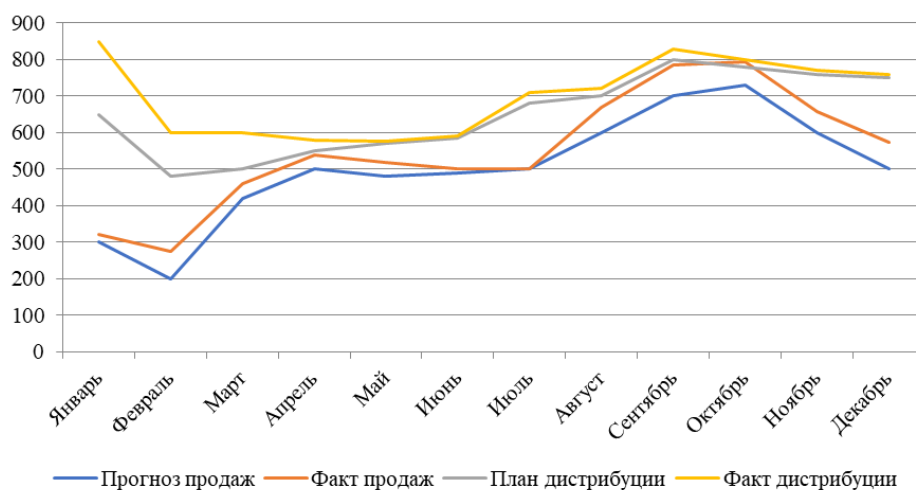


Рис. 5. Динамика объемов продаж в отчетном периоде

рис. 5. Очевидна положительная тенденция: сближение плановых и фактических показателей сбытовой деятельности дистрибуционных центров в течение года, но их расхождение по общему объему продаж за исключением значений в июне и июле.

Внедрение актуальных элементов системы оценочных показателей и доведение их до исполнителей в виде системы стимулирования и оценки деятельности в виде КРІ привело к существенному повышению точности планирования и улучшению выполнения дистрибуционного плана в целом по предприятию. Однако на уровне отдельных бизнес-подразделений разброс показателей еще большой.

Выводы

К перечисленным показателям могут добавляться дополнительные, более детально характеризующие особенности входящих в интегрирован-

ную общую систему структурных подразделений логистики промышленных предприятий, дистрибуционных центров и покупателей продукции. В настоящее время оценка оперативного управления логистическими процессами предприятия в целом и его подразделений часто затрудняется несовершенством единого информационного пространства промышленного предприятия. Возможность расширения системы показателей для отслеживания результатов деятельности появится в процессе совершенствования информационной системы.

Становление логистических процессов происходит во всех сферах деятельности. Использование показателей их оценки, включение их в систему материального стимулирования работников, занимающихся планированием и реализацией логистических процессов в целом и их элементов, позволяют значительно повысить четкость управленческих процессов в этой сфере. ■

Литература

1. Громов А. И. Управление бизнес-процессами: современные методы : монография / А. И. Громов, А. Фляйшман, В. Шмидт ; под ред. А. И. Громова. — М. : Изд-во «Юрайт», 2017. — 368 с. ISBN 978-5-534-03094-5.
2. Логистические системы инновационного предприятия: состояние и перспективы развития : монография / С. Б. Вдовина, А. Н. Зайцев. — Нижний Новгород : НГТУ, 2013. — 166 с. ISBN 978-5-502-00120-5.

3. Сибирко И. В. Системный подход к управлению логистическими бизнес-процессами в цепях поставок / И. В. Сибирко, А. Л. Зотов // Экономика, управление, финансы : м-лы VIII Междунар. науч. конф. – Краснодар : Новация, 2018. С. 159–161. URL: <https://moluch.ru/conf/econ/archive/264/13739/> (дата обращения: 01.10.2021).
4. Вдовина С. Б. Пути развития межорганизационной логистической координации в цепях поставок // Российское предпринимательство. № 3, 2017. – Т. 18. С. 195–204. ISSN 1994-6937.
5. Болт Г. Дж. Практическое руководство по управлению сбытом : [Пер. с англ.] / Г. Дж. Болт. – М. : МТ-Пресс, 2001. – 268 с. ISBN 5-86567-032-3.
6. Функциональные области логистики: современные проблемы исследования : монография / [кол. авт. ; отв. за вып. О. Н. Зуева]. – Екатеринбург : Изд-во УрГЭУ, 2017. – 253 с. ISBN 978-5-9656-0271-1.
7. Janczewska D. Logistics Activities. Marketing Researches in Logistics Management. Poland: Spoleczna Akademia Nauk, Łódź, January 2015. Pp. 96–113. ISSN 1895-5088.
8. Симонова Л. Доля логистических издержек в ВВП РФ 21.03.2016. URL: <http://www.rzd-partner.ru/logistics/news/dolia-logisticheskikh-izderzhek-v-vvp-rf-dokhodit-do-19--pri-srednemirovom-pokazatele-v-11-7---mnen/> (дата обращения: 23.10.21).
9. Бауэрсокс Д. Дж., Клосс Д. Дж. Логистика: интегрированная цепь поставок. 2-е изд. / [Пер. с англ. Н. Н. Барышниковой, Б. С. Пинскера]. – М. : Изд-во «Олимп-Бизнес», 2017. – 640 с. ISBN 978-5-9693-0124-5 (рус.).
10. Стратегия государственной национальной политики Российской Федерации на период до 2025 года. URL: <https://docs.cntd.ru/document/902387360> (дата обращения: 25.10.21).
11. Маркетинг взаимодействия. Концепция. Стратегии. Эффективность : [монография] / [Б. Абель и др.] ; науч. ред. Г. Л. Багиев, Х. Мефферт. – СПб : Изд-во Санкт-Петербургского гос. ун-та экономики и финансов, 2009. – 671 с. ISBN 978-5-7310-2464-8.

List of references

1. Gromov A. I. Management of business processes: modern methods : monograph / A. I. Gromov, A. Fleischman, W. Schmidt ; under the editorship of A. I. Gromov. – M. : Publishing House «Yurayt», [Upravlenie biznes-protsessami: sovremennye metody : monografiya / A. I. Gromov, A. Flyajshman, V. SHmidt ; pod red. A. I. Gromova. – M. : Izd-vo «Yurayt»] 2017. – 368 p. ISBN 978-5-534-03094-5.
2. Innovative logistics system of the enterprise: the state and prospects of development : monograph / B. S. Vdovin, A. N. Birds. [Logisticheskie sistemy innovatsionnogo predpriyatiya: sostoyanie i perspektivy razvitiya : monografiya / S. B. Vdovina, A. N. Zajtsev.] Nizhny Novgorod : NSTU, 2013. 166 p. ISBN 978-5-502-00120-5.
3. Sibirko I. V. System approach to management of logistics business processes in supply chains / I. V. Sibirko, A. L. Zotov // Economics, Management, Finance : Proceedings of the VIII International Scientific Conference – Krasnodar : Novation, [Sistemnyj podkhod k upravleniyu logisticheskimi biznes-protsessami v tsepyakh postavok / I. V. Sibirko, A. L. Zotov // EHkonomika, upravlenie, finansy : m-ly VIII Mezhdunar. nauch. konf. – Krasnodar : Novatsiya] 2018. pp. 159-161. URL:<https://moluch.ru/conf/econ/archive/264/13739/> (accessed: 01.10.2021).
4. Vdovina S. B. Ways of development of interorganizational logistics coordination in supply chains // Russian Entrepreneurship. [Puti razvitiya mezhorganizatsionnoj logisticheskoy koordinatsii v tsepyakh postavok // Rossijskoe predprinimatel'stvo] № 3, 2017. – Vol. 18. Pp. 195–204. ISSN 1994-6937.
5. Bolt G. J. Practical guide to sales management: [Trans. from English] / G. J. Bolt. M. : MT-Press, [Prakticheskoe rukovodstvo po upravleniyu sbytom : [Per. s angl.] / G. Dzh. Bolt. – M. : MT-Press] 2001. 268 p. ISBN 5-86567-032-3.
6. Functional areas of logistics: modern problems of research : monograph / [col. author ; Rep. for issue O. N. Zueva]. – Yekaterinburg : USUE Publishing House, [Funktional'nye oblasti logistiki: sovremennye problemy issledovaniya : monografiya / [kol. avt. ; отв. за vyp. O. N. Zueva]. – Yekaterinburg : Izd-vo UrGEHU] 2017. 253 p. ISBN 978-5-9656-0271-1.
7. Janczewska D. Logistics Activities. Marketing Researches in Logistics Management. Poland: Spoleczna Akademia Nauk, Łódź, January 2015. Pp. 96–113. ISSN 1895-5088.
8. Simonova L. The share of logistics costs in the GDP of the Russian Federation 21.03.2016. [Dolya logisticheskikh izderzhek v VVP RF 21.03.2016] URL: <http://www.rzd-partner.ru/>

- logistics/news/dolia-logisticheskikh-izderzhek-v-vvp-rf-dokhodit-do-19--pri-srednemirovom-pokazatele-v-11-7---mnen/ (accessed on: 10/23/21).
9. Bauersox D. J., Kloss D. J. Logistics: integrated supply chain. 2nd ed. / [Trans. from the English N. N. Baryshnikova, B. S. Pinskera]. M. : Publishing house «Olympus-Business», [Logistika: integrirovannaya tsep' postavok. 2-e izd. / [Per. s angl. N. N. Baryshnikovoj, B. S. Pinskera]. – M. : Izd-vo «Olimp-Biznes»] 2017. 640 p. ISBN 978-5-9693-0124-5 (rus.).
 10. Strategy of the state national policy of the Russian Federation for the period up to 2025. [Strategiya gosudarstvennoj natsional'noj politiki Rossijskoj Federatsii na period do 2025 goda.] URL: <https://docs.cntd.ru/document/902387360> (accessed on: 10/25/21).
 11. Interaction marketing. Concept. Strategies. Efficiency : [monograph] / [B. Abel et al.] ; scientific ed. G. L. Bagiev, H. Meffert. – St. Petersburg : Publishing House of the St. Petersburg State University of Economics and Finance, [Marketing vzaimodejstviya. Kontseptsiya. Strategii. Ehffektivnost' : [monografiya] / [B. Abel' i dr.] ; nauch. red. G. L. Bagiev, KH. Meffert. – SPb : Izd-vo Sankt-Peterburgskogo gos. un-ta ehkonomiki i finansov] 2009. 671 p. ISBN 978-5-7310-2464-8.

Статья сдана редакцию 5 октября 2021 года

Аспирантская тетрадь

УДК 629.423.1

Т. В. Волчек

Повышение коммутационной устойчивости коллекторных тяговых электродвигателей электровозов за счет снижения пульсации тока возбуждения

UDC 629.423.1

T. V. Volchek

Increasing the switching stability of collector traction electric motors of electric locomotives by reducing pulsation of current excitation

Аннотация

Статистика отказов оборудования электровозов, приписанных к эксплуатационным депо Восточно-Сибирской дирекции тяги, показывает, что около 25 % от общего числа отказов оборудования электровозов занимают тяговые электродвигатели (ТЭД); чаще всего выходит из строя коллекторно-щеточный аппарат. Основная причина – проблема низкой коммутационной устойчивости ТЭД, связанная с возрастанием небалансных электродвижущих сил (ЭДС) вследствие возникающих несинусоидальных величин переменных ЭДС и больших фазовых сдвигов между их основными гармониками. Для выяснения процессов, относящихся к переменным составляющим ЭДС, построена векторная диаграмма их основных гармоник, определяющая качественный характер явлений. Выявлено, что наличие вихревых токов в массивных элементах магнитопровода ТЭД и возникающая реакция якоря приводят к значительному смещению вектора коммутационной ЭДС, что образует небалансную ЭДС, которая вызывает нарушение коммутационной устойчивости ТЭД. В связи с этим предлагается усовершенствованная система ослабления возбуждения тяговых электродвигателей на базе IGBT-транзисторов, позволяющих снизить пульсацию тока возбуждения не менее чем на 80 %, что повысит ресурс работы ТЭД.

Ключевые слова: тяговый электродвигатель, электродвижущая сила, магнитодвижущая сила, небалансные ЭДС, коммутационная устойчивость, пульсация тока возбуждения.

DOI: 10.20291/2079-0392-2021-4-97-102

Abstract

Statistics of equipment failures of electric locomotives assigned to the operational depots of the East Siberian Traction Directorate shows that about 25% of the total number of equipment failures of electric locomotives are traction electric motors (TEM); most often the collector-brush apparatus fails. The main reason is the problem of TEM low switching stability, associated with the increase in unbalanced electromotive forces (EMF) due to non-sinusoidal values of EMF variables and large phase shifts between their main harmonics. To clarify the processes related to EMF variable components, a vector diagram of their main harmonics is constructed, which determines the qualitative nature of the phenomena. It is revealed that the presence of eddy currents in the massive elements of the TEM magnetic core and the resulting armature reaction lead to significant displacement of the vector of the switching EMF, which forms the unbalanced EMF, causing violation of the TEM switching stability. In this regard, an improved system for attenuating the excitation of traction motors based on IGBT transistors is proposed, which reduces pulsation of the excitation current by at least 80% increasing the TEM life resource.

DOI: 10.20291/2079-0392-2021-4-97-102

Статья рекомендована к опубликованию М. Г. Дурандиным, канд. техн. наук, доцентом Уральского государственного университета путей сообщения. E-mail: mdurandin@e1.ru.

Татьяна Витальевна Волчек, аспирант; кафедра «Электроподвижной состав» Иркутского государственного университета путей сообщения; г. Иркутск, Россия. E-mail: tanya.vol4eck@yandex.ru. ORCID 0000-0003-1606-4511.

The article is recommended for publication by M. G. Durandin, Candidate of Engineering sciences, assistant professor of Ural State University of Railways. E-mail: mdurandin@e1.ru.

Tatiana Vitalievna Volchek, post-graduate student of the Chair «Electric Rolling Stock» of Irkutsk State University of Railway Transport; Irkutsk, Russia. E-mail: tanya.vol4eck@yandex.ru. ORCID 0000-0003-1606-4511.

Одна из важнейших задач стратегии развития железнодорожного транспорта в Российской Федерации до 2030 года – повышение надежности работы и увеличение эксплуатационного ресурса технических средств электроподвижного состава (ЭПС) [1]. Анализ статистических данных по выходу из строя оборудования электровозов, приписанных к эксплуатационным локомотивным депо Восточно-Сибирской дирекции тяги за 2020–2021 гг., показал, что около 25 % от общего числа отказов всего оборудования электровозов занимают тяговые электродвигатели, в которых наибольшее число отказов приходится на коллекторно-щеточный аппарат (КЩА).

Ресурс работы КЩА ТЭД часто снижается из-за низкой коммутационной устойчивости, которая характеризуется зависимостью степени искрения от величины небалансных ЭДС (Δe_p) в коммутируемых секциях якоря (рис. 1) [2, 3].

Идеальное условие для работы ТЭД – когда в любой момент коммутации величина небалансной ЭДС (Δe_p) равняется нулю, но из-за возникающих несинусоидальных величин переменных ЭДС и больших фазовых сдвигов между их основными гармониками это невыполнимо. Причины нарушений – возникающая реакция якоря, вихревые токи, а также трансформаторная ЭДС,

которая образуется при пульсации тока возбуждения ТЭД.

Определить аналитически величину небалансной ЭДС довольно сложно; экспериментальными исследованиями установлено, что для электрографитовых щеток обычно $\Delta e_p = 1,2\text{--}1,5$ В, а для обеспечения оптимальной коммутации ТЭД необходимо $\Delta e_p = 0,3\text{--}0,6$ В [3–6]. Для выяснения процессов, относящихся к переменным составляющим магнитодвижущих сил (МДС) и ЭДС, построены векторные диаграммы их основных гармоник (рис. 2). Этот метод при принимаемых допущениях не позволяет получить точные количественные соотношения величин, но он дает возможность выявить качественный характер явления [3].

Вектор переменной составляющей тока ТЭД ($\dot{I}_{яп}$) совпадает по фазе с переменной составляющей реактивной ЭДС ($\dot{e}_{рп}$). Чтобы определить направление вектора коммутирующей ЭДС ($\dot{e}_{кп}$), необходимо учесть переменные составляющие МДС реакции якоря ($\dot{F}_{ря}$) и добавочных полюсов ($\dot{F}_{дп}$). В свою очередь, МДС реакции якоря определяется как сумма двух составляющих – постоянной, которая пропорциональна среднему значению тока, и переменной, синусоидально-изменяющейся во времени, пропорциональной току двойной частоты. Что касается определения направления вектора $\dot{F}_{дп}$, то по условиям компенсации постоянной составляющей реактивной ЭДС полная переменная составляющая МДС добавочного полюса ($\dot{I}_{яп}\omega_{дп}$) должна быть противоположно направлена $\dot{I}_{яп}$ [3, 4]. В связи с тем, что в элементах магнитопровода имеются вихревые токи, $\dot{F}_{ря}$ и $\dot{F}_{дп}$ отстают от токов на угол магнитного запаздывания $\varphi_{я}$ и $\varphi_{дп}$ соответственно [3–5]. Таким образом, $\dot{I}_{яп}\omega_{дп}$ определяется как сумма двух составляющих переменной составляющей МДС добавочного полюса ($\dot{F}_{дп}$) и МДС вихревых токов ($\dot{F}_{вихр.дп}$), которая располагается под углом 90° к $\dot{F}_{дп}$ [3–5]. Таким образом, $\dot{F}_{дп} = \dot{I}_{яп}\omega_{дп} = \dot{F}_{дп} + \dot{F}_{вихр.дп}$. Аналогично определяется полная переменная составляющая

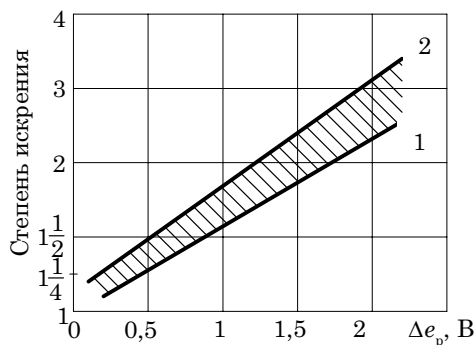


Рис. 1. Зависимость степени искрения от некомпенсированной ЭДС в коммутируемых секциях якоря
1 – щетки твердые; 2 – мягкие

МДС реакции якоря $\dot{F}_я = \dot{F}_ря - \dot{F}_вихр.я$. При сложении векторов $\dot{F}_ря$ и $\dot{F}_мдп$ определяется направление вектора компенсирующей переменной составляющей МДС добавочного полюса ($\dot{F}_мк$), который сонаправлен с $\dot{e}_к$. При сложении $\dot{e}_к$ и $\dot{e}_р$ получим вектор небалансной ЭДС $\Delta\dot{e}_р$ без учета вектора трансформаторной ЭДС (рис. 2, а).

Чтобы получить полное представление о $\Delta\dot{e}_р$, на векторной диаграмме переменных составляющих МДС и ЭДС в ТЭД (рис. 2, а) построен вектор трансформаторной ЭДС ($\dot{e}_т$) (рис. 2, б). Для определения направления вектора $\dot{e}_т$ необходимо определить направление вектора переменной составляющей магнитного потока главных полюсов ($\dot{\Phi}_вп$), так как фазовый сдвиг $\dot{e}_т$ от $\dot{\Phi}_вп$ составляет 90° [3–5]. Чтобы определить направление вектора $\dot{\Phi}_вп$, необходимо учесть направление вектора переменной составляющей тока возбуждения ($\dot{I}_вп$).

При наличии резистора постоянной шунтировки $\dot{I}_вп$ отстает от переменной составляющей тока якоря ($\dot{I}_яп$) на угол шунтирования ($\varphi_ш$), величина которого регулируется за счет изменения величины шунтирующей обмотки возбуждения ТЭД сопротивления [3–7] (рис. 2).

Таким образом, $\dot{I}_яп$ равна сумме токов в ОБ и шунтирующей цепи $\dot{I}_яп = \dot{I}_вп + \dot{I}_шп$. Направление вектора $\dot{\Phi}_вп$ совпадает по фазе с вектором переменной составляющей МДС намагничивания главных полюсов ($\dot{F}_мвп$). Вследствие наличия вихревых токов в главных полюсах вектор $\dot{F}_мвп$ отстает от $\dot{I}_вп$ на угол магнитного запаздывания $\varphi_{гп}$, таким образом, $\dot{F}_мвп = \dot{F}_вп - \dot{F}_вихр.гп$. После построения вектора $\dot{e}_т$ получим вектор небалансной ЭДС: $\Delta\dot{e}_р = \dot{e}_к + \dot{e}_р + \dot{e}_т$ (рис. 2, б).

Анализируя векторные диаграммы переменных составляющих МДС и ЭДС (рис. 2), можно сделать вывод, что наличие вихревых токов в массивных элементах магнитопровода ТЭД и возникающая реакция якоря приводят к значительному смещению вектора коммутационной ЭДС, что образует небалансную ЭДС, которая вызывает нарушение коммутационной устойчивости ТЭД. Вихревые токи в массивных элементах магнитопровода ТЭД возникают вследствие пульсации магнитного потока, которые образуются при пульсации тока возбуждения, следовательно, одним из способов улучшения коммутационной устойчивости ТЭД может быть уменьшение пульсации тока возбуждения.

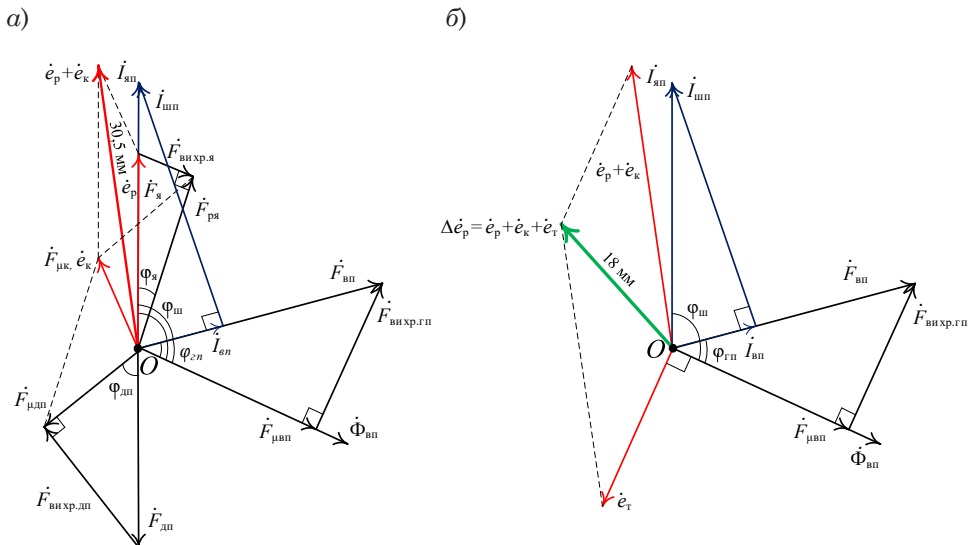


Рис. 2. Векторная диаграмма переменных составляющих МДС и ЭДС в ТЭД
а – без учета трансформаторной ЭДС; б – с учетом

Предлагается использовать на электроподвижном составе усовершенствованную систему ослабления возбуждения ТЭД на базе IGBT-транзисторов [8]. За счет того, что шунтирующая цепь на базе силовых полупроводниковых приборов имеет незначительное активное сопротивление, вся переменная составляющая тока возбуждения проходит именно по ней. За счет применения этой системы в режиме ослабления возбуждения ТЭД электровоза снижается пульсация тока возбуждения не менее чем на 80 %, что получено на математической модели электровоза ЗЭС5К с типовой и предлагаемой системами ослабления возбуждения ТЭД в среде MatLAB Simulink [8].

Преобразованные векторные диаграммы переменных составляющих ЭДС и МДС в ТЭД при работе усовершенствованной системы ослабления возбуждения представлены на рис. 3. Снижение пульсации тока возбуждения ТЭД на 80 % приведет к уменьшению векторов $\dot{I}_{\text{яп}}$, $\dot{F}_{\text{яп}}$, $\dot{F}_{\text{мп}}$ и угла магнитного запаздывания $\varphi_{\text{гп}}$ не менее чем на 80 %. Реакция якоря ТЭД зависит от МДС главных полюсов, следовательно,

ее снижение приведет и к уменьшению реакции якоря [6]. Снижение модуля вектора $\dot{F}_{\text{ря}}$ улучшит фазу $\dot{e}_{\text{к}}$, следовательно, уменьшит модуль вектора $\dot{e}_{\text{к}} + \dot{e}_{\text{р}}$ по сравнению с вектором, построенным на рис. 2, а. Снижение угла магнитного запаздывания $\varphi_{\text{гп}}$ позволит $\dot{e}_{\text{т}}$ принять благоприятную фазу по сравнению с фазой, представленной на векторной диаграмме (рис. 2, б) и снизить его величину (рис. 3, б).

Таким образом, при анализе векторных диаграмм переменных составляющих ЭДС и МДС (рис. 2, 3) можно сделать вывод, что за счет использования усовершенствованной системы ослабления возбуждения ТЭД на базе силовых полупроводниковых элементов, обеспечивающей снижение пульсации тока возбуждения не менее чем на 80 %, снижается модуль вектора небалансной ЭДС $\Delta \dot{e}_{\text{р}} = \dot{e}_{\text{к}} + \dot{e}_{\text{р}} + \dot{e}_{\text{т}}$, что улучшит коммутационную устойчивость ТЭД.

Заключение

Построена векторная диаграмма переменных составляющих ЭДС и МДС в ТЭД, из анализа которой видно, что

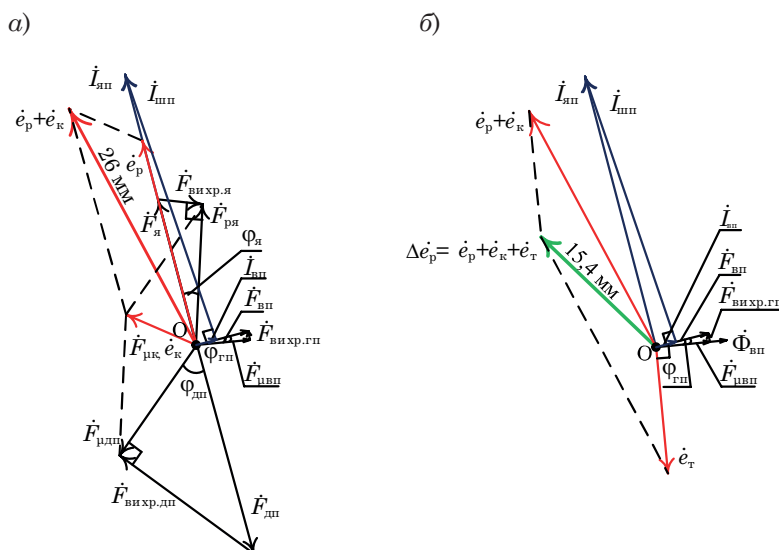


Рис. 3. Векторная диаграмма переменных составляющих переменных МДС и ЭДС в ТЭД при работе усовершенствованной системы ослабления возбуждения
а – без учета трансформаторной ЭДС; б – с учетом трансформаторной ЭДС

из-за наличия вихревых токов в массивных элементах магнитопровода ТЭД, возникающей реакции якоря значительно смещается вектор коммутационной ЭДС, что образует небалансную ЭДС, которая вызывает нарушение коммутационной устойчивости ТЭД.

Предлагается использовать усовершенствованную систему ослабления возбуждения ТЭД на базе IGBT-

транзисторов, снижающую пульсацию тока возбуждения не менее чем на 80 %, что уменьшит величину переменной составляющей тока возбуждения, реакции якоря, вихревых токов, следовательно, и величину угла магнитного запаздывания главных полюсов, что в совокупности снизит небалансную ЭДС и повысит ресурс ТЭД. ■

Литература

1. Стратегия инновационного развития ОАО «Российские железные дороги» на период до 2025 года и на перспективу до 2030 года (Белая книга ОАО «РЖД»). – М. : ОАО «РЖД». 2018. – 113 с.
2. Степанов Е. Л. Методы и средства повышения ресурса щеток тяговых электродвигателей : дисс. ... канд. техн. наук : 05.09.01; Защищена: 02.12.2010 / Евгений Леонидович Степанов. – Новосибирск. 2010. – 214 с.
3. Захарченко Д. Д. Тяговые электрические машины : учеб. для вузов ж.-д. транспорта / Д. Д. Захарченко, Н. А. Ротанов. – М. : Транспорт, 1991. – 343 с. ISBN 5-277-01514-0.
4. Находкин М. Д. Проектирование тяговых электрических машин. – М. : Транспорт, 1957. – 536 с.
5. Скобелев В. Е. Двигатели пульсирующего тока. – Л. : Энергоатомиздат. Ленингр. отделение, 1985. – 2-е изд., перераб. и доп. – 208 с.
6. Иоффе А. Б. Тяговые электрические машины. – М. : Госэнергоиздат, 1967. – 248 с.
7. Бочаров В. И. Магистральные электровозы / В. И. Бочаров, П. А. Золотарев, М. А. Козорезов, Ю. В. Куприянов [и др.]. – М. : Машиностроение, 1968. – 450 с.
8. Волчек Т. В. Разработка способа и устройства для снижения пульсации тока возбуждения тягового электродвигателя электровоза в режиме ослабления поля / Т. В. Волчек, О. В. Мельниченко, С. Г. Шрамко, А. О. Линьков // Современные технологии. Системный анализ. Моделирование. – 2019. – № 3. – С. 163–171. ISSN 1813-9108.

List of references

1. The strategy of innovative development of JSC «Russian Railways» for the period up to 2025 and for the future up to 2030 (The White Paper of JSC «Russian Railways»). [Strategiya innovatsionnogo razvitiya OAO «Rossijskie zheleznnye dorogi» na period do 2025 goda i na perspektivu do 2030 goda (Belaya kniga OAO «RZHD»). – М. : ОАО «RZHD»] – М. : JSC «Russian Railways». 2018. – 113 p.
2. Stepanov E. L. Methods and means of increasing the life of brushes of traction electric motors : dis. ... Candidate of Technical Sciences : 05.09.01; [Metody i sredstva povysheniya resursa shhetok tyagovykh ehlektrodvigatelij : diss. ... kand. tekhn. nauk : 05.09.01;] Defended on: 02.12.2010 / Evgeny Leonidovich Stepanov. – Novosibirsk. 2010. – 214 p.
3. Zakharchenko D. D. Traction electric machines : textbook. for universities of railway transport / D. D. Zakharchenko, N. A. Rotanov. [Tyagovye ehlektricheskie mashiny : ucheb. dlya vuzov zh.-d. transporta / D.D. Zakharchenko, N.A. Rotanov.] – М. : Transport, 1991. – 343 p. ISBN 5-277-01514-0.
4. Nakhodkin M. D. Design of traction electric machines. [Proektirovanie tyagovykh ehlektricheskikh mashin.] – М. : Transport, 1957. – 536 p.
5. Skobelev V. E. Pulsating current motors. [Dvigateli pul'siruyushhego toka.] – L. : Energoatomizdat. Leningrad branch, 1985. – 2nd ed., revised. 208 p.
6. Ioffe A. B. Traction electric machines. [Tyagovye ehlektricheskie mashiny.] – М. : Gosenergoizdat, 1967. – 248 p.
7. Bocharov V. I. Mainline electric locomotives / V. I. Bocharov, P. A. Zolotarev, M. A. Kozorezov, Yu. V. Kupriyanov [et al.]. – М. : Mechanical Engineering, [Magistral'nye ehlektrovozy / V. I. Bocharov, P. A. Zolotarev, M. A. Kozorezov, YU. V. Kupriyanov [i dr.]. – М. : Mashinostroenie]. 1968. – 450 p.

8. Volchek T. V. Development of a method and device for reducing pulsation of the excitation current of the electric locomotive traction motor in the field attenuation mode / T. V. Volchek, O. V. Melnichenko, S. G. Shramko, A. O. Linkov // Modern technologies. System analysis. Modelling. [Razrabotka sposoba i ustrojstva dlya snizheniya pul'satsii toka возбуждения тягового электродвигателя электровоза в режиме ослабления поля / T. V. Volchek, O. V. Mel'nichenko, S. G. Shramko, A. O. Lin'kov // Sovremennye tekhnologii. Sistemnyj analiz. Modelirovanie.] – 2019. № 3. Pp. 163–171. ISSN 1813-9108.

Статья сдана в редакцию 1 ноября 2021 года

Д. Ж. Сайфутдинов

Влияние переноса Южного автовокзала Екатеринбурга на изменение существующего пассажиропотока

UDC 656.025

D. Zh. Saifutdinov

The impact of the transfer of the Southern bus station of Yekaterinburg on the change of the existing passenger traffic

Аннотация

Приведены результаты анализа влияния переноса Южного автовокзала (Екатеринбург) на изменение существующего пассажиропотока. Описан основной критерий влияния переноса автовокзала: транспортная доступность.

Один из важных показателей эффективности создаваемой маршрутной сети – транспортная доступность, рассматриваемая как временной норматив на перемещение из одной точки в другую. Этот показатель отражает степень удовлетворенности населения транспортными услугами.

Представлены основные особенности оценки транспортной доступности. Проанализирована транспортная доступность при движении пассажиров на междугородных рейсах и движении на общественном транспорте города в городской транспортной системе.

При анализе междугородных рейсов выявлены основные дороги движения в город. Рассчитаны расстояния и время движения по каждому из вариантов движения к автовокзалу до и после переноса. Описаны основные результаты анализа междугородных рейсов.

В анализе части городского пассажирского транспорта рассчитаны расстояние и время движения к автовокзалу до и после переноса от различных точек города. Был проведен анализ общественного транспорта для каждого района и города в целом. Приведены основные результаты расчетов для каждого района и описан средний показатель по городу.

Описаны основные результаты анализа междугородных рейсов и городского общественного транспорта.

Ключевые слова: геоинформационные системы, картографические данные, транспортные системы, транспортная доступность, пассажиропоток.

DOI: 10.20291/2079-0392-2021-4-103-110

Abstract

The results of the analysis of the impact of the transfer of the Southern Bus Station (Yekaterinburg) on the change in the existing passenger traffic are presented. The main criterion of the impact of the transfer of the bus station is described: transport accessibility.

One of the important indicators of the effectiveness of the route network being created is transport accessibility, considered as a temporary standard for moving from one point to another. This indicator reflects the degree of satisfaction of the population with transport services.

The main features of the assessment of transport accessibility are presented. Transport accessibility during the movement of passengers on intercity trips and movement on public transport of the city in the urban transport system is analyzed.

The analysis of intercity trips revealed the main roads of traffic to the city. The distances and travel times for each of the options for moving to the bus station before and after the transfer are calculated. The main results of the analysis of intercity trips are described.

In the analysis of the part of urban passenger transport, the distance and travel time to the bus station before and after the transfer from various points of the city are calculated. The analysis of public transport for each district and the city as a whole was carried out. The main results of calculations for each district are given and the average indicator for the city is described.

The main results of the analysis of intercity trips and urban public transport are described.

Keywords: geoinformation systems, cartographic data, transport systems, transport accessibility, passenger traffic.

DOI: 10.20291/2079-0392-2021-4-103-110

Статья рекомендована к опубликованию Г. А. Тимофеевой, д-ром физ.-мат. наук, профессором Уральского государственного университета путей сообщения. E-mail: GTimofeeva@usurt.ru.

Денис Жавдатович Сайфутдинов, аспирант; кафедра «Естественнонаучные дисциплины» Уральского государственного университета путей сообщения; Екатеринбург, Россия. E-mail: densssovv@yandex.ru. ORCID 0000-0003-1684-0015.

The article is recommended for publishing by G. A. Timofeyeva, Doctor of Physical and Mathematical Sciences, Professor, Ural state University of Railway transport. E-mail: GTimofeeva@usurt.ru.

Denis Zhavdatovich Saifutdinov, Postgraduate student; Chair «Natural Sciences» of the Ural State University of Railway Transport; Yekaterinburg, Russia. E-mail: densssovv@yandex.ru. ORCID 0000-0003-1684-0015.

Транспортные системы развиваются под влиянием множества изменяющихся внутренних и внешних факторов; это касается и функционирования отрасли пассажирских перевозок. Основная задача у государства и транспортных компаний – обеспечение комфортной доступности любой точки города, безопасность и надежность внутригородских, пригородных и внешних транспортных связей в условиях прогнозируемого роста подвижности населения и объемов пассажирских и грузовых перевозок, жестких экологических требований. Эти задачи требуют развития единой транспортной системы города, обеспечивающей взаимодействие, взаимодополняемость индивидуального и общественного транспорта, городских, пригородных и внешних транспортных систем, а также возможность альтернативного выбора потребителем видов транспортного обслуживания [1].

Транспортная доступность на основе данных о дорожной сети – одна из классических задач геоинформационных систем. Чаще всего при моделировании транспортной доступности строят изохрон-линии равных затрат времени на преодоление пространства от носительно заданных точек.

При оценке транспортной доступности важно учитывать реальную дорожную сеть. Результаты анализа с использованием расстояния по прямой линии (буферных зон) всегда оптимистичней, чем реальная ситуация.

При анализе зоны транспортной доступности всегда учитывается загруженность дорог и ситуация с пробками.

Значительная часть клиентов многих торговых объектов использует общественный транспорт для своих повседневных целей. Поэтому при изучении подобных объектов важно анализировать доступность не только на личном транспорте, но и на общественном.

Особенности структуры дорожной сети (развязки и автомобильные пробки) делают важным еще один аспект моделирования транспортной доступности – от объекта и к объекту. Как показывает

практика, зоны доступности в этих случаях могут различаться более чем в два раза. Если этого не учитывать, то под вопросом могут оказаться результаты всего исследования [2–5].

В настоящее время все прибывающие на Южный автовокзал Екатеринбурга междугородные автобусы передвигаются по загруженной улично-дорожной сети (УДС). После переноса автовокзала в район пересечения улиц Белинского и Академика Шварца автобусы с западного, южного и восточного направлений будут подъезжать к нему, минуя сильно загруженные участки УДС. Необходимо определить общую доступность автовокзалов до и после переноса на новое место (рис. 1).

Для расчетов использован набор векторных линейных геоанных Екатеринбурга: маршруты общественного транспорта городской сети и регионального назначения, трафик городской транспортной сети при полной загруженности, пространственное распределение начальных пунктов отправления до автовокзала для пассажиров, которые совершают междугородные поездки [6].

При исследовании использовался метод имитационного моделирования, где смоделировано движение пассажиров по транспортной сети общественного транспорта. На первом этапе рассмотрено движение на междугородных автобусах до Южного автовокзала. Основные дороги движения междугородных автобусов до Южного автовокзала (Новомосковский, Кольцовский, Челябинский, Березовский и Полевской тракты) определены по схеме движения автобусов по маршрутам пригородного и междугородного сообщений (рис. 2) и онлайн-сервиса Яндекс-Расписание [7].

Далее рассчитаны затраты времени (расстояния) движения на автобусе при нынешнем и новом расположении Южного автовокзала.

1) Автобусы, прибывающие по Новомосковскому тракту (пункты отправления: Красноуфимск, Ачит и т.д.).

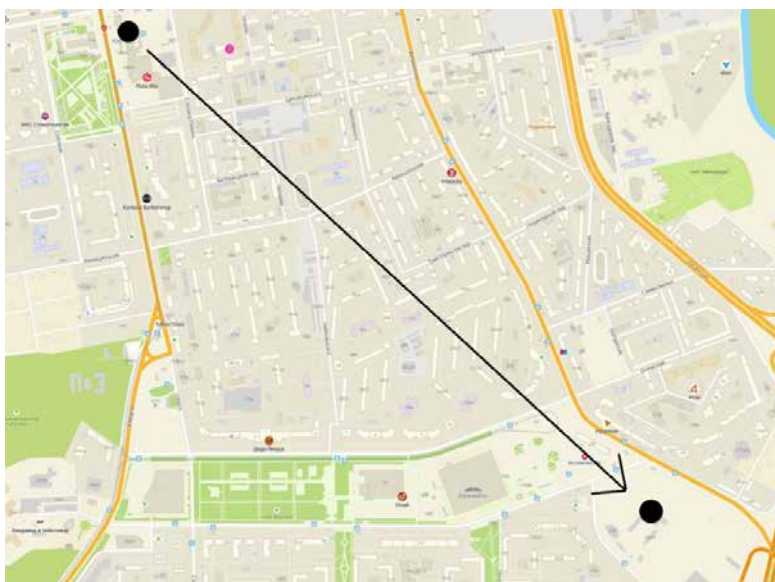


Рис. 1. Перенос Южного автовокзала

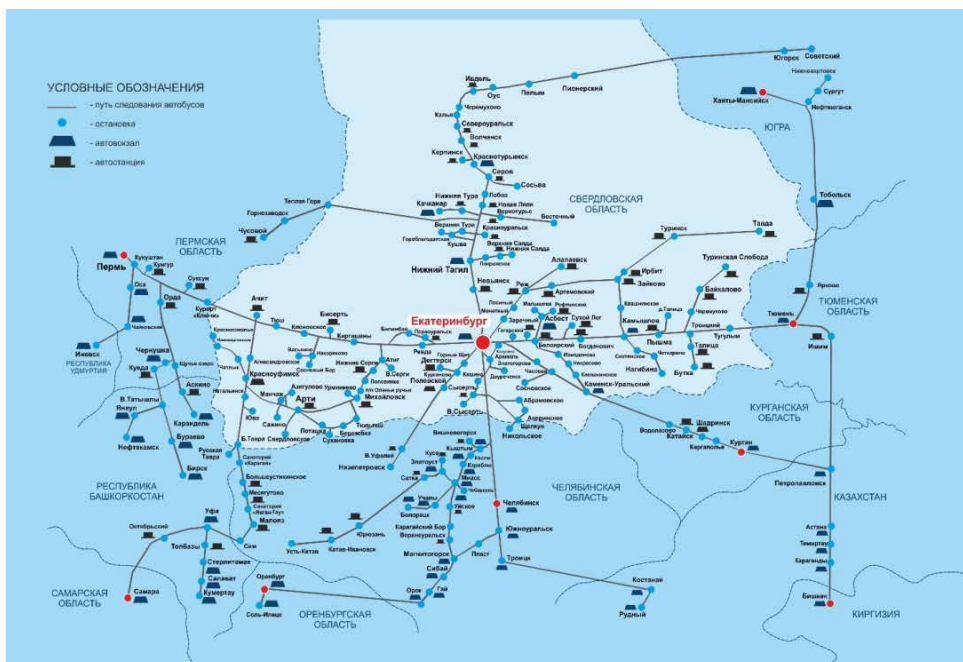
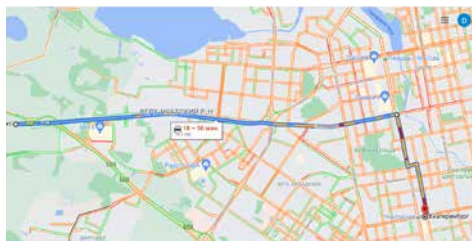


Рис. 2. Схематическое движение автобусов до Южного автовокзала

Расстояние от пересечения ул. Металлургов с Объездной дорогой до нынешнего расположения Южного автовокзала составляет 10,1 км, время движения может занимать до 50 мин.

При движении до нового расположения автовокзала расстояние составляет 13,9 км, время может занимать до 40 мин (рис. 3) [8].

а)



б)

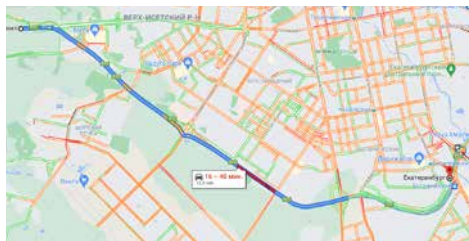


Рис. 3. Маршрут движения по Новомосковскому тракту
а – до нынешнего расположения автовокзала; б – до нового

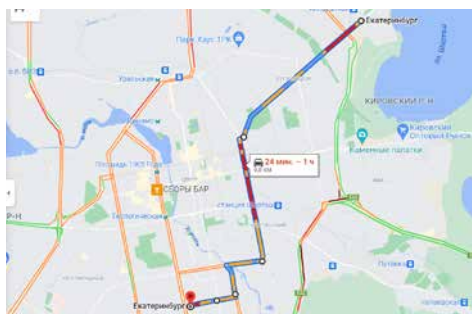
2) Автобусы, прибывающие по Березовскому тракту (отправление: Алапаевск и т.д.).

Расстояние от пересечения ул. Проезжей и Егоршинского подхода до нынешнего расположения Южного автовокзала составляет 9,8 км, время – до 1 ч. До нового расположения автовокзала расстояние составляет 9,6 км, время может занимать 35 мин (рис. 4) [8].

3) Автобусы, прибывающие по Кольцовскому тракту (пункты отправления: Белоярский, Рефтинский и т.д.).

Расстояние от развязки Кольцовский тракт – Объездная дорога до нынешнего расположения Южного автовокзала составляет 2,9 км, время – до 20 мин. При движении до нового расположения автовокзала расстояние составляет 1,3 км, время – до 6 мин (рис. 5) [8].

а)



б)

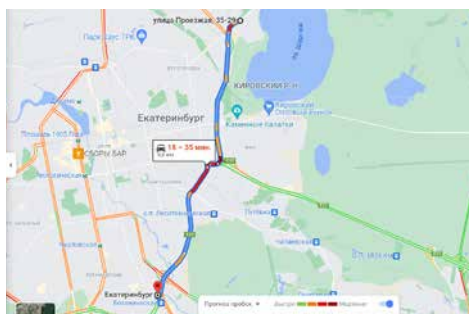
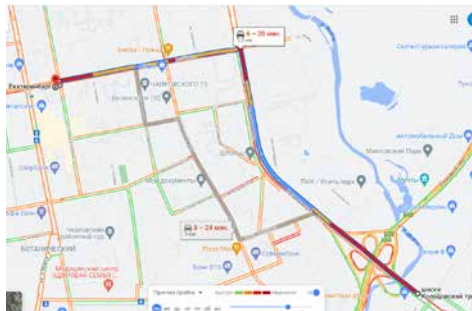


Рис. 4. Маршрут движения по Березовскому тракту
а – до нынешнего расположения автовокзала; б – до нового

а)



б)

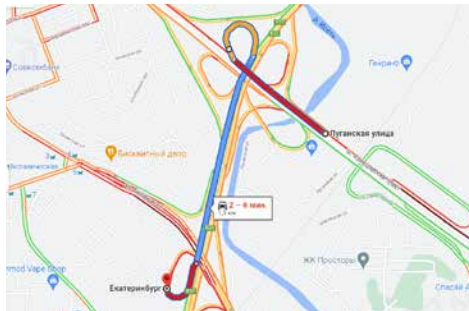


Рис. 5. Маршрут движения по Кольцовскому тракту
а – до нынешнего расположения автовокзала; б – до нового

4) Автобусы, прибывающие по Челябинскому тракту (пункты отправления: Челябинск, Златоуст и т.д.).

Расстояние от развязки ул. Щербакова и Объездной дороги до нынешнего расположения Южного автовокзала – 2,9 км, время движения – до 21 мин. При движении до нового расположения автовокзала расстояние – 2,2 км, время – до 8 мин (рис. 6) [8].

5) Автобусы, прибывающие по Полевскому тракту (пункты отправления: Полевской, Горный Щит и т.д.).

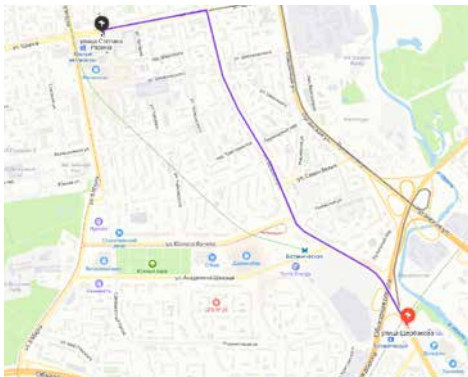
Расстояние от развязки ул. Титова и Объездной дороги до нынешнего расположения Южного автовокзала – 3 км, время – до 18 мин. При движении до нового расположения автовокзала

расстояние составляет 5,3 км, время – до 14 мин (рис. 7) [8].

Далее рассматривается передвижение пассажиров на общественном транспорте городской сети. На основании пространственных распределений выбраны 40 точек для расчета изменения транспортной доступности Южного автовокзала после его переноса на новое место (рис. 8).

Для каждой точки (рис. 8) с помощью геоинформационной системы рассчитаны кратчайшие по времени маршруты [9]. Для нового места автовокзала на пересечении улиц Белинского и Академика Шварца расчеты выполнялись на основе существующих маршрутов и расположения остановок общественного транспорта:

а)



б)

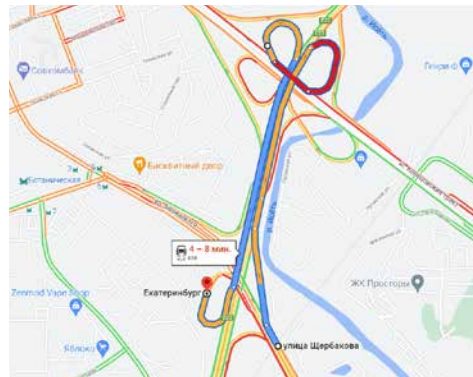
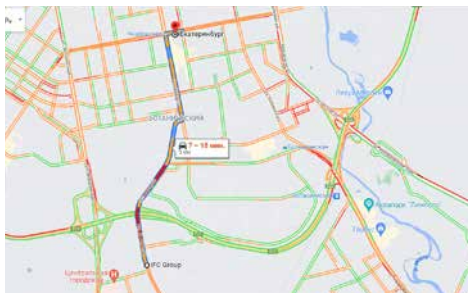


Рис. 6. Маршрут движения по Челябинскому тракту
а – до нынешнего расположения автовокзала; б – до нового

а)



б)



Рис. 7. Маршрут движения по Полевскому тракту
а – до нынешнего расположения автовокзала; б – до нового расположения

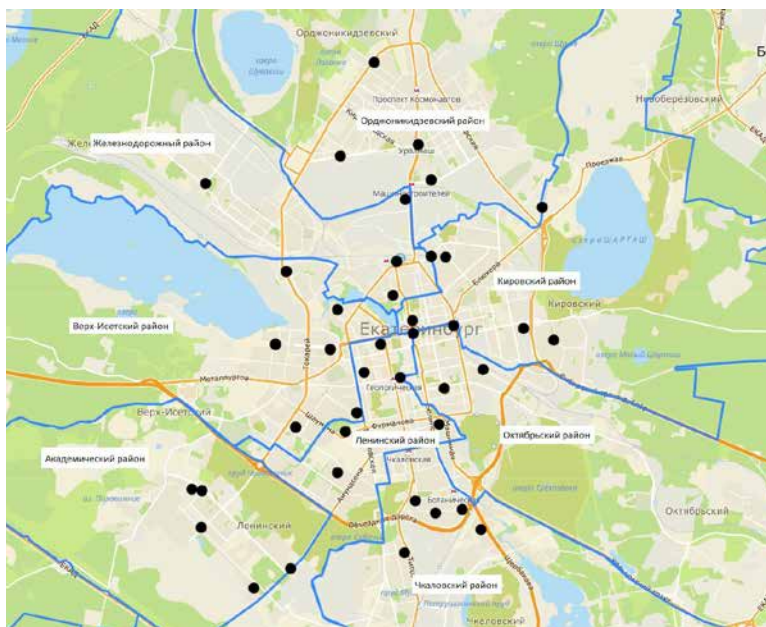


Рис. 8. Точки для расчета изменения транспортной доступности Южного автовокзала после его переноса

$$t = \frac{\sum_{i=0}^{N+1} d}{9_{\text{ср}}} \rightarrow \min, \quad (1)$$

где t – время движения до точки; $\sum_{i=1}^N d$ –

длина пути от автовокзала до точки; d – отрезок пути на определенном маршруте движения; N – количество пересадок в пути; $9_{\text{ср}}$ – средняя скорость движения на пути следования.

Каждое среднее значение по району:

$$\bar{t} = \frac{\sum_{j=1}^M t}{M}, \quad (2)$$

где M – количество исследуемых точек района (в данном исследовании – пять точек на район).

Для нового положения Южного автовокзала по всем точкам время передвижения возрастает в среднем на 7,45 мин. Значения для отдельных районов Екатеринбурга представлены в таблице.

Сравнение расстояния и затрат времени для маршрутов общественного транспорта от нынешнего и нового расположений Южного автовокзала до разных районов Екатеринбурга (средние значения для точек, представленных на рис. 8)

Итак, при переносе Южного автовокзала в район пересечения улиц Белинского и Академика Шварца время движения до автовокзала на междугородных направлениях время сокращается в среднем на 13,2 мин. Наибольший выигрыш по времени получают автобусы, прибывающие по Березовскому тракту; при движении по городу на общественном транспорте во всех районах, кроме Октябрьского и Чкаловского, перенос автовокзала в район пересечения улиц Белинского и Академика Шварца увеличит продолжительность поездки в среднем на 10 мин. В Октябрьском и Чкаловском районах время сократится в среднем на 5 мин.

Перенос вокзала даст положительную динамику на время движения пассажира, передвигающегося до

Район	Нынешнее расположение		Новое расположение	
	расстояние, км	время, мин	расстояние, км	время, мин
Чкаловский	2,9	18,3	2,0	16,9
Орджоникидзевский	9,8	34,8	11,6	41,6
Октябрьский	4,6	26,5	6,0	14,2
Ленинский	3,1	20,01	5,3	30,4
Кировский	7,6	37,0	10,0	46,6
Железнодорожный	7,6	32,3	10,7	41,7
Верх-Исетский	5,6	30,1	8,0	20,4
Академический	8,1	50,1	10,6	63,1

места назначения в Екатеринбурге по маршрутам регионального назначения, и общественному транспорту в городе.

В среднем средняя продолжительность поездки возрастет на 7,45 мин. ■

Литература

1. Особенности моделирования транспортной доступности. URL: <https://smartloc.ru/list/blog/articles/accessibility/> (дата обращения: 10.10.2021).
2. Абдиназаров К. Э., Райымбек К. Г., Жекшенбеков А. Ж., Бектуров А. К. Анализ и оценка транспортной доступности Ысык-Атинского района, Кыргызской республики средствами ГИС с открытым кодом // Наука и инновационные технологии. 2018. № 3. С. 223–227. ISSN 1694-7762.
3. Строева Г. Н., Слободчикова Д. В. Обеспечение транспортной доступности населения как важное направление социально-экономического развития региона // Ученые записки ТОГУ. 2016. Т. 7. № 4. С. 673–679. ISSN 2079-8490.
4. Verseckienė A., Meškauskas V., Batarlienė N. Urban public transport accessibility for people with movement disorders: the case study of Vilnius // Procedia Engineering. 2016. V. 134. P. 48–56.
5. Saif M. A., Zefreh M. M., Torok A. Public transport accessibility: a literature review // Periodica Polytechnica Transportation Engineering. 2018. V. 3. URL: https://www.researchgate.net/publication/323835064_Public_Transport_Acc-essibility_A_Literature_Review (дата обращения: 11.10.2021). ISSN 0303–7800.
6. Базовая оценка транспортной доступности средствами GRASS GIS и QGIS. URL: <https://gis-lab.info/qa/isochrone-map-grass-qgis.html> (дата обращения: 01.09.2021).
7. Схема маршрутов регулярных перевозок в междугородном и пригородном сообщениях от автовокзала г. Екатеринбург. URL: <https://autovokzal.org/spravochnaya-informatsiya-av/skhema-marshrutov/ekaterinburg> (дата обращения: 01.09.2021).
8. Открытый сервис Яндекс-расписание: расписание автобусов в России. URL: <https://rasp.yandex.ru/bus> (дата обращения: 01.09.2021).
9. Сайфутдинов Д.Ж. Геолокационная система наблюдения и анализа передвижения транспортных средств в реальном времени // Программная инженерия. 2017. Т. 8. № 11. С. 524–528. ISSN 2220-3397.

List of references

1. Features of modeling transport accessibility. [Osobennosti modelirovaniya transportnoj dostupnosti] URL: <https://smartloc.ru/list/blog/articles/accessibility/> (accessed on: 10.10.2021).
2. Abdinazarov K. E., Rayymbek K. G., Zhekshenbekov A. Zh., Bekturov A. K. Analysis and assessment of transport accessibility of the Ysyk-Ata district, the Kyrgyz Republic by means of GIS with open source // Science and innovative technologies. [Analiz i otsenka transportnoj dostupnosti Ysyk-Atinskogo rajona, Kyrgyzskoj respubliky sredstvami GIS s otkryтым kodom // Nauka i innovatsionnye tekhnologii] 2018. № 3. Pp. 223–227. ISSN 1694-7762.

3. Stroyeva G. N., Slobodchikova D. V. Ensuring transport accessibility of the population as an important direction of socio-economic development of the region // Scientific notes of TOGU. [Obespechenie transportnoj dostupnosti naseleniya kak vazhnoe napravlenie sotsial'no-ehkonomicheskogo razvitiya regiona // Uchenye zametki TOGU] 2016. Vol. 7. № 4. Pp. 673–679. ISSN 2079-8490.\
4. Verseckienė A., Meškauskas V., Batarlienė N. Urban public transport accessibility for people with movement disorders: the case study of Vilnius // Procedia Engineering. 2016. V. 134. P. 48–56.
5. Saif M. A., Zefreh M. M., Torok A. Public transport accessibility: a literature review // Periodica Polytechnica Transportation Engineering. 2018. V. 3. URL: https://www.researchgate.net/publication/323835064_Public_Transport_Acc-essibility_A_Literature_Review (accessed on: 11.10.2021). ISSN 0303-7800.
6. Basic assessment of transport accessibility by means of GRASS GIS and QGIS. [Bazovaya otsenka transportnoj dostupnosti sredstvami GRASS GIS i QGIS] URL: <https://gis-lab.info/qa/isochrone-map-grass-qgis.html> (accessed on: 01.09.2021).
7. The scheme of regular transportation routes in intercity and suburban communications from the Yekaterinburg bus station. [Skhema marshrutov regul'yarnykh perevozok v mezhdugorodnom i prigorodnom soobshheniyakh ot avtovokzala g. Ekaterinburg] URL: <https://autovokzal.org/spravochnaya-informatsiya-av/skhemamarshrutov/ekaterinburg> (accessed on: 01.09.2021).
8. Open Yandex timetable service: bus schedules in Russia. [Otkrytyj servis Yandeks raspisanie: raspisanie avtobusov v Rossii] URL: <https://rasp.yandex.ru/bus> (accessed on: 01.09.2021).
9. Sayfutdinov D. J. Geolocation system for monitoring and analyzing the movement of vehicles in real time // Software Engineering. [Geolokatsionnaya sistema nablyudeniya i analiza peredvizheniya transportnykh sredstv v real'nom vremeni // Programmaya inzheneriya] 2017. Vol. 8. № 11. Pp. 524–528. ISSN 2220-3397.

Статья сдана в редакцию 2 октября 2021 года

Чан Хао

Моделирование продолжительности грузовых операций на станциях маршрута движения сборного маршрутного контейнерного поезда

UDC 656.073

Chan Hao

Simulation of the duration of cargo operations at the stations on the route of Groupaged block container train

Аннотация

Статья посвящена моделированию продолжительности грузовых операций на промежуточных станциях маршрута сборного маршрутного контейнерного поезда (СМКП), то есть поезда с установленным расписанием, следующим от начальной до конечной станции без переформирования состава, но с выполнением грузовых операций по погрузке/выгрузке контейнеров на промежуточных остановках маршрута.

Грузовые операции на промежуточных станциях движения СМКП сопряжены с непроизводительным пробегом погрузчика вдоль поезда от одного контейнера, подлежащего перегрузке, к другому. В случае произвольного размещения контейнеров в поезде время выполнения комплекса грузовых операций будет являться случайной величиной.

Моделирование этой случайной величины осуществляется на основе метода Монте-Карло с целью определения наиболее вероятного времени остановки поезда для выполнения грузовых операций, а также возможных отклонений от среднего значения. При этом продолжительность комплекса грузовых операций на станции предлагается оценивать в зависимости от объемов погрузки/выгрузки контейнеров в каждом пункте и расстояния пробега погрузчика вдоль поезда, которое задано в модели случайной равномерно распределенной величиной.

На основе численных экспериментов с моделью установлены регрессионная зависимость времени выполнения грузовых операций от объема погрузки контейнеров, а также значения вариации этой величины в связи со случайным характером размещения контейнеров в поезде.

Модель позволяет формировать обоснованное расписание движения СМКП и повысить надежность времени отправки поезда.

Ключевые слова: контейнерные перевозки, контейнерный поезд, метод Монте-Карло, моделирование времени, имитационное моделирование.

DOI: 10.20291/2079-0392-2021-4-111-117

Abstract

The article is devoted to modelling the duration of cargo operations at intermediate stations on the route of a modular express freight container train (MEFCT), that is, a train with a fixed schedule heading from the initial to the final station without remarshalling a rolling-stock, but performing the cargo handling operations for loading/unloading of containers at intermediate stops on the route.

Cargo handling operations at intermediate stations of a MEFCT entail a non-productive run of a loader along the train from one container to be reloaded to the other. In the case of a random placement of containers on a train, the completion time of the complex of cargo handling operations will be a random variable.

Modelling of this random variable is carried out on the basis of the Monte-Carlo method in order to determine the most probable time of stopping of a train to perform cargo handling operations, as well as possible deviations from the average value. At the same time, duration of the complex of cargo handling operations at the station is proposed to be estimated depending on the volume of loading/unloading operations of containers at each point and the distance travelled by a loader along a train, which is given in the model by a random evenly distributed value.

Based on numerical experiments with the model, the regression dependence of the time of cargo handling operations on the volume of container loading was established, as well as variations of this value due to the random nature of the placement of containers on a train.

The model allows you to form a reasonable timetable for a MEFCT and increase the reliability of departure time of a train.

Keywords: container transportation, container train, the Monte-Carlo method, time modelling, simulation modelling.

DOI: 10.20291/2079-0392-2021-4-111-117

Статья рекомендована к опубликованию Д. И. Кочневой, канд. техн. наук, доцентом Уральского государственного университета путей сообщения. E-mail: dana_rich@mail.ru.

Чан Хао, аспирант; кафедра «Мировая экономика и логистика» Уральского государственного университета путей сообщения; Екатеринбург, Россия. E-mail: changhao001@mail.ru. ORCID 0000-0002-7257-4447.

The article is recommended for publishing by D. I. Kochneva, Candidate of Technical Sciences, Associate Professor of Ural State University of Railway Transport. E-mail: dana_rich@mail.ru.

Chan Hao, Post-graduate student; «World Economy and Logistics» Department of Ural State University of Railway Transport; Yekaterinburg, Russia. E-mail: changhao001@mail.ru. ORCID 0000-0002-7257-4447.

Основное направление повышения конкурентоспособности железнодорожных контейнерных перевозок – организация маршрутных контейнерных поездов с установленным расписанием. Такие перевозки сокращают сроки доставки грузов за счет исключения операций переформирования и сортировки в пути следования, обеспечивают высокий уровень транспортного сервиса.

Однако объемы отправок прямыми маршрутными поездами остаются сравнительно невысокими, что обусловлено необходимостью накопления контейнеропотока на терминалах или подъездных путях предприятий-грузовладельцев для формирования полносоставного маршрута, кроме того, зачастую техническая оснащенность контейнерной инфраструктуры в регионах не позволяет работать с полносоставными контейнерными поездами, осуществлять их формирование и расформирование.

И здесь высокую практическую значимость приобретает новая технология организации контейнерных перевозок: сборный маршрутный контейнерный поезд (СМКП), который сочетает элементы сборных и прямых маршрутов и построен на принципах организации пассажирского движения.

Сборным маршрутным контейнерным поездом будем называть контейнерный поезд с установленным маршрутом движения и расписанием, который следует от начальной до конечной станции маршрута без переформирования состава, но с выполнением грузовых операций по погрузке/выгрузке контейнеров на промежуточных остановках маршрута.

Научные положения технологии СМКП и ее математическая формализация опубликованы в [1–2].

Одно из основных условий эффективного функционирования системы сборных маршрутных контейнерных поездов – соблюдение расписания движения,

поэтому все технологические операции в пути следования поезда должны быть четко регламентированы во времени и увязаны с графиком движения поездов. Технологический процесс работы терминалов по оправлению и прибытию поезда регламентируется документом [3]. Оценка норм времени и разработка графика работы на начальных и конечных пунктах движения СМКП не представляет интереса, так как здесь комплекс операций не отличается от существующей технологии формирования/расформирования поездов. Время выполнения грузовых операций на промежуточных станциях маршрута может существенно варьироваться и зависит от объемов погрузки/выгрузки контейнеров в каждом пункте (что определяется спросом региона на перевозки), порядком размещения контейнеров в СМКП, видом используемого погрузчика и его производительностью, используемой технологией грузовой работы.

В общем виде выражение для расчета продолжительности выполнения комплекса грузовых операций $T_{ГРj}$ в j -х промежуточных пунктах движения СМКП можем записать следующим образом:

$$T_{ГРj} = q_j \cdot t_r + \sum_0^{(q_j-1)} t_n \cdot r, \quad (1)$$

где q_j – число контейнеров, подлежащих погрузке/выгрузке в j -м промежуточном пункте, ДФЭ*; t_r – продолжительность цикла выполнения грузовой операции по снятию контейнера с платформы и установке на освободившееся место контейнера назначением далее по маршруту, мин; t_n – продолжительность перемещения погрузчика вдоль поезда на расстояние, равное ДФЭ; r – условное расстояние между ближайшими контейнерами в поезде, подлежащими выгрузке, ДФЭ.

Порядок размещения контейнеров в СМКП определяет траекторию

* ДФЭ – двадцатифутовый эквивалент, условная единица измерения контейнеропотока.

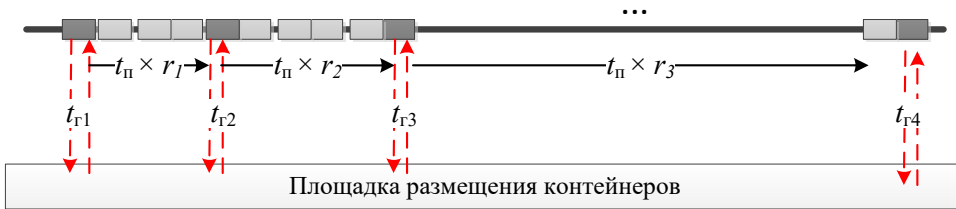


Рис. 1. Маршрут движения погрузчика (типа ричстакер) при выполнении грузовых операций в промежуточных пунктах движения СМПК

движения погрузчика и общую продолжительность операций по его перемещению от одного контейнера к другому; продолжительность цикла погрузки/выгрузки t_r одинакова при всех вариантах размещения контейнеров.

Пример маршрутов движения погрузчика при выполнении грузовых операций представлен на рис. 1.

Если размещение контейнеров в поезде произвольное, то время перемещения погрузчика будет подвержено существенным случайным отклонениям. Поэтому ожидаемую, максимальную и минимальную продолжительность комплекса грузовых работ $T_{Грj}$ на j -х промежуточных станциях маршрута необходимо оценивать на основе имитационного моделирования.

Моделированию времени выполнения логистических операций посвящены работы [4–11], где использованы различные математические методы и подходы: метод Монте-Карло [4–6], методы систем массового обслуживания [7], дискретно-событийное моделирование [8–9], метод генерации сценариев [10–11] и другие.

Для решения поставленной задачи воспользуемся методом статистических испытаний (Монте-Карло). Зададим r – условное расстояние между ближайшими контейнерами в поезде, подлежащими выгрузке (ДФЭ), как случайную величину. Примем, что при произвольном порядке размещения каждый контейнер может с равной степенью вероятности занять любое грузовое место в поезде. Тогда r следует задать случайной величиной, распределенной в соответствии с равномерным

законом распределения, его плотность распределения вероятности:

$$f(x) = \begin{cases} 0, & x \notin [a, b] \\ \frac{1}{b-a}, & x \in [a, b] \end{cases}, \quad (2)$$

где $[a, b]$ – интервал моделирования равномерно распределенных случайных чисел.

В нашем случае:

$a = 0$ (при соседнем размещении пары контейнеров в СМПК),

$$b = N - 2,$$

где N – число контейнеров (в ДФЭ) в полносоставном контейнерном поезде, примем $N = 126$ ДФЭ, что соответствует длине поезда 71 условный вагон, тогда $b = 124$.

Смоделируем случайную равномерную величину с помощью метода Монте-Карло. Суть метода: процесс описывается математической моделью с использованием генератора случайных величин, модель многократно обсчитывается, на основе полученных данных вычисляются вероятностные характеристики рассматриваемого процесса.

Смоделируем случайное число r с использованием генератора моделирования случайных чисел программного продукта «Статистика 2.0».

Опираясь на результаты моделирования r , вычислим $T_{Грj}$ как случайную величину при следующих данных (на основе среднестатистических показателей терминальных операторов): $t_r = 5,5$ мин; $t_{п} = 0,025$ мин.

Тогда:

$$T_{Грj} = q_j \cdot 5,5 + \sum_0^{(q_j-1)} 0,025 \cdot r.$$

По результатам ста экспериментов рассчитаем математическое ожидание (μ) и среднеквадратическое отклонение (σ) по формулам:

$$\mu = \frac{\sum_{i=1}^M r_i}{M}, \quad (3)$$

$$\sigma = \sqrt{\frac{\sum_{i=1}^M (r_i - \bar{r})^2}{M}}, \quad (4)$$

где i – номер эксперимента; M – количество экспериментов.

Фрагмент расчетной таблицы экспериментов представлен в таблице.

График зависимости продолжительности $T_{Грj}$ от числа контейнеров, подлежащих погрузке/выгрузке на промежуточной j -й станции движения СМКП q_j представлен на рис. 2.

На основе моделирования установлено, что продолжительность выполнения операций по погрузке/выгрузке контейнеров T_r на промежуточных

терминалах маршрута СМКП с вероятностью 99 % не превысит $\mu + 3\sigma$ мин и не будет меньше, чем $\mu - 3\sigma$ мин (см. таблицу).

Так, например, если на промежуточной станции требуется выгрузить и загрузить 30 контейнеров, то время выполнения этих операций не превысит $204,56 + 4,89 \cdot 3 = 219,23$ мин (3,65 ч) и не будет меньше 189,16 мин (3,16 ч).

При этом установлена линейная зависимость T_r от числа контейнеров, подлежащих погрузке/выгрузке. Методом наименьших квадратов получено уравнение регрессии данной зависимости: $T_r = 7,0185q - 2,3527$. Данная линейная модель может быть использована для оценки предельного времени, необходимого для погрузки/выгрузки поезда на промежуточных станциях маршрута.

Результаты моделирования также позволяют сделать существенный вывод: до 23 % времени на погрузку/выгрузку контейнеров приходится на непроизводительный пробег погрузчика вдоль поезда от одного контейнероместа, подлежащего смене, к другому. Учитывая случайность этой величины, размах вариации времени может составлять до 27 мин. Такая вариация

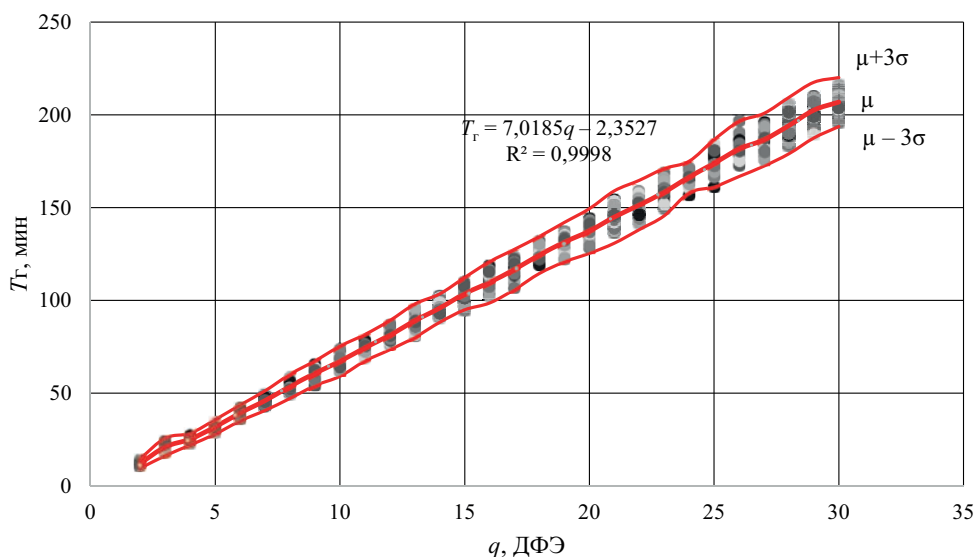


Рис. 2. Зависимость продолжительности грузовых операций $T_{Грj}$ от числа контейнеров, подлежащих погрузке/выгрузке на j -й станции движения СМКП, q_j

Эксперименты по вычислению продолжительности выполнения комплекса грузовых операций $T_{гр}$ как случайной величины на основе метода Монте-Карло (фрагмент)

Выгружа- емые кон- тейнеры в СМКП, ДФЭ, кол-во	Время выпол- нения операции по снятию и по- грузке контей- нера (t_p), мин	Продолжительность выполнения комплекса грузовых операций (t_{+}, t_{-}), мин										Доля време- ни грузовых операций в общем вре- мени, %		
		Номер эксперимента								Матема- тическое ожидание, мин	Среднеква- дратиче- ское откло- нение, мин		Размах вари- ации, мин	
		1	2	3	4	5	6	7	...					100
2	11	12,0	13,8	12,0	11,5	12,8	11,8	11,4		13,6	12,59	0,90	2,88	87
3	16,5	22,5	20,2	21,3	20,4	19,2	20,2	22,1		22,5	21,38	1,13	5,50	77
4	22	24,1	24,5	22,3	26,6	26,3	25,4	24,4		26,3	25,08	1,29	5,50	88
5	27,5	28,4	31,6	31,3	31,3	35,2	29,6	35,6		31,6	32,41	1,58	7,33	86
6	33	39,9	41,5	37,1	36,0	37,9	38,2	37,2		42,1	39,26	2,00	8,63	85
7	38,5	46,5	46,1	44,4	46,3	48,3	43,8	47,2		43,1	45,65	1,94	8,80	83
8	44	51,5	52,8	55,0	55,1	52,1	52,5	54,1		54,9	53,28	2,15	10,98	82
9	49,5	58,3	61,8	64,4	63,8	63,0	59,2	61,5		60,5	60,14	2,42	11,85	81
10	55	73,0	64,9	70,5	68,4	68,0	66,6	67,3		68,1	67,11	2,65	10,60	82
11	60,5	76,4	69,5	71,5	70,5	79,2	73,7	74,1		75,9	74,79	2,96	11,70	80
12	66	81,5	79,0	79,1	81,8	83,7	85,6	82,5		80,4	81,14	2,68	11,83	81
13	71,5	88,2	86,4	90,5	95,4	90,4	90,4	87,4		88,2	88,46	2,75	13,28	81
14	77	94,0	100,0	95,5	97,5	98,4	93,1	96,7		99,4	95,44	3,52	17,10	81
15	82,5	103,3	100,9	96,2	103,4	100,1	101,6	101,9		100,9	103,00	3,72	13,63	80
16	88	109,1	109,7	108,6	107,0	110,1	112,7	114,7		111,9	109,18	3,65	13,90	80
17	93,5	123,1	120,8	116,8	117,8	115,2	115,6	116,9		117,2	117,04	3,42	15,87	80
18	99	125,2	123,3	125,6	129,0	123,1	127,6	119,2		119,1	124,50	3,71	14,43	81
19	104,5	137,0	137,1	127,2	133,2	132,5	134,4	133,7		135,9	130,66	4,38	17,00	80
20	110	132,5	140,4	139,4	133,6	140,3	138,9	137,8		130,5	137,44	3,78	19,80	80

затрудняет четкое планирование операций и создает риски для надежной отправки состава по расписанию.

В связи с этим возникает необходимость разработки методики обоснованной расстановки контейнеров в СМКП для минимизации времени непроизводительного пробега погрузчика и снижения неопределенности. Разработке методики оптимального размещения контейнеров в СМКП посвящена работа [12].

Таким образом, разработана модель продолжительности выполнения

комплекса грузовых операций на промежуточных станциях маршрута движения СМКП, которая позволяет с заданной вероятностью определять предельное время остановки поезда для выполнения перегрузки контейнеров. На основе модели можно формировать обоснованное расписание движения сборного маршрутного контейнерного поезда и повысить надежность времени доставки контейнеров в поезде. ■

Литература

1. Кочнева Д. И., Чан Хао. Модель планирования маршрутных контейнерных поездов с грузовыми операциями в пути следования // Вестник УрГУПС. 2020. № 4. С. 46–55. ISSN 2079-0392.
2. Кочнева Д. И., Чан Хао. Модель поиска оптимальных маршрутов сборного маршрутного контейнерного поезда // Инновационный транспорт. 2021. № 3. С. 15–21. ISSN 2311-164X.
3. Единый сетевой технологический процесс железнодорожных грузовых перевозок, 2012. URL: [https:// docplayer.com/35225030-Edinyy-setevoy-tehnologicheskiiy-process-zheleznodorozhnyh-gruzovyh-perevozok.html](https://docplayer.com/35225030-Edinyy-setevoy-tehnologicheskiiy-process-zheleznodorozhnyh-gruzovyh-perevozok.html) / (дата обращения: 10.08.2021).
4. Крысанов И. С. Имитационное моделирование на примере метода Монте-Карло-симуляции // Фармакоэкономика. Современная фармакоэкономика и фармакоэпидемиология. 2008. № 2. ISSN 2070-4909.
5. Изотов О. А., Гультияев А. В. Оценка требуемых технологических ресурсов путем статистического моделирования // Вестник государственного университета морского и речного флота им. адмирала С.О. Макарова. 2018. Т. 10. №. 3 ISSN 2309-5180.
6. Югова Д. И. Моделирование продолжительности логистических цепей при организации контейнерных перевозок // Вестник УрГУПС. 2010. – № 4. С. 72. ISSN 2079-0392.
7. Эглит Я. Я., Цивелева М. А. Моделирование процессов совершения таможенных операций и проведения таможенного контроля на транспорте как системы массового обслуживания // Вестник государственного университета морского и речного флота им. адмирала С.О. Макарова. – 2017. № 2 (42). ISSN 2309-5180.
8. Андронов С. А. Обоснование расписаний логистических циклов средствами имитационного моделирования // Системный анализ и логистика. 2014. №. 11. С. 41–48. ISSN 2077-5687.
9. Wai P. A., Ostroukh A. V. Development of simulation model mixed system in the AnyLogic software // International Journal of Advanced Studies. 2014. Т. 4. №. 4. С. 48–53.
10. van Lon R. R. S., Branke J., Holvoet T. Optimizing agents with genetic programming: an evaluation of hyper-heuristics in dynamic real-time logistics // Genetic programming and evolvable machines. 2018. Т. 19. №1. Pp. 93–120.
11. Hartmann S. Generating scenarios for simulation and optimization of container terminal logistics // Or Spectrum. 2004. Т. 26. № 2. С. 171–192.
12. Кочнева Д. И., Сизый С. В., Чан Хао. Методика оптимального размещения контейнеров в поездах при наличии грузовых операций в пути следования // Мир транспорта. 2021. Т. 19. №1. С. 174–193. ISSN 1992-3252.

List of references

1. Kochneva D. I., Chang Hao. The planning model for express freight container trains with cargo handling operations en route // Herald of USURT. [Model' planirovaniya marshrutnykh kontejnernykh poezdov s gruzovymi operatsiyami v puti sledovaniya // Vestnik UrGUP] 2020. № 4. Pp. 46–55. ISSN 2079-0392.

2. Kochneva D. I., Chang Hao. The model of searching for optimal routes of a modular express freight container train // Innovative Transport. [Model' poiska optimal'nykh marshrutov sbornogo marshrutnogo kontejnernogo poezda // Innovatsionnyy transport] 2021. № 3. Pp. 15–21. ISSN 2311-164X.
3. The unified network technological process of railway freight transportation, [Edinyy setevoy tekhnologicheskij protsess zheleznodorozhnykh gruzovykh perevozok] 2012. URL: <https://docplayer.com/35225030-Edinyy-setevoy-tehnologicheskij-process-zheleznodorozhnyh-gruzovykh-perevozok.html> / (accessed on: 08/10/2021).
4. Krysanov I. S. The simulation modelling through the example of the Monte Carlo simulation method // Pharmacoeconomics. Modern pharmacoeconomics and pharmacoepidemiology. [Imitatsionnoe modelirovanie na primere metoda Monte-Karlo-simulyatsii // Farmakoeconomika. Sovremennaya farmakoeconomika i farmakoepidemiologiya] 2008. № 2. ISSN 2070-4909.
5. Izotov O. A., Gulyaev A. V. Estimation of required technological resources by statistical modelling // Bulletin of Admiral Makarov State University of Maritime and Inland Shipping. [Otsenka trebuemykh tekhnologicheskikh resursov putem statisticheskogo modelirovaniya // Vestnik gosudarstvennogo universiteta morskogo i rechnogo flota im. admirala S. O. Makarova] 2018. Vol. 10. № 3. ISSN 2309-5180.
6. Yugova D. I. Modelling of the duration of logistics chains in the organization of container transportation // Herald of USURT. [Modelirovanie prodolzhitel'nosti logisticheskikh tsepej pri organizatsii kontejnernykh perevozok // Vestnik UrGUPS] 2010. – № 4. P. 72. ISSN 2079-0392.
7. Eglit Ya. Ya., Tsiveleva M. A. Modelling of the processes of performing customs operations and customs control on transport as a queuing system // Bulletin of Admiral Makarov State University of Maritime and Inland Shipping. [Modelirovanie protsessov soversheniya tamozhennykh operatsij i provedeniya tamozhennogo kontrolya na transporte kak sistemy massovogo obsluzhivaniya // Vestnik gosudarstvennogo universiteta morskogo i rechnogo flota im. admirala SO Makarova] – 2017. № 2 (42). ISSN 2309-5180.
8. Validation of logistics cycle schedules by means of simulation modelling // System analysis and logistics. [Obosnovanie raspisanij logisticheskikh tsiklov sredstvami imitatsionnogo modelirovaniya // Sistemnyy analiz i logistika] 2014. № 11. Pp. 41–48. ISSN 2077-5687.
9. Wai P. A., Ostroukh A. V. Development of simulation model mixed system in the AnyLogic software // International Journal of Advanced Studies. 2014. T. 4. №. 4. C. 48–53.
10. van Lon R. R. S., Branke J., Holvoet T. Optimizing agents with genetic programming: an evaluation of hyper-heuristics in dynamic real-time logistics // Genetic programming and evolvable machines. 2018. T. 19. № 1. Pp. 93–120.
11. Hartmann S. Generating scenarios for simulation and optimization of container terminal logistics // Or Spectrum. 2004. T. 26. № 2. C. 171–192.
12. Kochneva D. I., Sizy S. V., Chang Hao. The method for optimal placement of containers in a train in case of cargo handling operations en route // The world of transport. [Metodika optimal'nogo razmeshheniya kontejnerov v poezdakh pri nalichii gruzovykh operatsij v puti sledovaniya // Mir transporta] 2021. Vol. 19. № 1. Pp. 174–193. ISSN 1992-3252.

Статья сдана в редакцию 29 сентября 2021 года

Уважаемые коллеги!

Информирую вас о требованиях, предъявляемых к оформлению статей.

При наборе используйте Word-2003 или Word-2007; шрифт (по всему тексту, в том числе в рисунках и таблицах) – тип Times, размер шрифта – 14, межстрочное расстояние – 1,5, абзацный отступ – 1,25 (1,27) см, поля – 2 см; расстановка переносов по всему тексту – автоматическая.

Набор формул: простые формулы и сочетания символов ($x^2 < y^2$; $E = mc^2$; $a^2 + b^2 = c^2$; Q_{i-1} ; ψ_j) – только в текстовом режиме, сложные

$$(s^2 = \frac{1}{n-1} \left[\sum_{j=1}^e x_j^2 n_j - \frac{1}{n} \left(\sum_{j=1}^e x_j n_j \right)^2 \right]; \left(\frac{\sigma_a}{[n]} \right)$$

или S_i^m) – только в редакторе формул

Equation или в MathType.

Написание букв: русские (а, б, в, А, Б, В), греческие (Θ, Σ, Ω, Ψ, α, β, δ, ε, λ, π), а также цифры и аббревиатуры (1, 2, 3; I, II, III; max, lg, sin и т. п.) пишутся только прямо; латинские (a, b, n, A, B, N и т. д.) – только курсивом. Исключение – курсив во вспомогательном тексте (слова «Таблица» и «Рис.», примечания в рисунках и ссылки в тексте на эти примечания).

Оформление текста: левый верхний край – инициалы, фамилия; заголовков – все буквы ПРОПИСНЫЕ, жирные, расположение – по центру набора; таблиц и рисунков: в таблицах размер шрифта – на полтора-два размера меньше, чем в основном тексте (11,5–12), расположение текста в «шапке» таблицы – по центру, в столбцах – по ширине; межстрочное расстояние – 1; слово «Таблица» – курсивное начертание, в правый край таблицы; название таблицы – начертание нормальное (прямое), расположение – по центру таблицы. В рисунках (графиках, диаграммах): размер подрисуночной

подписи – 14, расположение – по центру набора, слово «Рис.» – курсив, название рисунка – нормальное начертание, описание рисунка (экспликация) – нормальное начертание, условные обозначения – курсивное начертание, их расшифровка – нормальное. Расположение таблиц и рисунков – строго после ссылки на них.

Кроме того, рисунки обязательно прилагаются к материалу (один рисунок – один файл; формат – *.jpg).

Ссылки на литературу в тексте пишутся в квадратных скобках ([1], [1, 2] или [3–5]); нумерация сквозная. Список литературы/источников оформляется по ГОСТ 7.0.5–2008.

В конце статьи обязательно ставится дата отсыла материала в редакцию.

Объем статьи – не более 14-ти страниц.

Название файла: Фамилия. Первое слово заголовка. Подчеркивание. Последнее слово заголовка (Сидоров. Синтез_электроприводом).

К материалу (статье) обязательно прилагаются (отдельным файлом): УДК, сведения об авторе, аннотация, ключевые слова (название файла: УДК 000. Сидоров. Синтез_электроприводом).

Материалы для очередного номера журнала «Вестник УрГУПС» принимаются до 30 числа первого месяца квартала (до 30-го января, 30-го апреля, до 30-го июля, до 30-го октября). Материалы, поступившие в редакцию после 30-го числа, будут опубликованы только в следующем номере.

Успешной работы!

*Л. Барышникова,
литературный и выпускающий
редактор журнала «Вестник УрГУПС»*

Уважаемые читатели и авторы журнала «Вестник УрГУПС»!

Если вам нравится наш журнал, вы можете оказать содействие в его развитии,

перечислив денежные средства по реквизитам:

Ассоциация выпускников УЭМИИТ-УрГУПС

ИНН-КПП 6670317893/667001001

ОГРН 1156600001470

620075, Свердловская обл., г. Екатеринбург, ул. Шевченко, д. 20, помещение 1

Р/с 40703810863010000192

в ПАО КБ «УБРИР» филиал ССБ

к/с 30101810900000000795

БИК 046577795

Назначение платежа: «Пожертвование для поддержки научных журналов УрГУПС».

Ваша финансовая поддержка позволит нам увеличить число публикаций, повысить индексы цитирования журнала и наших авторов.

Уважаемые руководители инновационных компаний и предприятий!

Предлагаем вам услуги по продвижению вашей продукции через сеть Ассоциации выпускников УЭМИИТ-УрГУПС.

Ассоциация выпускников УЭМИИТ-УрГУПС – это кооперация большого числа неравнодушных людей различных сфер деятельности, окончивших наш университет.

Кроме того, предлагаем услуги по подбору молодых специалистов, по организации поиска решений прикладных и научных задач в рамках диссертационных работ, выполняемых в УрГУПС.

Всю необходимую информацию вы можете получить по тел. (343) 221-25-60

или на сайте <http://www.usurt.ru/vypusnikam/assotsiatsiya-vypusnikov-urgups>

Извещение	Получатель: Ассоциация выпускников УЭМИИТ-УрГУПС КПП: <u>667001001</u> ИНН: <u>6670317893</u> ОКТМО: <u>65701000</u> Р/сч.: <u>40703810863010000192</u> в: ПАО КБ «УБРИР» филиал ССБ БИК: <u>046577795</u> К/сч.: <u>30101810900000000795</u> Код бюджетной классификации (КБК): _____ Платеж: <u>Пожертвование для поддержки научных журналов УрГУПС</u> Платательщик: _____ Адрес плательщика: _____ ИНН плательщика: _____ № л/сч. плательщика: _____ Сумма: _____ руб. ____ коп. Подпись: _____ Дата: «____» _____ 2022 г.
Квитанция	Получатель: Ассоциация выпускников УЭМИИТ-УрГУПС КПП: <u>667001001</u> ИНН: <u>6670317893</u> ОКТМО: <u>65701000</u> Р/сч.: <u>40703810863010000192</u> в: ПАО КБ «УБРИР» филиал ССБ БИК: <u>046577795</u> К/сч.: <u>30101810900000000795</u> Код бюджетной классификации (КБК): _____ Платеж: <u>Пожертвование для поддержки научных журналов УрГУПС</u> Платательщик: _____ Адрес плательщика: _____ ИНН плательщика: _____ № л/сч. плательщика: _____ Сумма: _____ руб. ____ коп. Подпись: _____ Дата: «____» _____ 2022 г.

ф. СП-1



АБОНЕМЕНТ

на ~~газету~~
журнал

70070

(индекс издания)

Вестник УрГУПС

(наименование издания)	Количество комплектов:	
------------------------	------------------------	--

на 2022 год по месяцам:

1	2	3	4	5	6	7	8	9	10	11	12
X	X	X	X	X	X						

Куда

(почтовый индекс)

(адрес)

Кому

(фамилия, инициалы)

ДОСТАВОЧНАЯ КАРТОЧКА

на ~~газету~~
журнал

70070

(индекс издания)

ПВ	место	литер

Вестник УрГУПС

(наименование издания)

Стои- мость	подписки	руб. ____ коп.	Количество комплектов:	
	переадресовки	руб. ____ коп.		

на 2022 год по месяцам:

1	2	3	4	5	6	7	8	9	10	11	12
X	X	X	X	X	X						

Куда

(почтовый индекс)

(адрес)

Кому

(фамилия, инициалы)